

TRAITÉ DE PALÉONTOLOGIE

OU
HISTOIRE NATURELLE DES ANIMAUX FOSSILES

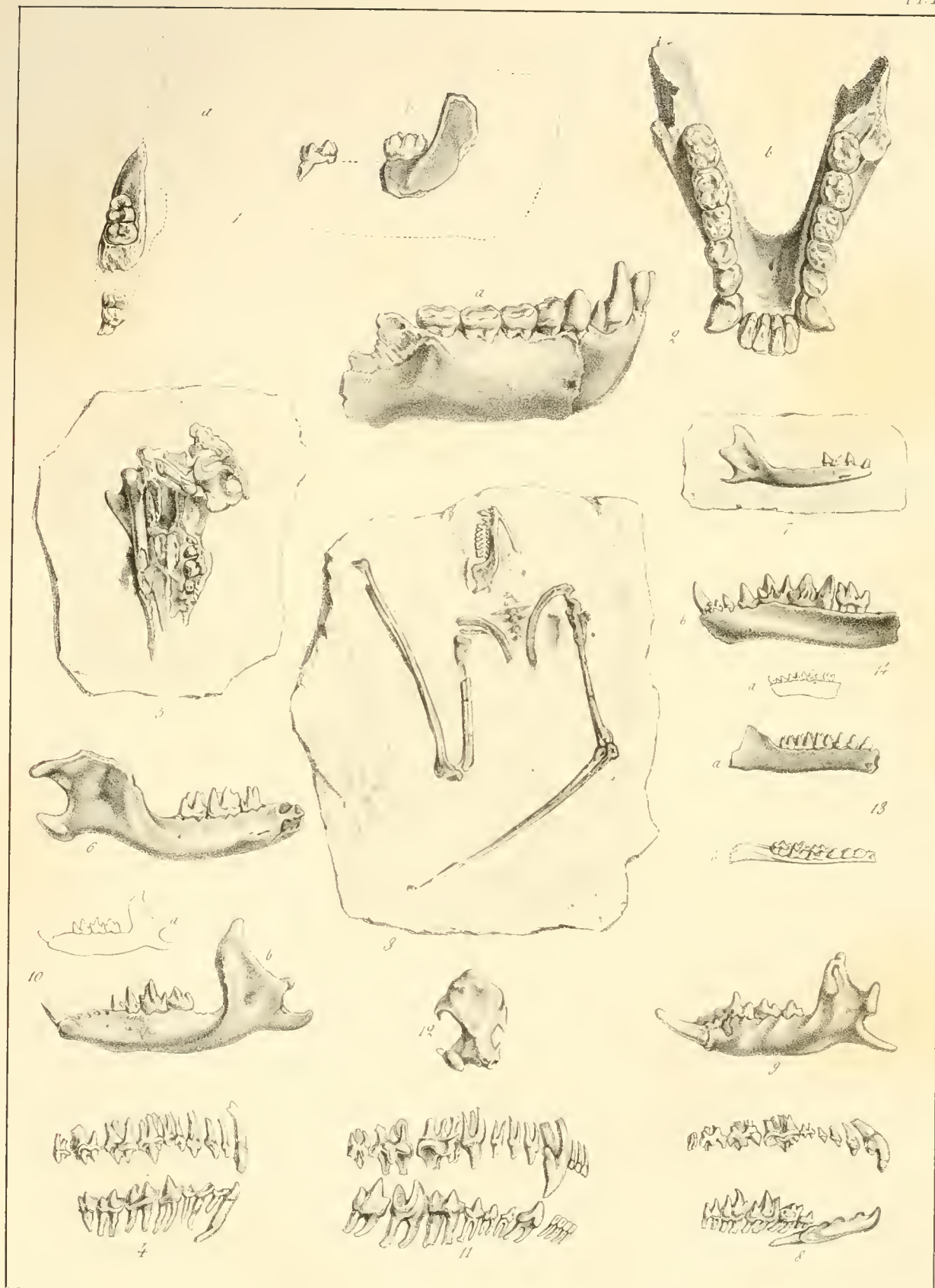
CONSIDÉRÉS DANS LEURS RAPPORTS
ZOOLOGIQUES ET GÉOLOGIQUES

PAR
F.-J. PICTET,
Professeur de zoologie et d'anatomie comparée à l'Académie de Genève.

ATLAS DE 110 PLANCHES.

PARIS
J.-B. BAILLIÈRE ET FILS
LIBRAIRES DE L'ACADÉMIE IMPÉRIALE DE MÉDECINE
Rue Hautefeuille, 19
LONDRES | **NEW-YORK**
H. BAILLIÈRE, 219, REGENT-STREET | H. BAILLIÈRE, 290, BROADWAY
MADRID, C. BAILLY-BAILLIÈRE, CALLE DEL PRINCIPE, 11

Sm
1853 — 1857



Fouquet, 1875

Muséum d'Histoire Naturelle - Série 37 Paris

Quadrumanes, Chiroptères et Insectivores

TRAITÉ DE PALÉONTOLOGIE.

EXPLICATION DES PLANCHES.

PLANCHE I.

MAMMIFÈRES. — QUADRUMANES, CHEIROPTÈRES ET INSECTIVORES.

- Fig. 1. — Fragment de la mâchoire inférieure du *Macacus eocœnus*, Owen, p. 158, de l'argile de Londres : 1 *a*, vue par sa surface triturante ; 1 *b*, vue de profil. De grandeur naturelle.
- Fig. 2. — Mâchoire inférieure du *Pliopithecus antiquus*, Gervais, p. 159, du terrain miocène de Sansan : 2 *a*, vue de profil ; 2 *b*, par sa surface de trituration. De grandeur naturelle.
- Fig. 3. — Portion de squelette du *Vespertilio parisiensis*, Cuv., p. 166, des gypses de Montmartre. De grandeur naturelle.
- Fig. 4. — Dentition de l'*Erinaceus europæus* vivant. De grandeur naturelle.
- Fig. 5. — Crâne mutilé, vu en dessous, de l'*Erinaceus orvernensis*, Pomel, p. 170, des terrains miocènes d'Auvergne. De grandeur naturelle.
- Fig. 6. — Mâchoire inférieure de l'*Erinaceus fossilis*, Schmerling, p. 171, des cavernes de Belgique.
- Fig. 7. — Mâchoire inférieure du *Galerix vicerroïdes*, Pomel, p. 171, de Sansan. De grandeur naturelle.
- Fig. 8. — Dentition de la musaraigne (*Sorex tetragonurus*) vivante, p. 173, grossie.
- Fig. 9. — Mâchoire inférieure d'une musaraigne des cavernes (Schmerling, pl. V, fig. 10), grossie.
- Fig. 10. — Mâchoire inférieure du *Plesiosorex soricinoïdes*, Pomel, p. 175, des terrains miocènes d'Auvergne. La figure au trait indique la grandeur naturelle.
- Fig. 11. — Dentition de la taupe commune (*Talpa europæa*, L.) vivante, grossie.
- Fig. 12. — Humérus de la taupe de Sansan, rapporté à l'espèce commune par M. de Blainville, et à l'*Hyporyssus telluris*, p. 179, par M. Pomel. De grandeur naturelle.
- Fig. 13. — Mâchoire inférieure du *Palæospalax magnus*, Owen, p. 178, des terrains diluviens d'Angleterre : 13 *a*, vue de profil ; 13 *b*, par la surface triturante. De grandeur naturelle.
- Fig. 14. — Mâchoire inférieure du *Geotrypus antiquus*, Pomel (*Talpa acutidentata*, Blainv.), p. 178, des terrains miocènes d'Auvergne. La figure au trait indique la grandeur naturelle.

PLANCHE II.

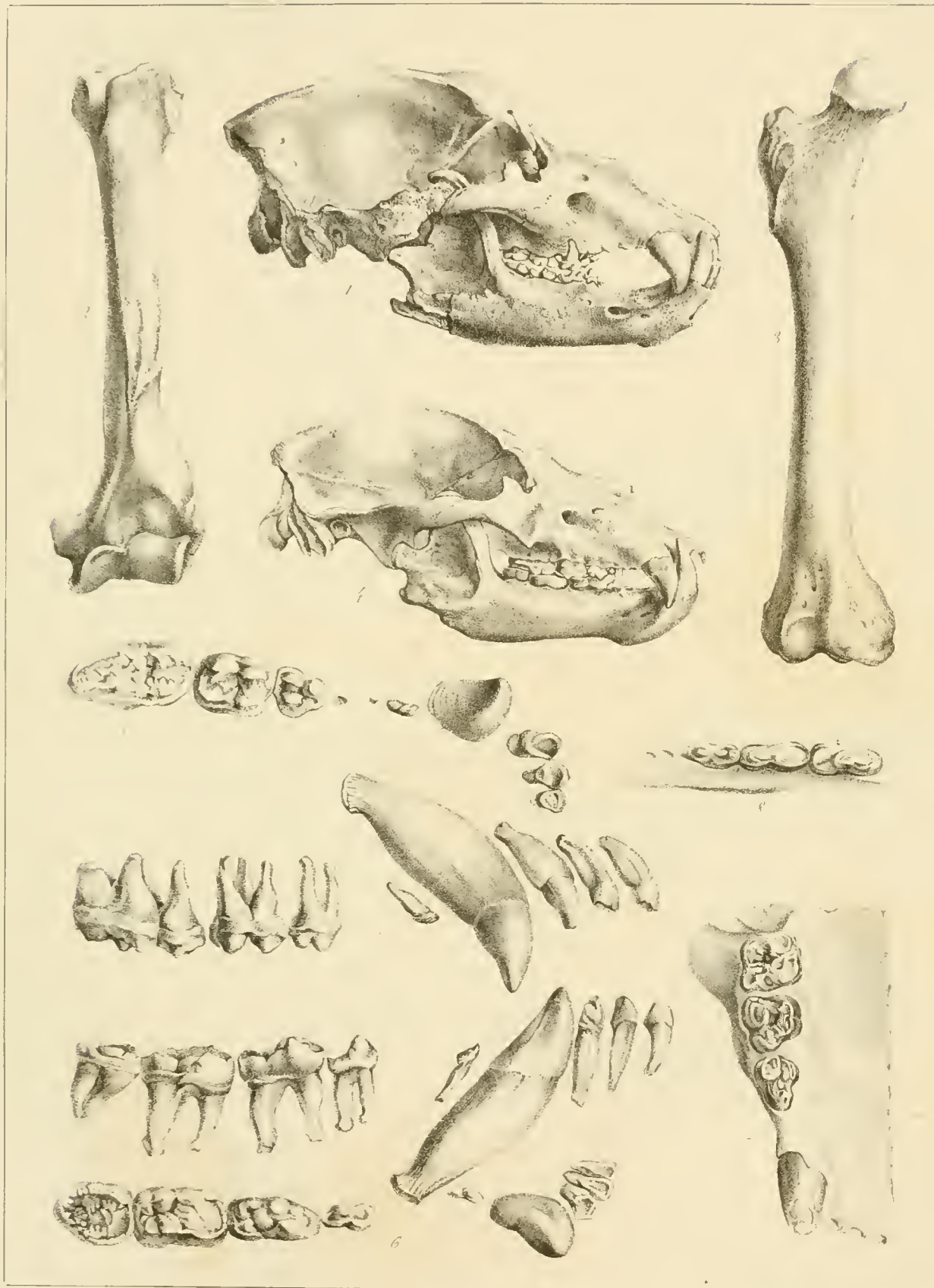
MAMMIFÈRES CARNASSIERS. — URSIDES.

- Fig. 1. — Tête de l'ours des cavernes (*Ursus spelaeus*, Blum.), p. 187. Un sixième de la grandeur naturelle.
- Fig. 2. — Humérus de la même espèce.
- Fig. 3. — Fémur de la même espèce.
- Fig. 4. — Tête de l'ours brun d'Europe (*Ursus arctos*, Lin.) trouvée fossile dans Cambridgeshire, p. 189. Un quart de la grandeur naturelle.
- Fig. 5. — Dents de la mâchoire supérieure de l'ours brun d'Europe, vues en dessus et de profil. Moitié de la grandeur naturelle.
- Fig. 6. — Dents de la mâchoire inférieure de la même espèce, vues de même et au même grossissement.
- Fig. 7. — Mâchoire supérieure de l'*Hyaenarctos sivalensis*, Owen, p. 189. Un tiers de la grandeur naturelle.
- Fig. 8. — Portion de la mâchoire inférieure de la même espèce; à la même réduction.

PLANCHE III.

MAMMIFÈRES CARNASSIERS. — URSIDES ET CANIDES.

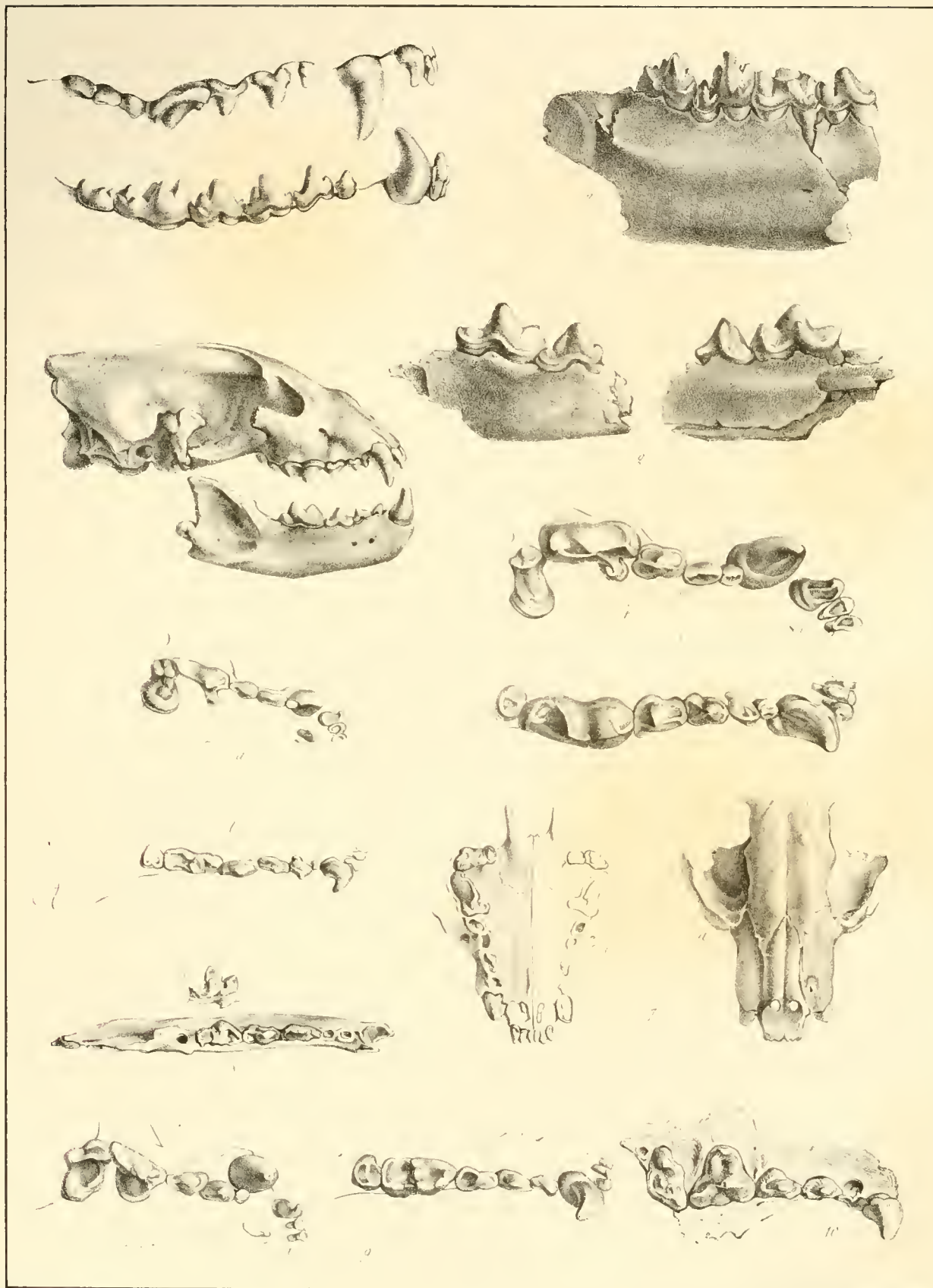
- Fig. 1. — Tête de l'*Artocyon primæus*, Bl., p. 193, du terrain suéssonien de la Fère, vue en dessus. Un tiers de la grandeur naturelle.
- Fig. 2. — Dentition de la mâchoire supérieure de la même espèce, vue par la surface de trituration. Moitié de la grandeur naturelle.
- Fig. 3. — Humérus de la même espèce. Un quart de la grandeur naturelle.
- Fig. 4. — Fragment de la tête de l'*Amphicyon major*, Lartet, de Sansan, p. 195 : *a*, vue de profil; *b*, dentition vue par la surface de trituration. Un quart de la grandeur naturelle.
- Fig. 5. — Humérus de la même espèce. Un quart de la grandeur naturelle.
- Fig. 6. — Cubitus de la même espèce. Un quart de la grandeur naturelle.
- Fig. 7. — Tibia de la même espèce. Un quart de la grandeur naturelle.
- Fig. 8. — Tête du *Hyaenodon brachyrhynchus*, Bl., p. 196, du terrain miocène inférieur du département du Tarn. Moitié de la grandeur naturelle.
- Fig. 9. — Mâchoire inférieure du *Hyaenodon leptorhynchus*, de Laiser et de Parieu, p. 200, du terrain miocène inférieur d'Auvergne. Moitié de la grandeur naturelle.
- Fig. 10. — Molaires de la mâchoire supérieure du *Hyaenodon* (*Taxotherium*) *Cuvierii*, Pom., p. 200, de Montmartre. Moitié de la grandeur naturelle.
- Fig. 11. — Cubitus rapporté à la même espèce, de Montmartre. Moitié de la grandeur naturelle.
- Fig. 12. — Dentition du chien, pris comme type de la tribu des canides : *a*, dents de la mâchoire supérieure; *b*, dents de la mâchoire inférieure.
- Fig. 13. — Mâchoire inférieure du *Cynodon lacustris*, p. 207, des lignites de la Débruge (sous-genre *Cynodictis*). De grandeur naturelle.
- Fig. 14. — La même, vue par la surface de trituration.
- Fig. 15. — Les deux molaires tuberculeuses de la mâchoire supérieure, vues par leur surface de trituration. De grandeur naturelle.
-



Ursides

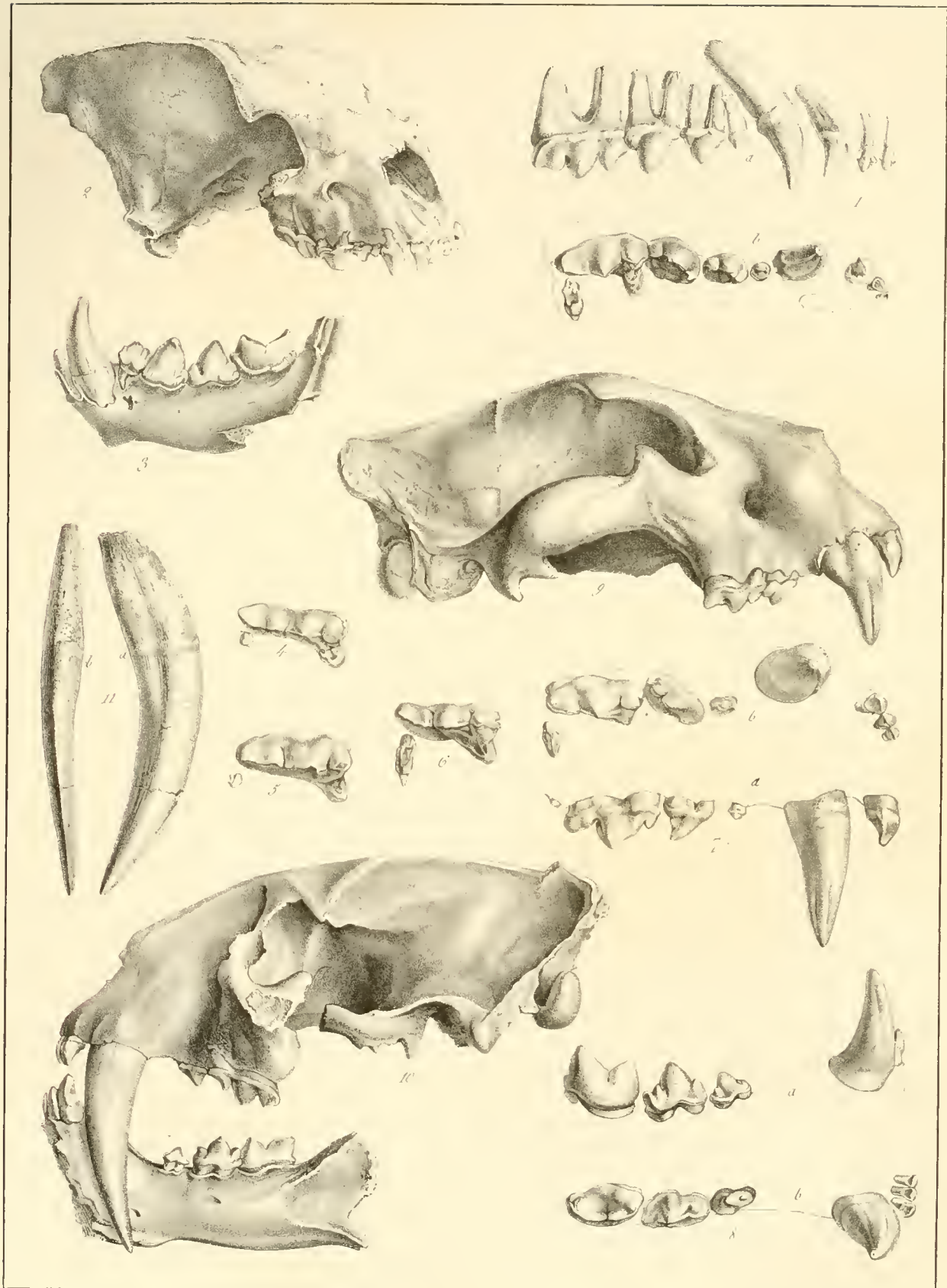


Ursides et Canides.



Reichert 1871, 1872

Viverrides et Vermiformes.



ackerbauer lith

Imp. Lemeroy, r. de Seine 57 Paris

Hyénides et Félides.

Vendu par J. B. Baillière, Libraire à Paris

PLANCHE IV.

MAMMIFÈRES CARNASSIERS. — VIVERRIDES ET VERMIFORMES.

- Fig. 1. — Dentition de la civette commune (*Viverra civetta*, Lin.), vue de profil, p. 211, représentée pour servir de type à la famille des viverrides. De grandeur naturelle.
- Fig. 2. — Fragment de la mâchoire inférieure de la *Viverra zibethoides*, p. 211. De grandeur naturelle.
- Fig. 3. — Fragment de la mâchoire inférieure de la *Palaeonictis gigantea*, p. 212. De grandeur naturelle.
- Fig. 4. — Dentition du glouton commun (*Gulo luscus*, L.), comme un des types de la famille des vermiformes : *a*, mâchoire supérieure; *b*, mâchoire inférieure. Les dents sont vues par leur surface de trituration.
- Fig. 5. — Tête du *Gulo spelæus*, p. 214, des cavernes d'Allemagne. Un tiers de la grandeur naturelle.
- Fig. 6. — Dentition de la fouine commune (*Mustela foina*, L.), comme type du genre des martes : *a*, mâchoire supérieure; *b*, mâchoire inférieure. Les dents sont vues par leur surface de trituration.
- Fig. 7. — Portion antérieure de la tête du *Plesiogale angustifrons*, Pomel, p. 217, des terrains miocènes d'Auvergne : *a*, vue en dessus; *b*, vue en dessous.
- Fig. 8. — Mâchoire inférieure du *Plesiictis Croizeti*, p. 218, des mêmes gisements; de grandeur naturelle : *a*, la carnassière vue de profil.
- Fig. 9. — Dentition de la loutre commune (*Lutra vulgaris*, L.), comme type du genre : *a*, mâchoire supérieure; *b*, mâchoire inférieure. Les dents sont vues par leur surface de trituration.
- Fig. 10. — Mâchoire supérieure du *Potamotherium* ou (*Lutricetus?*) *Valletoni*, Pomel, p. 220, des terrains tertiaires miocènes d'Auvergne. Cette figure montre en arrière de la tuberculeuse la petite alvéole qui indique l'existence d'une fort petite dent qui manque aux loutres, et qui est le caractère différentiel de ce genre perdu. Les dents sont vues par leur surface de trituration.

PLANCHE V.

MAMMIFÈRES CARNASSIERS. — HYÉNIDES ET FÉLIDES.

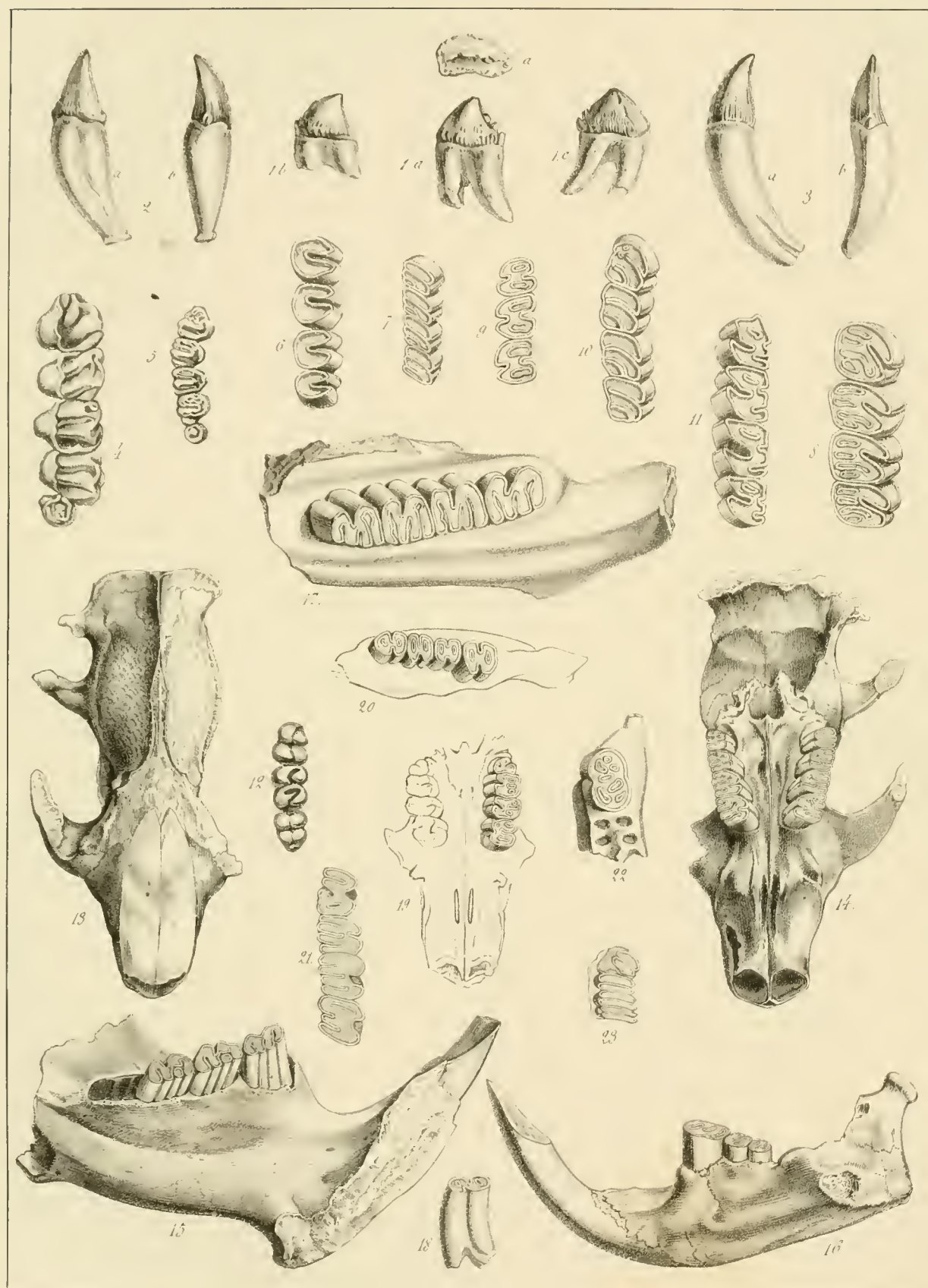
- Fig. 1. — Dentition de l'hyène commune, comme type du genre. Moitié de la grandeur naturelle.
- Fig. 2. — Tête de la *Hyæna spelæa*, Goldf., p. 223, de la caverne de Kent. Un quart de la grandeur naturelle.
- Fig. 3. — Mâchoire inférieure de la même espèce. Moitié de la grandeur naturelle.
- Fig. 4. — Carnassière et tuberculeuse supérieures de la *Hyæna erocata*, p. 224. Moitié de la grandeur naturelle.
- Fig. 5. — Les mêmes dents de la *Hyæna spelæa*, Goldf., p. 223. Même réduction.
- Fig. 6. — Les mêmes dents de la *Hyæna arvernensis*, Croiz. et Job, p. 223. Même réduction.
- Fig. 7. — Dentition du lion, mâchoire supérieure (*Felis leo*, Lin.), pris comme type du genre des chats, p. 225. Moitié de la grandeur naturelle.
- Fig. 8. — Mâchoire inférieure de la même espèce. Même réduction.
- Fig. 9. — Tête du *Felis spelæa*, Goldf., des cavernes d'Allemagne, p. 228. Moitié de la grandeur naturelle.
- Fig. 10. — Tête du *Machairodus cultridens*, p. 230, des terrains pliocènes d'Auvergne. Moitié de la grandeur naturelle.

Fig. 11. — Dent canine de la même espèce, vue par son diamètre antéro-postérieur et par son diamètre transversal. Même réduction.

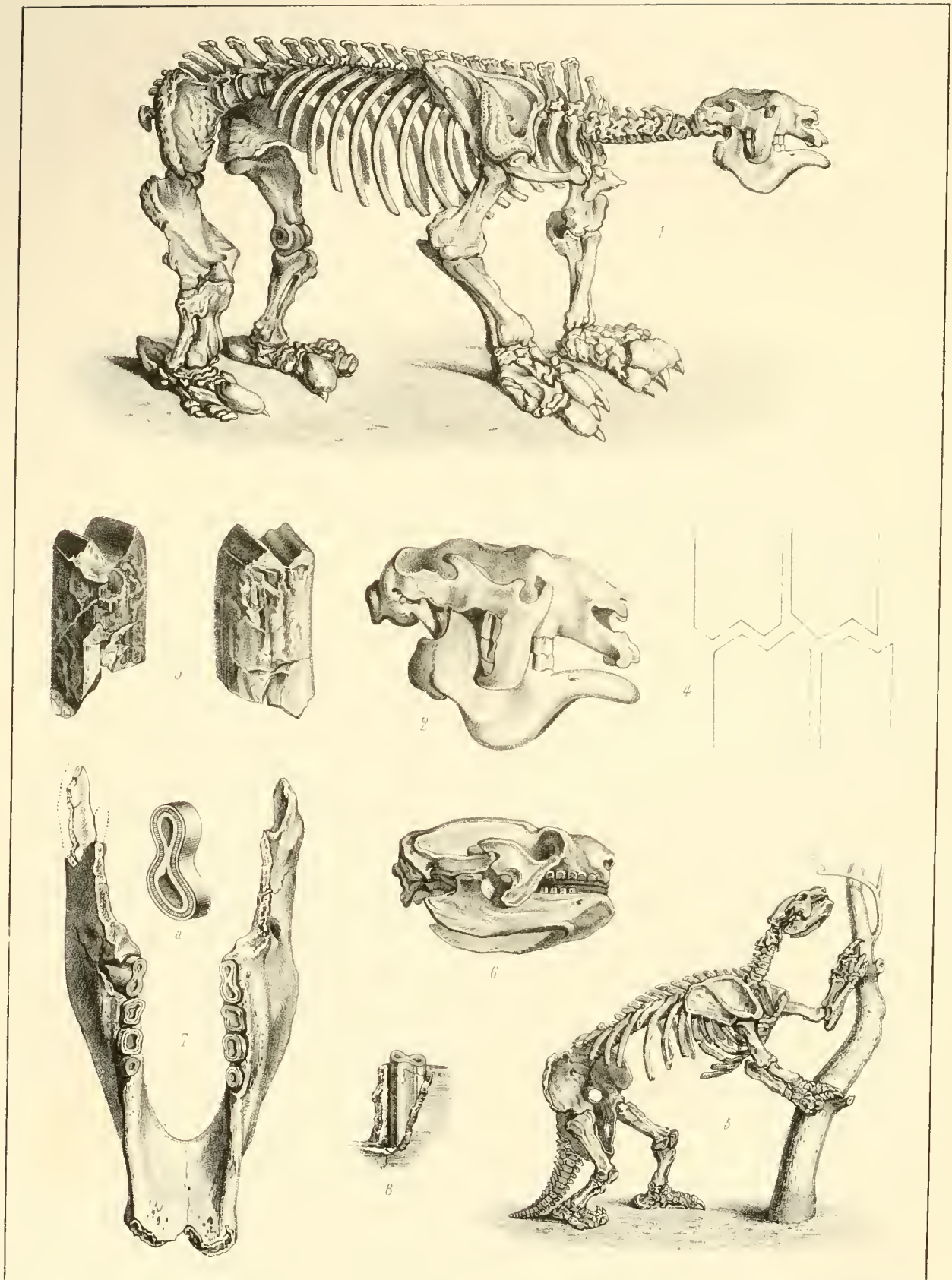
PLANCHE VI.

MAMMIFÈRES CARNASSIERS ET RONGEURS. — PROQUES ET RONGEURS.

- Fig. 1. — Dents molaires du *Phoca ambigua*, H. de Meyer, p. 233 : 1, a, et 1, b, dent vue de profil et en dessus ; 1, b, 1, c, deux autres dents ; de grandeur naturelle.
- Fig. 2 et 3. — Dents canines de la même espèce ; de grandeur naturelle.
- Fig. 4. — Dents de la mâchoire supérieure de la marmotte des Alpes, *Arctomys alpinus*, Lin, p. 237, prise comme type des rongeurs à 5 molaires.
- Fig. 5. — Dents de la mâchoire supérieure de la marmotte des terrains pliocènes d'Auvergne, *Arctomys auvernensis*, Gervais, p. 236 ; de grandeur naturelle.
- Fig. 6. — Dents de la mâchoire supérieure de l'*Issiodoromys pseudanæma*, Gervais, p. 240, du terrain miocène d'Auvergne ; grandeur triple.
- Fig. 7. — Dents de la mâchoire inférieure de l'*Archæomys chinchilloïdes*, Gervais, p. 241, du terrain miocène d'Auvergne ; grandeur double.
- Fig. 8. — Dents de la mâchoire supérieure du *Theridomys Lembronica*, Gervais, p. 243, du terrain miocène d'Auvergne ; grandeur triple.
- Fig. 9. — Dents de la mâchoire inférieure du *Theridomys aquatilis*, Gervais, p. 242, du terrain miocène inférieur des environs du Puy ; grandeur triple.
- Fig. 10. — Dents de la mâchoire supérieure du *Theridomys Blainvillei*, Gervais, du terrain miocène d'Auvergne, grandeur triple.
- Fig. 11. — Dents de la mâchoire inférieure de la même espèce, et au même grossissement.
- Fig. 12. — Dents de la mâchoire inférieure du *Mus Gergovianus*, Gervais, p. 247, du terrain, miocène d'Auvergne ; grandeur triple.
- Fig. 13. — Tête vue en dessus, du castor commun, p. 251, *Castor fiber*, Lin., trouvée fossile dans le Cambridgeshire (diluvien) ; deux tiers de la grandeur naturelle.
- Fig. 14. — La même tête vue en dessous ; même réduction.
- Fig. 15. — Mâchoire inférieure de la même espèce trouvée près de Newbury (diluvien), de grandeur naturelle.
- Fig. 16. — Mâchoire inférieure du *Castor Trogontherium*, p. 252, trouvée fossile à Bacton (diluvien) : moitié de la grandeur naturelle.
- Fig. 17. — Dents de la mâchoire supérieure du *Castor Issiodorensis*, Gervais, p. 251, du terrain pliocène d'Auvergne ; de grandeur naturelle.
- Fig. 18. — Dents du *Castor subpyrenaicus*, Gervais, p. 253, du terrain miocène ; de grandeur naturelle. (Genre *Chalicomys*, Gervais.)
- Fig. 19. — Tête du *Stencofiber Viciacensis*, Gervais, vue en dessous, p. 252 (miocène d'Auvergne) ; de grandeur naturelle.
- Fig. 20. — Mâchoire inférieure de la même espèce ; de grandeur naturelle.
- Fig. 21. — Dents de la mâchoire inférieure du *Chalicomys Jacgeri* ; p. 253 (miocène d'Allemagne).
- Fig. 22. — Dent de l'*Hystrix refossa*, Gervais, p. 255 (pliocène d'Auvergne).
- Fig. 23. — Dents du *Lepus texodus*, Gervais, p. 256 (pliocène de Montpellier).
-



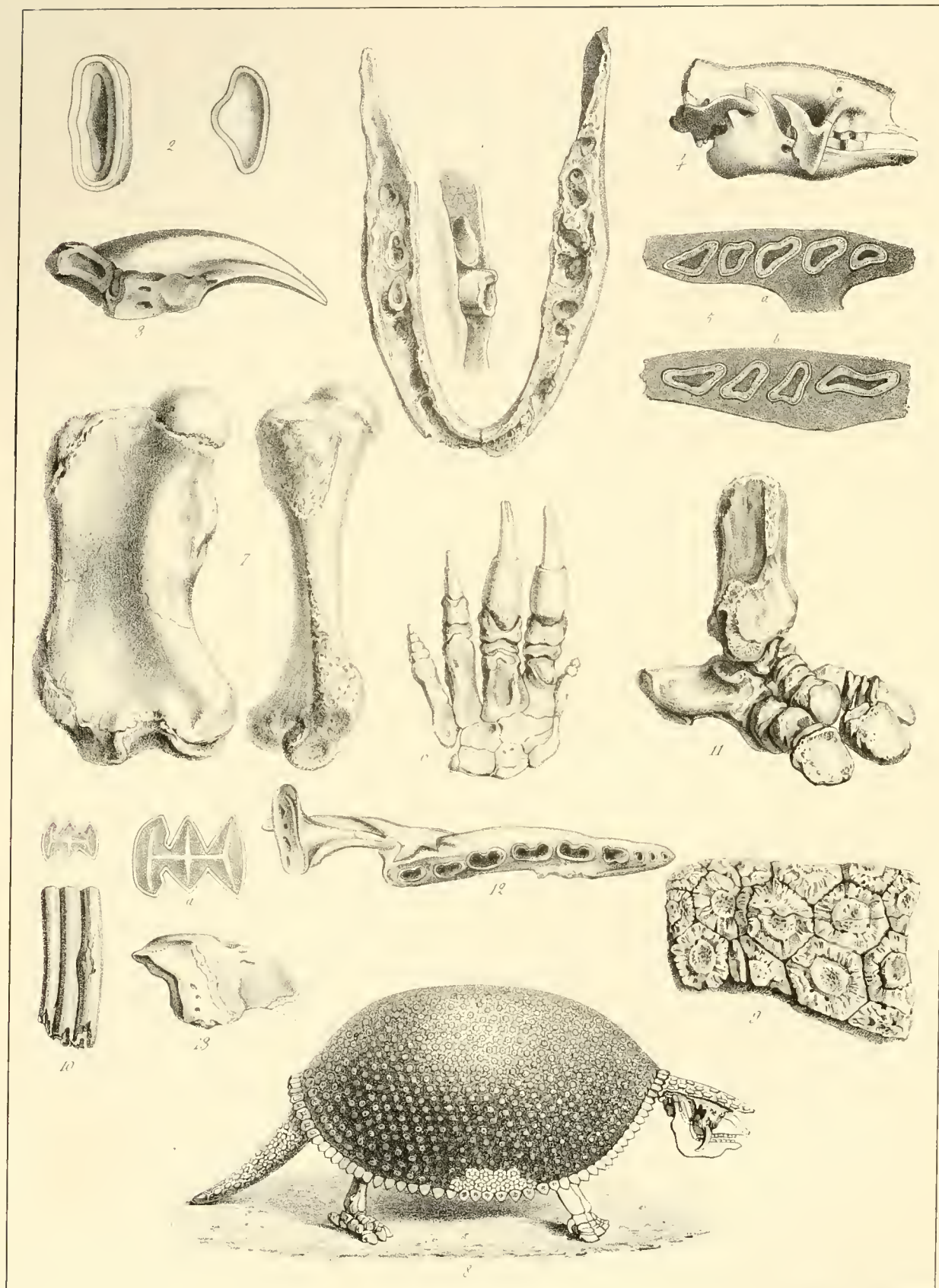
Phoques et Rongeurs.



Rocreaux lith

Imp. Lemercier r. de Seine 57 Paris

Megatherium et Mylodon.



Megalonyx, Scelidotherium, Glyptodon.

PLANCHE VII.

MAMMIFÈRES ÉDENTÉS. — MEGATHERIUM ET MYLODON.

- Fig. 1. — Squelette du *Megatherium Cuvieri*, p. 264, de l'Amérique méridionale, un trente-sixième de la grandeur naturelle.
- Fig. 2. — Tête de la même espèce réduite à un dix-huitième de la grandeur naturelle.
- Fig. 3. — Dents molaires de la même espèce.
- Fig. 4. — Coupe théorique destinée à montrer la manière dont les dents molaires se rencontrent dans la mastication.
- Fig. 5. — Squelette du *Mylodon robustus*, Owen, p. 270, de l'Amérique méridionale, réduit à un trente-sixième de la grandeur naturelle. On a adopté la même réduction que pour le *Megatherium* afin de montrer le rapport de taille de ces deux espèces.
- Fig. 6. — Tête de la même espèce; un douzième de la grandeur naturelle.
- Fig. 7. — Mâchoire inférieure du *Mylodon Darwinii*, Owen, p. 270, de l'Amérique méridionale. Un cinquième de la grandeur naturelle. 7, *a*, dernière molaire moins réduite.
- Fig. 8. — Dernière molaire de la même mâchoire, vue de profil. Un cinquième de la grandeur naturelle.
-

PLANCHE VIII.

MAMMIFÈRES ÉDENTÉS. — MEGALONYX, SCOLIDOTHERIUM ET GLYPTODON.

- Fig. 1. — Mâchoire inférieure du *Megalonyx Jeffersonii*, Cuv., p. 269, d'Amérique. Deux neuvièmes de la grandeur naturelle.
- Fig. 2. — Surface de trituration des molaires de la même espèce.
- Fig. 3. — Une des phalanges unguéales antérieures de la même espèce.
- Fig. 4. — Tête du *Scelidotherium Bronghiarti*, Lund, p. 271, de l'Amérique méridionale. Un huitième de la grandeur naturelle.
- Fig. 5. — Surface de trituration des dents du *Scelidotherium leptocephalum*, Owen, p. 271, d'Amérique méridionale. Deux cinquièmes de la grandeur naturelle. *a*, mâchoire supérieure; *b*, mâchoire inférieure.
- Fig. 6. — Pied antérieur restauré du *Scelidotherium Cuvieri*, Lund, p. 271. Un sixième de la grandeur naturelle.
- Fig. 7. — Fémur du *Scelidotherium leptocephalum*, Owen. Un sixième de la grandeur naturelle.
- Fig. 8. — Carapace et portion du squelette restauré du *Glyptodon clavipes*, Owen, p. 273, d'Amérique méridionale.
- Fig. 9. — Une portion de carapace du *Glyptodon*, vue à une réduction moindre.
- Fig. 10. — Dent du *Glyptodon clavipes*. Moitié de la grandeur naturelle. — *a*. Surface de trituration de grandeur naturelle.
- Fig. 11. — Pied postérieur du *Glyptodon clavipes*. Un sixième de la grandeur naturelle.
- Fig. 12. — Mâchoire inférieure du *Chlamydothérium Humboldtii*, Lund; p. 274, d'Amérique méridionale, montrant les alvéoles des dents; un tiers de la grandeur naturelle.
- Fig. 13. — Phalange unguéale (d'après Cuvier) du *Macrotherium* d'Eppelsheim, p. 277.
-

PLANCHE IX.

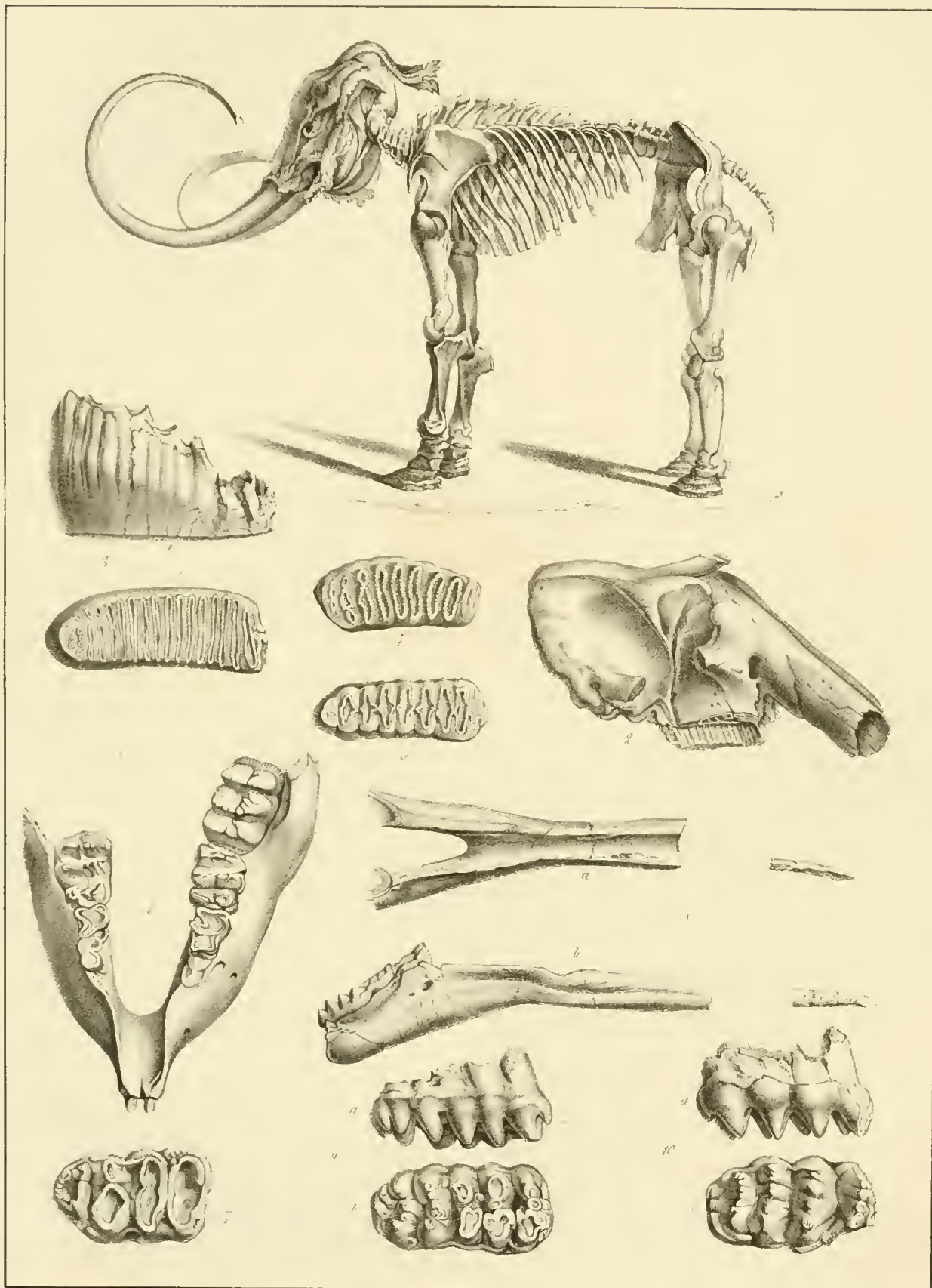
MAMMIFÈRES PROBOSCIDIENS. — ÉLÉPHANTS ET MASTODONTES.

- Fig. 4. — Copie souvent reproduite du squelette du grand mammoth (*Elephas primigenius*, Blum.), trouvé en 1799 dans les glaces de la Sibérie, p. 283.
- Fig. 2. — Tête de la même espèce, montrant la longueur des alvéoles des défenses (os incisifs) et l'aplatissement du front, caractéristiques de l'éléphant fossile.
- Fig. 3. — Sixième molaire supérieure du même éléphant : *a*, vue de profil ; *b*, vue par la surface triturante. Un sixième de la grandeur naturelle.
- Fig. 4. — Cinquième molaire inférieure de l'éléphant d'Asie. Un sixième de la grandeur naturelle.
- Fig. 5. — Sixième molaire inférieure de l'éléphant d'Afrique. Même réduction.
- Fig. 6. — Mâchoire inférieure d'un jeune mastodonte de l'Ohio (*Mastodon giganteum*, Cuv.), p. 287. On y voit encore les deux petites défenses qui tombent avec l'âge. Un sixième de la grandeur naturelle. Cette même mâchoire montre la brièveté de la symphyse dans cette espèce.
- Fig. 7. — Troisième molaire supérieure du même mastodonte adulte. Même réduction.
- Fig. 8. — Mâchoire inférieure du *Mastodon longirostris*, Kaup, p. 289, des terrains miocènes européens, montrant l'allongement extraordinaire de la symphyse qui caractérise cette espèce : *a*, vue en dessus ; *b*, vue de profil. Un douzième de la grandeur naturelle.
- Fig. 9. — Sixième molaire supérieure de la même espèce : *a*, vue de profil ; *b*, vue par la surface triturante. Un sixième de la grandeur naturelle.
- Fig. 10. — Sixième molaire supérieure du *Mastodon tapiroïdes*, p. 289, des terrains miocènes d'Europe : *a*, vue de profil ; *b*, vue par la surface triturante. Un sixième de la grandeur naturelle.
-

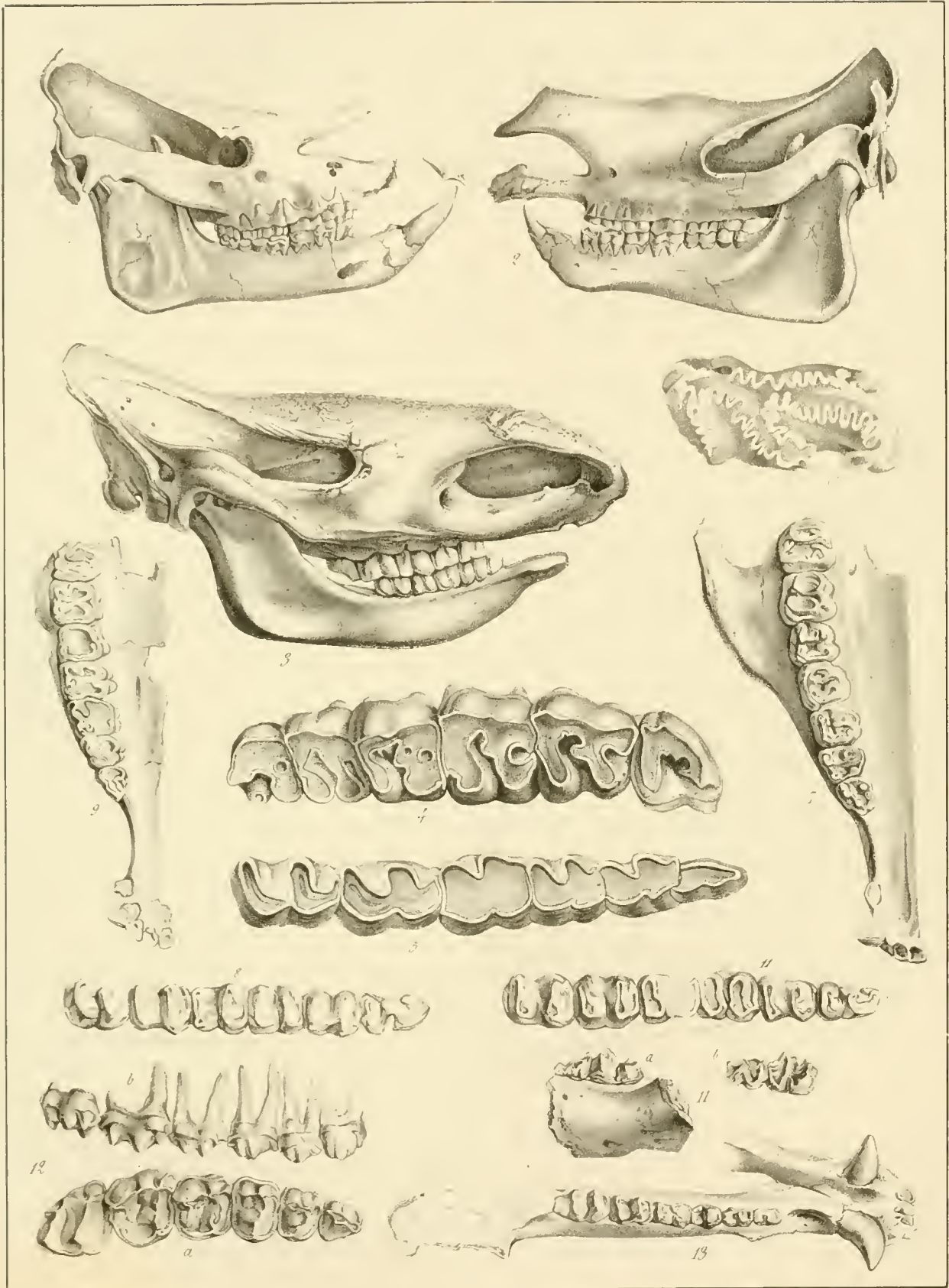
PLANCHE X.

MAMMIFÈRES PACHYDERMES PERISSODACTYLES. — RHINOCÉROS ET TAPIROÏDES.

- Fig. 4. — Tête du rhinocéros sans cornes et à quatre doigts aux pieds antérieurs, formant le genre ou sous-genre des *Acerotherium* (*A. incisivum*), p. 296 et 297, des terrains miocènes. Un neuvième de la grandeur naturelle.
- Fig. 2. — Tête d'un rhinocéros à corne, à dents incisives persistantes, à trois doigts aux pieds antérieurs. Cette tête est celle qui a été décrite sous le nom de *Rhinoceros Schlegelmacheri*, p. 297, espèce qui doit être réunie aux Rhinocéros des terrains miocènes. Un neuvième de la grandeur naturelle.
- Fig. 3. — Tête du rhinocéros à narines cloisonnées (*R. tichorhinus*), p. 298, des terrains diluviens. Même réduction que les deux précédentes.
- Fig. 4. — Dents de la mâchoire supérieure du *Rhinoceros megarhinus*, de Christol, p. 297, des terrains pliocènes. Un tiers de la grandeur naturelle.
- Fig. 5. — Dents de la mâchoire inférieure de la même espèce, à la même réduction.
- Fig. 6. — Une des dents de l'*Elasmotherium Fischeri*, p. 300, telle qu'elle a été reproduite par divers auteurs, d'après la figure originale de M. Fischer.
- Fig. 7. — Mâchoire supérieure du *Tapirus priscus*, Kaup, p. 304, du terrain miocène d'Eppelsheim. Moitié de la grandeur naturelle.
- Fig. 8. — Dents de la mâchoire inférieure de la même espèce, à la même réduction.



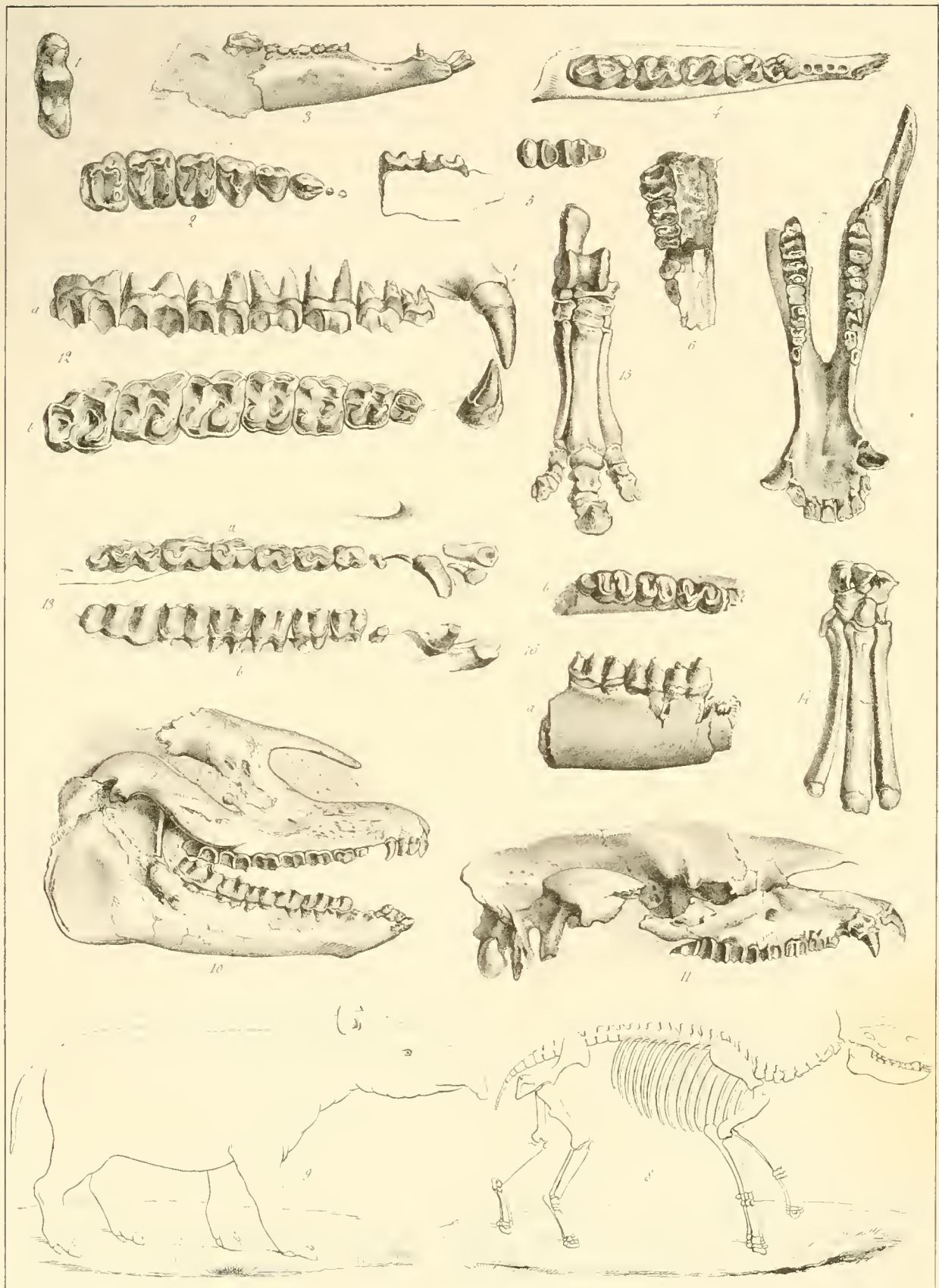
Éléphants et Mastodontes.



Recherches sur les

Recherches sur les

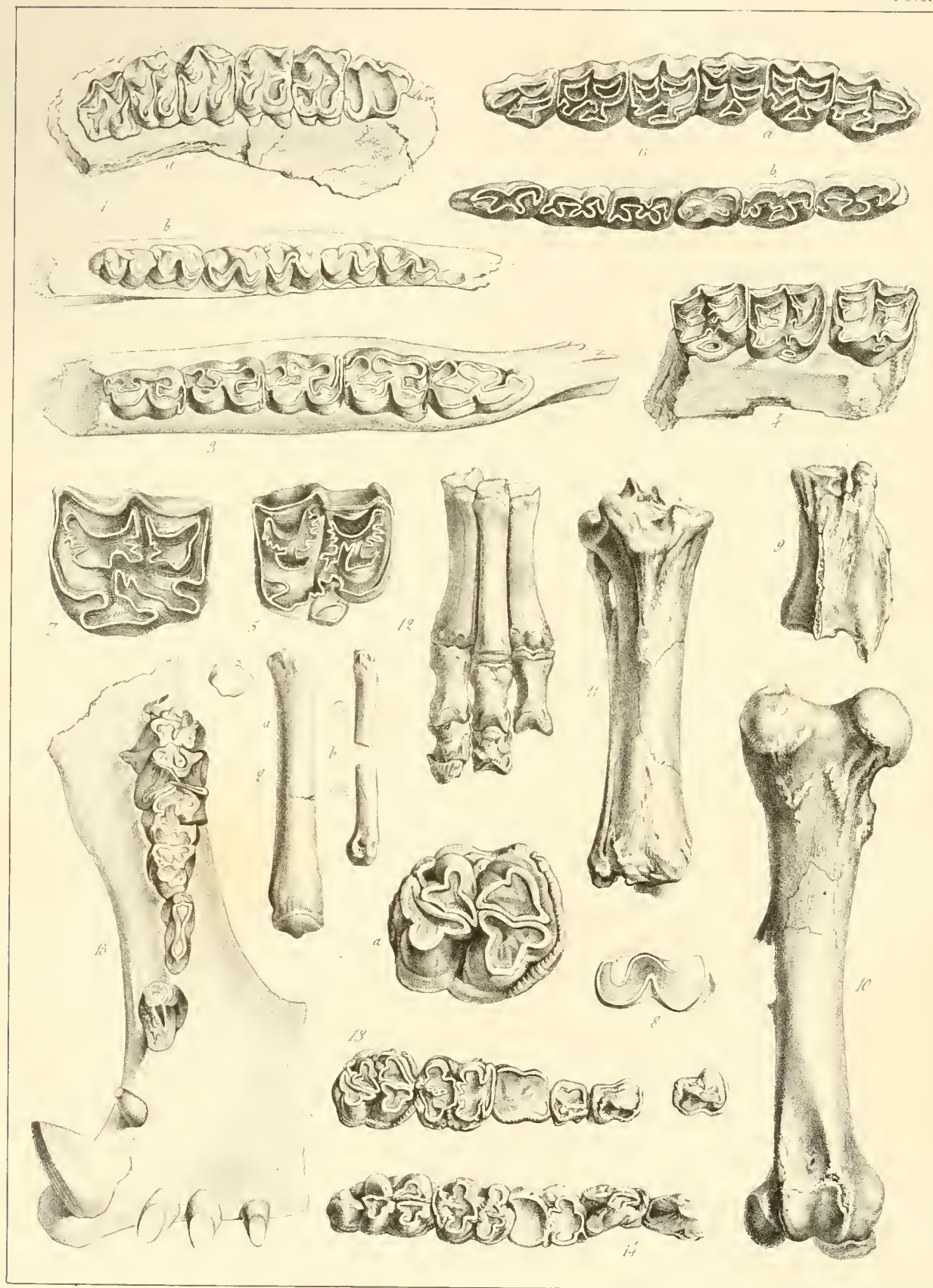
Rhinocéros et Tapiroïdes.



Lackebauer lith

Imp. Lemercier et de Tournes 57, Par.

Tapiroïdes et Paléothérioides.



Solipèdes, Macrauchenia, Hippopotames

- Fig. 9. — Mâchoire supérieure du *Tapirus Arverneusis*, Croiz. et Joh., p. 301, du terrain pliocène d'Auvergne, à la même réduction.
Fig. 10. — Dents de la mâchoire inférieure de la même espèce, à la même réduction.
Fig. 11. — Fragment de mâchoire et dernières molaires du *Coryphodon eocenius*, Owen, p. 304, du terrain éocène d'Angleterre. Un quart de la grandeur naturelle.
Fig. 12. — Dentition de la mâchoire supérieure du grand *Lophiodon d'Issel*, Cuv., p. 305, du parisien inférieur. Moitié de la grandeur naturelle.
Fig. 13. — Mâchoire inférieure du *Lophiodon de Nanterre* (*Lophiodon parisiense*, Gervais), p. 305, du calcaire grossier. Un quart de la grandeur naturelle.
-

PLANCHE XI.

MAMMIFÈRES PACHYDERMES. — TAPIROÏDES ET PALÉOTHÉRIOÏDES.

- Fig. 1. — Dernière dent molaire inférieure du *Pachynolophus cesseracicus*, Gervais, p. 307. De grandeur naturelle.
Fig. 2. — Dents molaires supérieures du *Pachynolophus Duvalii*, Pomel, p. 307, du calcaire grossier de Paris. La première molaire antérieure manque, on voit une double alvéole pour ses deux racines; de grandeur naturelle.
Fig. 3. — Mâchoire inférieure de la même espèce; moitié de la grandeur naturelle.
Fig. 4. — Dents de la mâchoire inférieure du *Lophiotherium cervulum*, Gervais, d'Alais, p. 308; de grandeur naturelle.
Fig. 5. — Fragments de mâchoire inférieure avec les deux dernières molaires du *Tapirulus hyracinus*, Gervais, des environs d'Apt, p. 308; de grandeur naturelle.
Fig. 6. — Fragments de mâchoire supérieure du *Listriodon* (*Tapirotherium*, Lartet), de Simorre (*L. splendens*, H. de Meyer), p. 308; un quart de la grandeur naturelle.
Fig. 7. — Mâchoire inférieure de la même espèce; même réduction.
Fig. 8. — Squelette restauré du *Palæotherium magnum*, d'après Cuvier.
Fig. 9. — Contour probable du même animal.
Fig. 10. — Tête du *Palæotherium medium*, des gypses de Montmartre, p. 310; de grandeur naturelle.
Fig. 11. — Tête du *Palæotherium crassum*, Cuvier, des mêmes gisements, et à la même réduction.
Fig. 12. — Dentition de la mâchoire supérieure du *Palæotherium girondicum*, Blainv., de la Grave Dordogne, p. 311; un tiers de la grandeur naturelle.
Fig. 13. — Dentition de la mâchoire inférieure du *Palæotherium medium*, Cuv.; même réduction.
Fig. 14. — Tarse et métatarse de la même espèce; un quart de la grandeur naturelle.
Fig. 15. — Pied postérieur du *Palæotherium crassum*, Cuv.; un quart de la grandeur naturelle.
Fig. 16. — Fragment de mâchoire inférieure portant les trois dernières molaires du *Propalæotherium d'Issel*, Cuv., p. 312; moitié de la grandeur naturelle.
-

PLANCHE XII.

MAMMIFÈRES PACHYDERMES. — SOLIPÈDES, MACRAUCHENIA ET HIPPOPOTAMES.

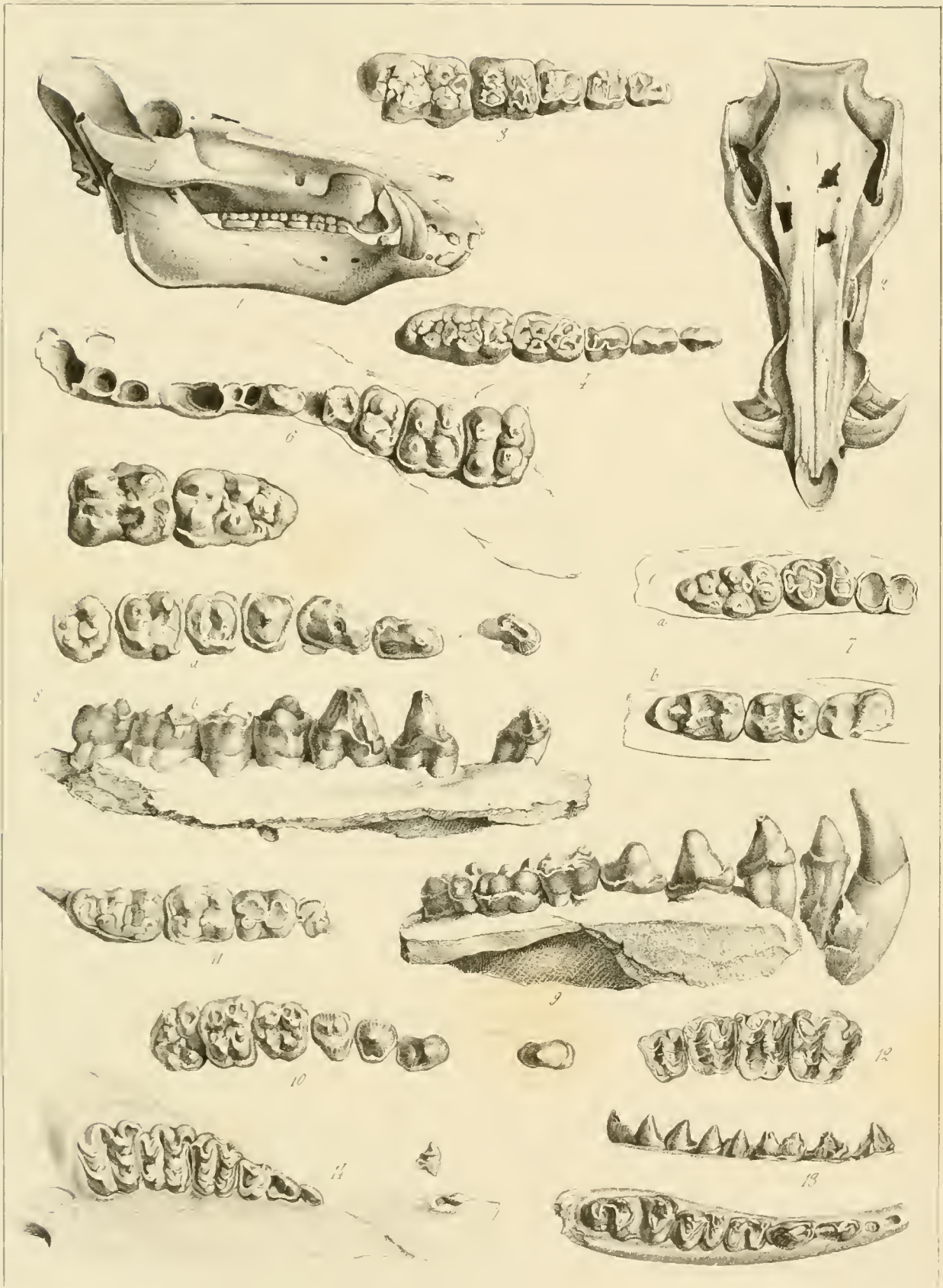
- Fig. 1, a. — Dentition de la mâchoire supérieure de l'*Anchitherium aurelianense*, Gervais (*Palæotherium hippoïdes*, Blainv.), p. 314, du terrain miocène; moitié de la grandeur naturelle.
— 1, b. — Dentition de la mâchoire inférieure de la même espèce; à la même réduction.

- Fig. 2. — Os métacarpiens de la même espèce : *a*, métacarpien médian; *b*, un des métacarpiens accessoires ou latéraux; un quart de la grandeur naturelle.
- Fig. 3. — Dentition de la mâchoire inférieure de l'*Hipparion prostylum*, Gervais, p. 315, du terrain pliocène de Cucuron; de grandeur naturelle.
- Fig. 4. — Trois molaires supérieures de la même espèce; de grandeur naturelle.
- Fig. 5. — Dents molaires supérieures de l'*Hipparion gracile* (*Hippotherium gracile*, Kaup.), p. 314, du terrain miocène d'Eppelsheim, de grandeur naturelle.
- Fig. 6. — Dentition du cheval actuel (*Equus caballus*, Linné); moitié de la grandeur naturelle: *a*, mâchoire supérieure; *b*, mâchoire inférieure.
- Fig. 7. — Molaire du cheval trouvé fossile, par M. Darwin, dans l'Amérique méridionale, p. 318; de grandeur naturelle.
- Fig. 8. — Avant-dernière molaire inférieure du *Macrauchenia patagonica*, Owen, p. 319, de Patagonie; moitié de la grandeur naturelle.
- Fig. 9. — Vertèbre cervicale de la même espèce; un sixième de la grandeur naturelle.
- Fig. 10. — Fémur de la même espèce; même réduction.
- Fig. 11. — Tibia de la même espèce; même réduction.
- Fig. 12. — Pied antérieur de la même espèce; même réduction.
- Fig. 13. — Dentition de la mâchoire supérieure de l'Hippopotame fossile du Val d'Arno, p. 321; moitié de la grandeur naturelle: *a*, dernière molaire, de grandeur naturelle.
- Fig. 14. — Dentition de la mâchoire inférieure de la même espèce; moitié de la grandeur naturelle.
- Fig. 15. — Mâchoire inférieure de l'Hippopotame à six incisives, des montagnes Siwalik (*Hexaprotodon sicolensis*, Cautley et Falconer), p. 322; un quart de la grandeur naturelle.

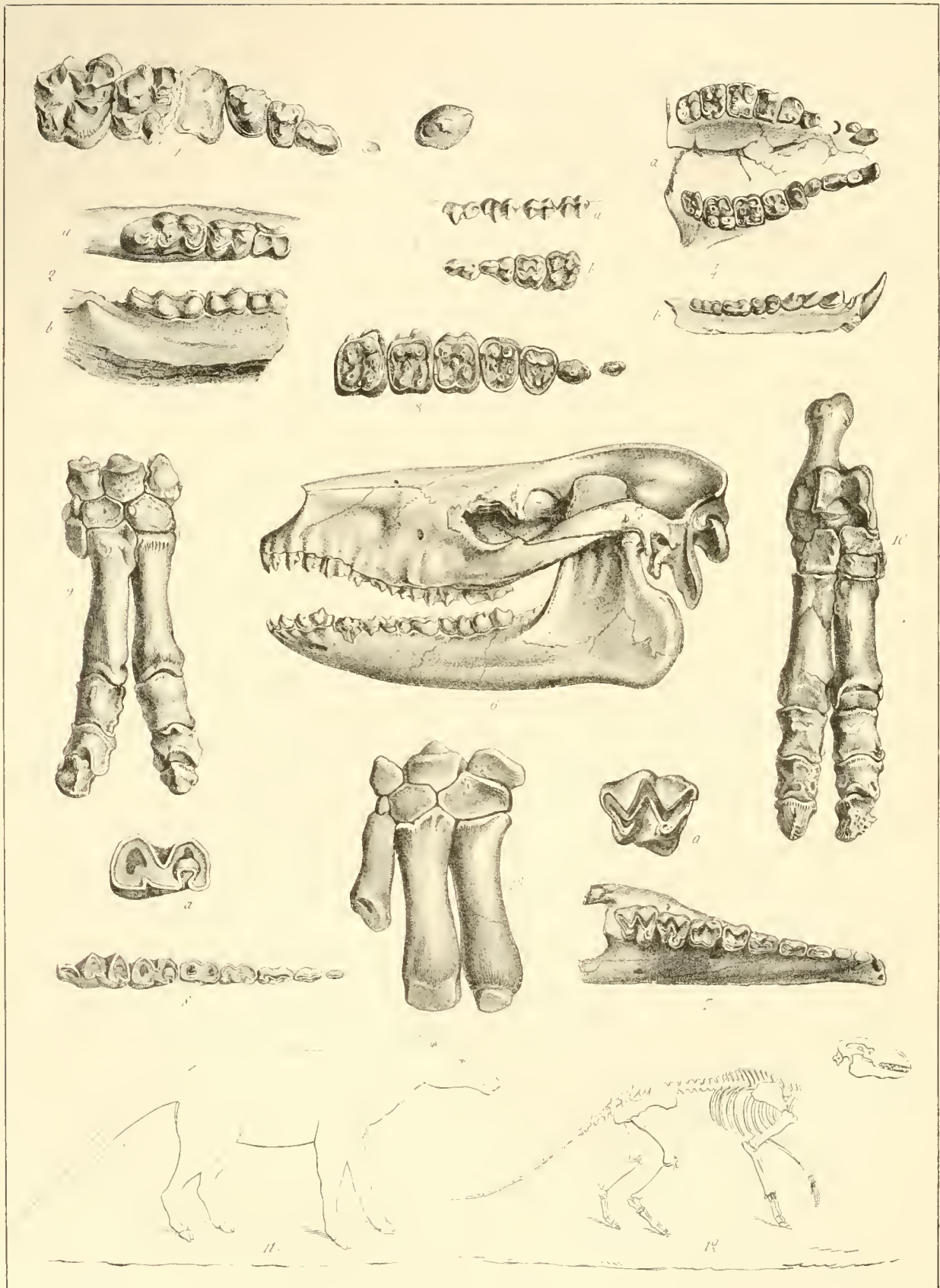
PLANCHE XIII.

MAMMIFÈRES PACHYDERMES. — SUILLIENS (COCHONS, etc.).

- Fig. 1. — Tête du *Sus priscus*, Marcel de Serres, des cavernes du midi de la France, p. 325. Un sixième de la grandeur naturelle.
- Fig. 2. — Tête de la même espèce, vue en dessus.
- Fig. 3. — Dentition de la mâchoire supérieure de la même espèce.
- Fig. 4. — Dentition de la mâchoire inférieure de la même espèce.
- Fig. 5. — Les deux dernières molaires inférieures du *Palæochærus major*, p. 327, des terrains miocènes d'Auvergne; de grandeur naturelle.
- Fig. 6. — Mâchoire supérieure du *Palæochærus typus*, p. 327, des terrains miocènes d'Auvergne; de grandeur naturelle.
- Fig. 7. — Dentition du *Chæromorus mamillatus*, Gervais, p. 327, de Sansan; de grandeur naturelle: *a*, les trois dernières molaires supérieures; *b*, les trois dernières molaires inférieures.
- Fig. 8. — Mâchoire supérieure de l'*Entelodon magnus*, Aymard, du Puy-en-Velay, p. 328: un tiers de la grandeur naturelle: *a*, dents vues par leur surface de trituration.
- Fig. 9. — Dentition de la mâchoire inférieure de la même espèce; à la même réduction.
- Fig. 10. — Dentition de la mâchoire supérieure du *Chæropotamus parisiensis*, Cuv., des gypses de Montmartre, p. 329: moitié de la grandeur naturelle.
- Fig. 11. — Les quatre dernières molaires supérieures du *Hypotherium Sommeringii*, H. de Meyer, de Georgensgmund, p. 330; les deux tiers de la grandeur naturelle.
- Fig. 12. — Dentition de la mâchoire supérieure du *Hypopotamus vectianus*, Owen, p. 332, des terrains éocènes d'Angleterre; un quart de la grandeur naturelle.
- Fig. 13. — Dentition de la mâchoire inférieure; à la même réduction.
- Fig. 14. — Dentition de la mâchoire supérieure de l'hypopotame du Puy (*Hypopotamus velunus*), p. 331, type du genre *Bothriodon*, Aymard. Moitié de la grandeur naturelle.



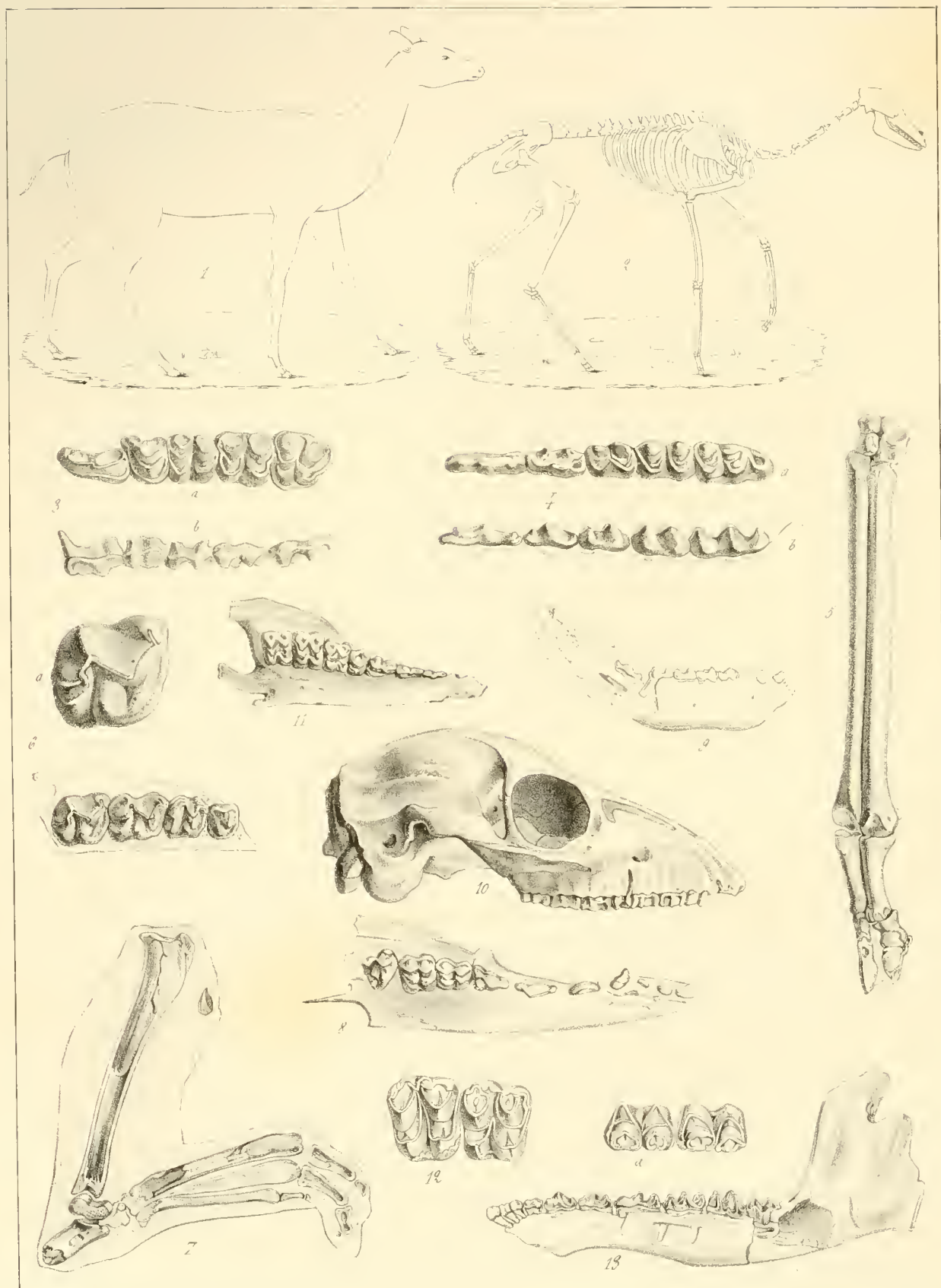
Suilliens (Cochons & c.)



Backebaur lith

Imp Lemercier, r de Seine 57 Paris

Suilliens et Anoplothérioides.



Riocreux lith

Imp Lemercier r. de Seine 57. Paris

Anoplothérioides

Publié par J.B. Baillière Libraire à Paris

PLANCHE XIV.

MAMMIFÈRES PACHYDERMES. — SULLIENS ET ANOPLOTHÉRIOÏDES.

- Fig. 1. — Dentition de la mâchoire supérieure de l'*Anthracotherium magnum* de Digoin, p. 333. Un quart de la grandeur naturelle.
- Fig. 2. — Dentition de la mâchoire inférieure de la même espèce, des lignites de Cadibona. A la même réduction.
- Fig. 3. — Dentition de la mâchoire supérieure de l'*Hyracotherium leporinum*, Owen, p. 334, du terrain tertiaire éocène d'Angleterre. De grandeur naturelle.
- Fig. 4. — Dentition du *Microchærus erinaceus*, Wood., p. 334, du terrain éocène d'Angleterre. De grandeur naturelle : *a*, mâchoire supérieure ; *b*, mâchoire inférieure.
- Fig. 5. — Dentition de la mâchoire supérieure de l'*Acotherium saturninum*, Gervais, p. 334, des lignites de la Débruge. De grandeur naturelle.
- Fig. 6. — Tête de l'*Anoplotherium commune*, Cuv., p. 336, des gypses de Montmartre. Un quart de la grandeur naturelle.
- Fig. 7. — Dentition de la mâchoire supérieure de la même espèce, à la même réduction : *a*, dernière molaire, moitié de la grandeur naturelle.
- Fig. 8. — Dentition de la mâchoire inférieure de la même espèce. Un quart de la grandeur naturelle. *a*, pénultième molaire ; moitié de la grandeur naturelle.
- Fig. 9. — Pied antérieur de la même espèce. Un quart de la grandeur naturelle.
- Fig. 10. — Pied postérieur de la même espèce, à la même réduction.
- Fig. 11. — Forme probable de la même espèce, d'après Cuvier.
- Fig. 12. — Squelette de la même espèce, d'après Cuvier.
- Fig. 13. — Pied antérieur de l'*Eurytherium latipes*, Gervais, p. 337, des lignites de la Débruge.

PLANCHE XV.

MAMMIFÈRES PACHYDERMES. — ANOPLOTHÉRIOÏDES.

- Fig. 1. — Forme probable du *Xiphodon gracile*, Cuv., p. 338, des gypses de Paris.
- Fig. 2. — Squelette restauré de la même espèce.
- Fig. 3. — Dentition de la mâchoire supérieure. De grandeur naturelle.
- Fig. 4. — Dentition de la mâchoire inférieure. De grandeur naturelle.
- Fig. 5. — Pied antérieur de la même espèce. Moitié de la grandeur naturelle.
- Fig. 6. — Les quatre dernières molaires supérieures du *Chalicotherium grande*, Gervais, p. 337, de Sansan. Un quart de la grandeur naturelle. — *a*, la dernière molaire, moitié de la grandeur naturelle.
- Fig. 7. — Pied postérieur du *Dichobune leporina*, Cuv., p. 338, des gypses de Montmartre. Moitié de la grandeur naturelle.
- Fig. 8. — Mâchoire supérieure de la même espèce. De grandeur naturelle.
- Fig. 9. — Mâchoire inférieure de l'*Aphelotherium Duvernoyi*, Gervais, p. 339, des gypses de Paris. De grandeur naturelle.
- Fig. 10. — Tête de l'*Oplotherium commune* d'Auvergne, p. 340. De grandeur naturelle.

- Fig. 11. — Dentition de la mâchoire supérieure de la même espèce.
Fig. 12. — Molaires supérieures du *Dichodon cuspidatus*, Owen, p. 342, des terrains éocènes d'Angleterre. De grandeur naturelle.
Fig. 13. — Mâchoire inférieure de la même espèce. Moitié de la grandeur naturelle. — *a*, les deux dernières molaires, de grandeur naturelle.
-

PLANCHE XVI.

MAMMIFÈRES RUMINANTS. — CERFS ET SIVATHERIUM.

- Fig. 1. — Squelette du *Cerf à bois gigantesques*, d'Irlande, p. 355.
Fig. 2. — Tête de la même espèce. Un quatorzième de la grandeur naturelle : *a*, vue de face; *b*, vue de profil.
Fig. 3. — Molaire supérieure de cerf, montrant la petite colonnette et la brièveté du fût, caractéristiques de ce genre.
Fig. 4. — Bois du *Cervus pardinensis*, Croizet et Jobert, p. 354. Un sixième de la grandeur naturelle.
Fig. 5. — Tête du *Sivatherium giganteum*, p. 348, des tertiaires subhimalayens, d'après MM. Cantley et Falconer.
Fig. 6. — Dents molaires supérieures de la même espèce.
-

PLANCHE XVII.

MAMMIFÈRES RUMINANTS. — CERVIDES ET BOEUF.

- Fig. 1. — Dentition de la mâchoire inférieure de l'*Amphitragulus elegans*, Pomel, p. 348, des terrains miocènes d'Auvergne. De grandeur naturelle. — *a*, la dernière molaire vue en dessus.
Fig. 1*b*. — Dent canine de la mâchoire supérieure de la même espèce. De grandeur naturelle.
Fig. 2. — Dentition de la mâchoire inférieure du *Dremotherium Feignoucii*, Geoffroy, p. 349, des tertiaires miocènes d'Auvergne; de grandeur naturelle. — *a*, la dernière molaire vue en dessus.
Fig. 3. — Surface triturante d'une molaire de mouton.
Fig. 4. — Une arrière-molaire de la mâchoire inférieure du bœuf, avant que la trituration ait atteint la colonnette.
Fig. 5. — La même, lorsque la colonnette fait partie de la surface triturante de la dent.
Fig. 6. — Surface triturante d'une molaire supérieure du bœuf.
Fig. 7. — Tête du *Bos priscus* ou Bison, p. 364, souche des Aurochs de Lithuanie.
Fig. 8. — Tête du *Bos Urus* de César, p. 364, souche probable de nos races domestiques.
-

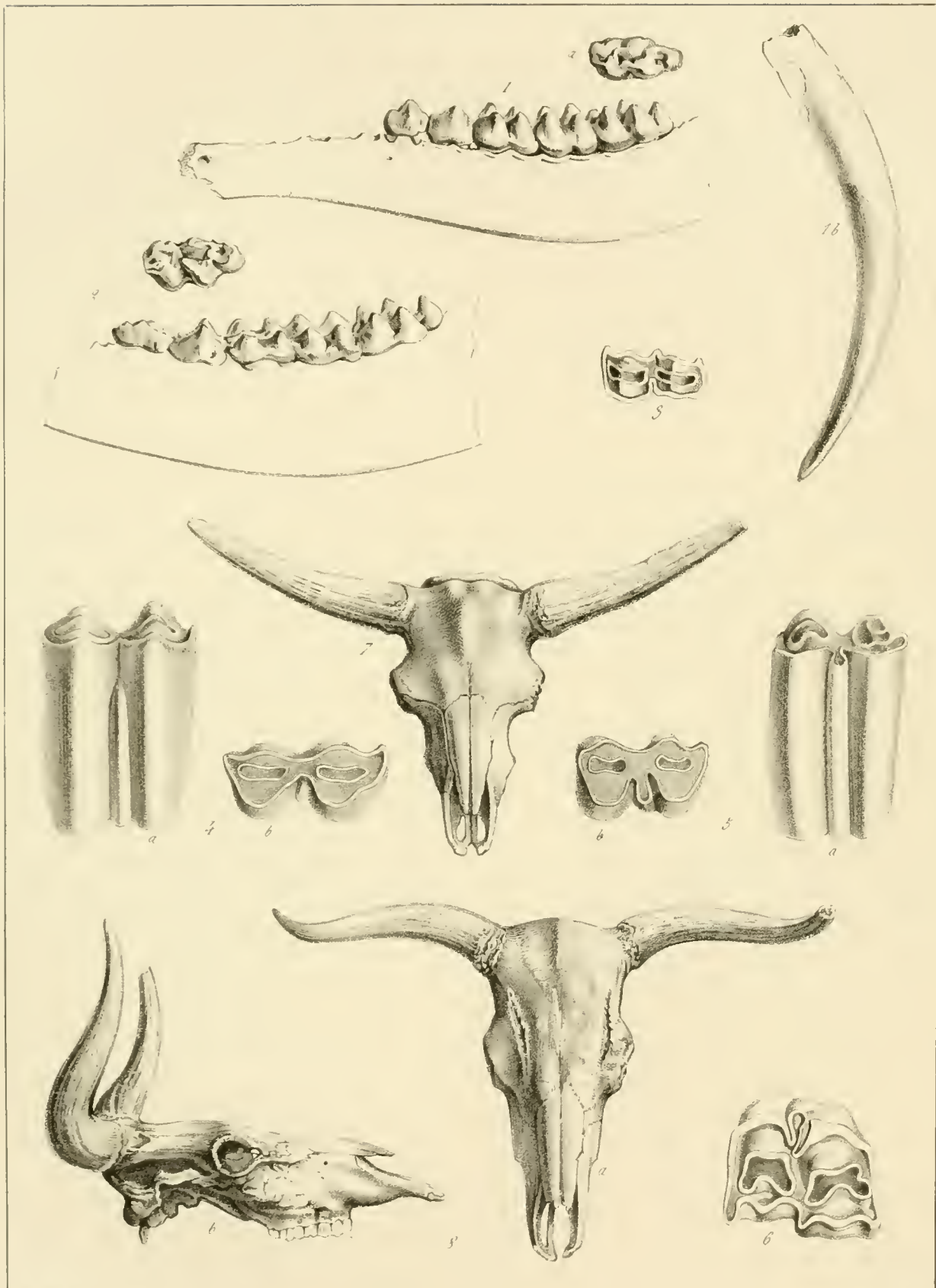


Procrustes del.

Imp. Lemercier, r. de St. André, 15, Paris

Cerfs et Sivatherium

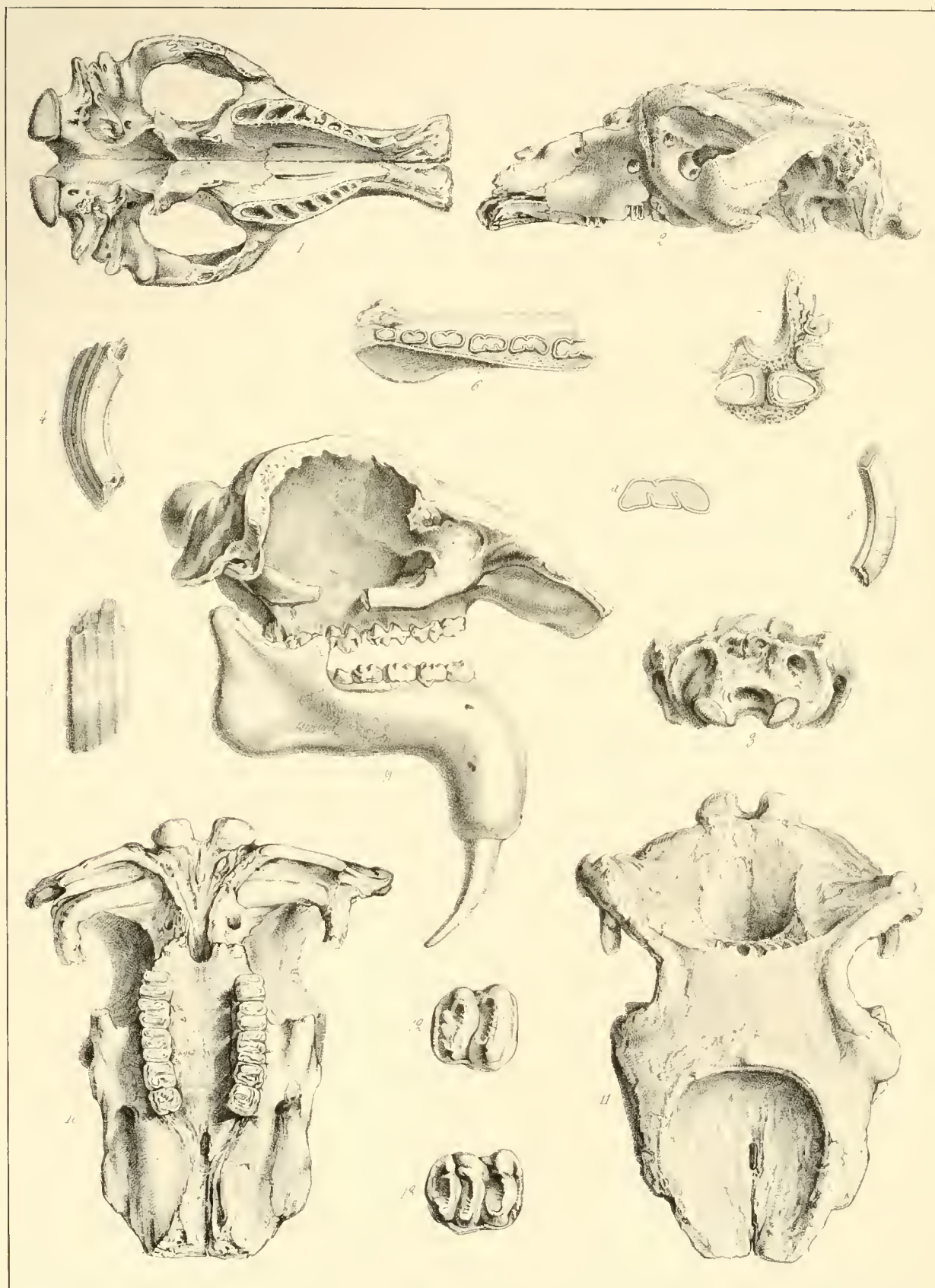
Publié par J. B. Baillière Libraire à Paris



Reproduit

Imp. Lemerrier, r. de Seine 57 Paris

Cervides et Bœufs

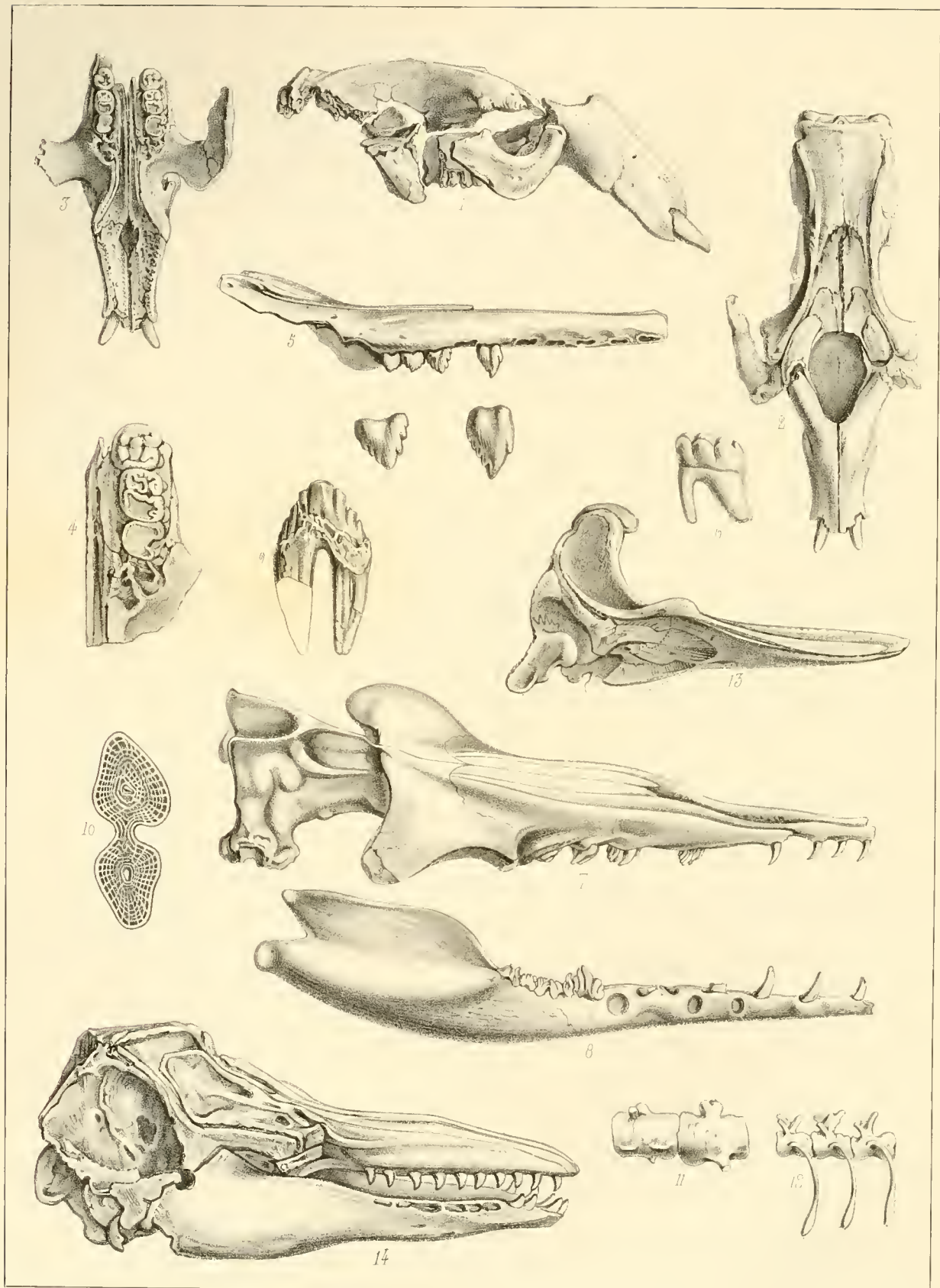


Boissieu lith

• Imp Lemercier r de Seine 57 Paris

Toxodon et Dinotherium.

Publie par J B Bailliere, Libraire a Paris,



Rocreaux del.

Imp. Lenoir, Paris.

Sirenoïdes, Zeuglodontes, Cétacés.

PLANCHE XVIII.

MAMMIFÈRES INCERTAINS. — TOXODON ET DINOTHERIUM.

- Fig. 1. — Tête du *Toxodon platensis*, Owen, p. 366, de l'Amérique méridionale, vue en dessous. Un neuvième de la grandeur naturelle.
- Fig. 2. — La même, vue de profil. Même réduction.
- Fig. 3. — Région occipitale de la même tête.
- Fig. 4. — Sixième molaire supérieure, vue dans son diamètre antéro-postérieur. Un cinquième de la grandeur naturelle.
- Fig. 5. — La même, vue par la face externe.
- Fig. 6. — Fragment de la mâchoire inférieure de la même espèce; même réduction : — *a*, une des arrière-molaires grossie.
- Fig. 7. — Portion incisive de la mâchoire inférieure de la même espèce. Un quart de la grandeur naturelle.
- Fig. 8. — Une des incisives vue de profil. Un cinquième de la grandeur naturelle.
- Fig. 9. — Tête du *Dinotherium giganteum*, Kaup, p. 369, des terrains tertiaires d'Eppelsheim. Un quinzième de la grandeur naturelle.
- Fig. 10. — La même tête vue en dessous, à la même réduction.
- Fig. 11. — La même tête vue en dessus, à la même réduction.
- Fig. 12. — Cinquième molaire supérieure. Un sixième de la grandeur naturelle.
- Fig. 13. — Troisième molaire supérieure. Un sixième de la grandeur naturelle.
-

PLANCHE XIX.

MAMMIFÈRES AQUATIQUES. — SIRÉNOÏDES, ZEUGLODONTES ET CÉTACÉS.

- Fig. 1. — Tête de l'*Halitherium Serresii*, Gervais, p. 374, vue de profil. Un cinquième de la grandeur naturelle.
- Fig. 2. — La même tête vue en dessus, à la même réduction.
- Fig. 3. — Région palatine et maxillaire de la même tête, à la même réduction.
- Fig. 4. — Dent molaire de la même espèce. Deux cinquièmes de la grandeur naturelle.
- Fig. 5. — Fragment de mâchoire supérieure du *Squalodon Grateloupii*, Gervais, p. 379, de Dax.
- Fig. 6. — Une molaire du *Trachytherium Raulinii*, Gervais, p. 374. Moitié de la grandeur naturelle.
- Fig. 7. — Tête du *Zeuglodon Hydrarchus*, Koch, p. 376, du terrain tertiaire de l'Amérique septentrionale, d'après les figures publiées par M. Koch, dans les mémoires de Haidinger.
- Fig. 8. — Mâchoire inférieure de la même espèce.
- Fig. 9. — Une des dents molaires de la même espèce. Un quart de la grandeur naturelle.
- Fig. 10. — Coupe d'une dent de la même espèce, d'après M. Owen.
- Fig. 11. — Deux vertèbres lombaires de la même espèce, d'après M. Koch.
- Fig. 12. — Trois vertèbres dorsales et leurs côtes, d'après M. Koch.
- Fig. 13. — Tête réduite du *Ziphius cavirostris*, Cuv., p. 385.
- Fig. 14. — Tête du *Delphinus* (*Phocæna*) *crossidens*, Owen, p. 382, d'Angleterre.
-

PLANCHE XX.

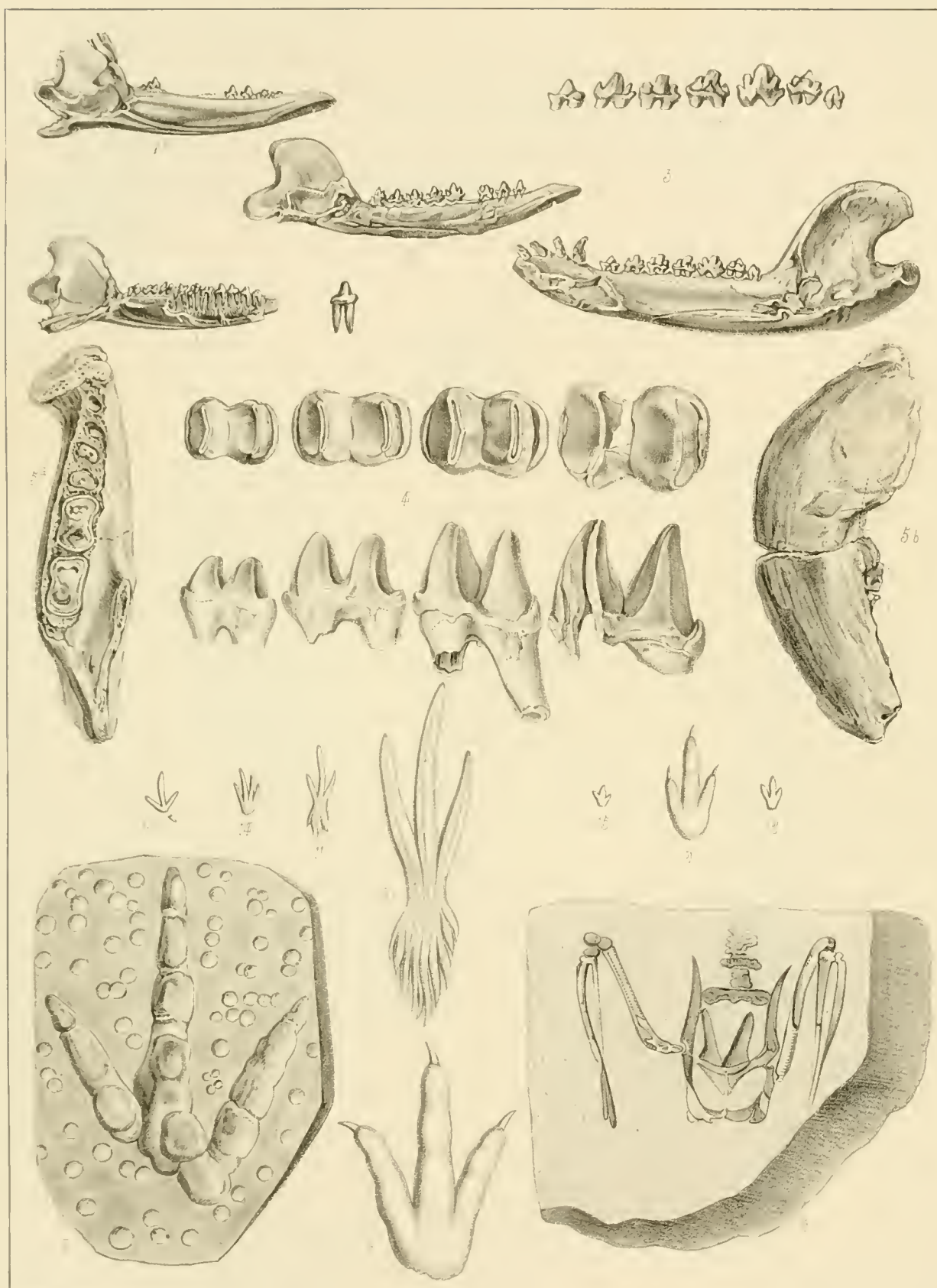
MAMMIFÈRES DIDELPHES ET TRACES D'OISEAUX.

- Fig. 1. *a et b.* — Mâchoire inférieure du *Thylacotherium Prevostii*, Cuv., p. 393, trouvée à Stonesfield. De grandeur double.
- Fig. 2. — Mâchoire inférieure du *Thylacotherium Broderipii*, Cuv., p. 393, du même gisement. Au même grossissement.
- Fig. 3. — Mâchoire inférieure du *Phascolotherium Bucklandii*, Brod., p. 394, du même gisement. Au même grossissement.
- Fig. 4. — Dentition de la mâchoire inférieure du *Diprotodon australis*, Owen, p. 399 (les 5 dernières molaires), de la Nouvelle-Hollande. Moitié de la grandeur naturelle.
- Fig. 5. *a et b.* — Mâchoire inférieure du *Nototherium inerme*, Owen, p. 400, de la Nouvelle-Hollande. Un quart de la grandeur naturelle.
- Fig. 6. — Portion d'un squelette de sarigue découvert dans les gypses de Montmartre par Cuvier, p. 395 (*Didelphis Cuvieri*). De grandeur naturelle.
- Fig. 7. — Impression de pas d'oiseau avec des empreintes de gouttes de pluie, du terrain triasique des États-Unis, p. 405.
- Fig. 8. — Empreinte du pied de l'*Ornithichnites giganteus*, Hitchcock. Un huitième de la grandeur naturelle, p. 406.
- Fig. 9. — Empreinte du pied de l'*O. tuberosus*, Hitchcock.
- Fig. 10. — — — de l'*O. ingens*, —
- Fig. 11. — — — de l'*O. diversus*, — (var. *clarus*).
- Fig. 12. — — — de l'*O. diversus*, — (var. *platydactylus*).
- Fig. 13. — — — de l'*O. tetradactylus*, —
- Fig. 14. — — — de l'*O. palmatus*, —
- Fig. 15. — — — de l'*O. minimus*, —
- Les figures 8-15 ont toutes été réduites dans la même proportion (un huitième de leur grandeur naturelle).

PLANCHE XXI.

OISEAUX DES TERRAINS TERTIAIRES ET DE LA NOUVELLE-HOLLANDE.

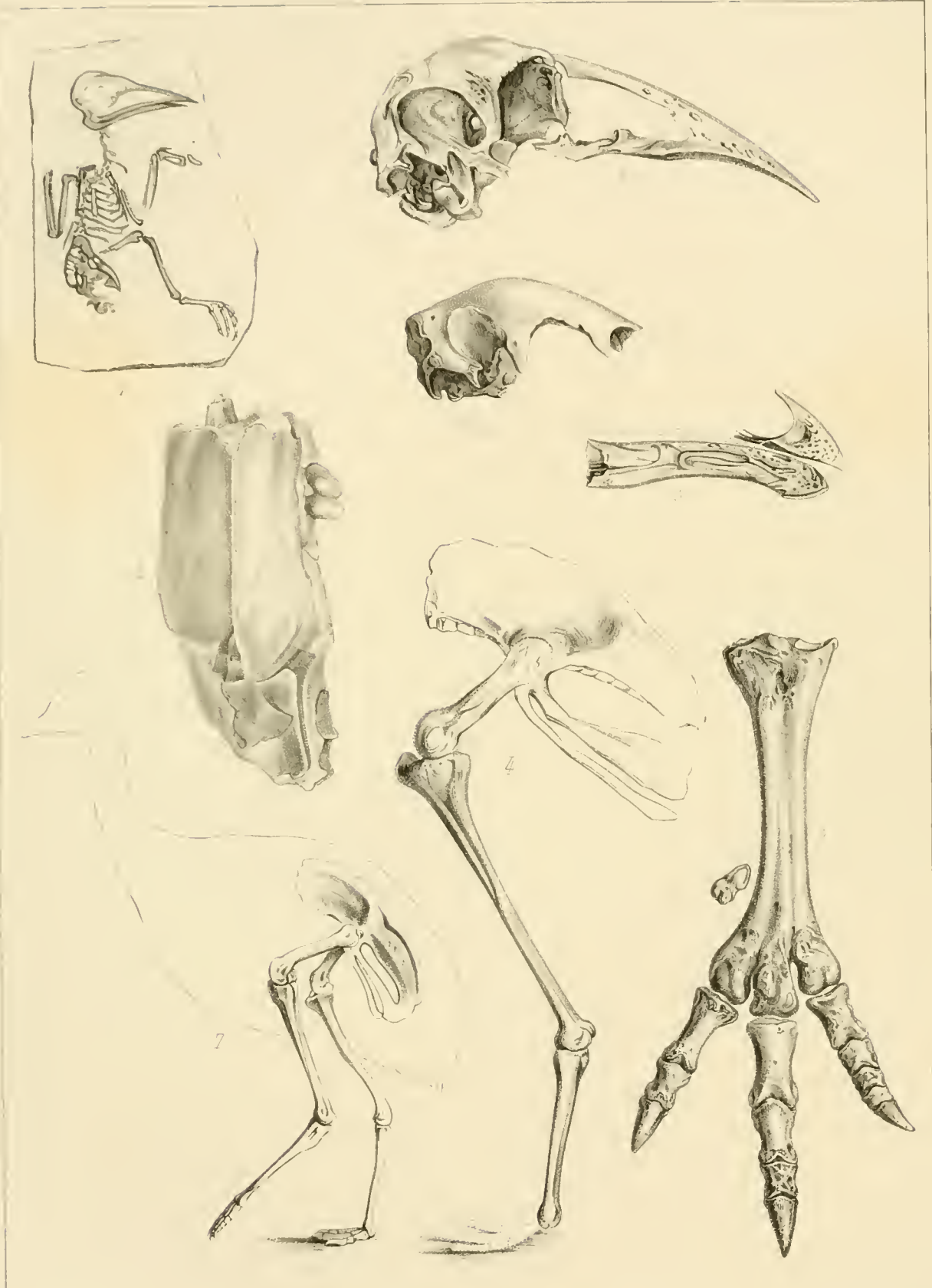
- Fig. 1. — Squelette d'un oiseau, p. 408, trouvé à Montmartre par Cuvier. Moitié de la grandeur naturelle.
- Fig. 2. — Sternum du *Lithornis vulturinus*, Owen, p. 410, de l'argile de Londres. De grandeur naturelle.
- Fig. 3. — Tête de *Dinornis* (*D. casuarinus*? Owen), p. 417, de la Nouvelle-Zélande. Moitié de la grandeur naturelle.
- Fig. 4. — Membre postérieur du *Dinornis giganteus*, Owen, p. 417, réduit à peu près au douzième de sa grandeur naturelle.
- Fig. 5. — Tête de *Palapteryx* (*P. geranioides*) Owen, p. 417, de la Nouvelle-Zélande. Moitié de la grandeur naturelle.
- Fig. 6. — Tarse et pied du *Palapteryx robustus*, Owen, p. 417, de la Nouvelle-Zélande. Un sixième de la grandeur naturelle.
- Fig. 7. — Membre postérieur et contour du corps du *Casuar à casque*, réduit dans la même proportion que la fig. 4, pour montrer ses rapports de taille avec le *Dinornis giganteus*.



1000

Imp Remercier a Paris

Marsupiaux et traces d'Oiseaux.

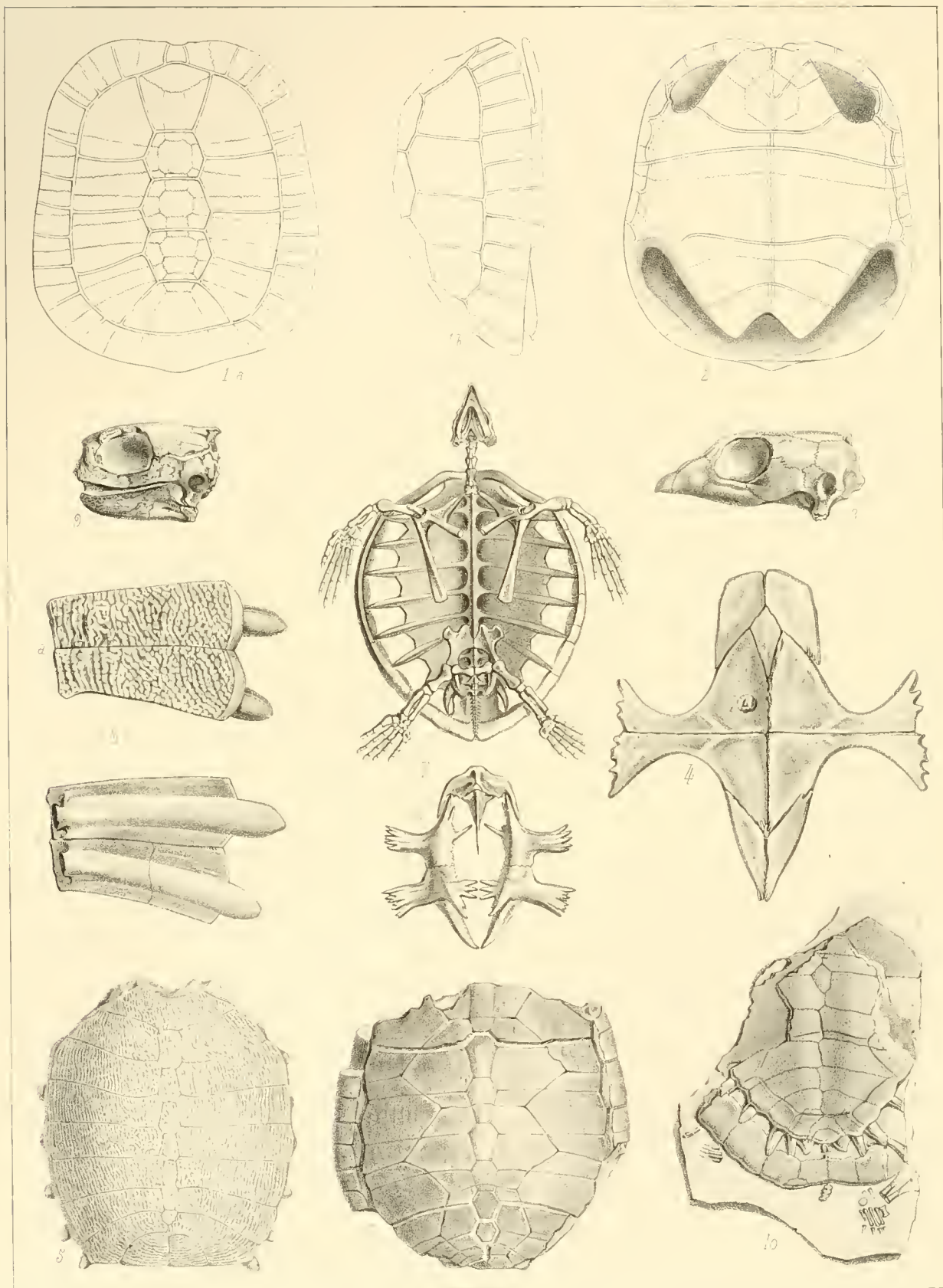


Encre de Chine

Imp. Lemercier, Paris

Oiseaux des Terrains Tertiaires, Oiseaux de la Nouvelle Zélande.

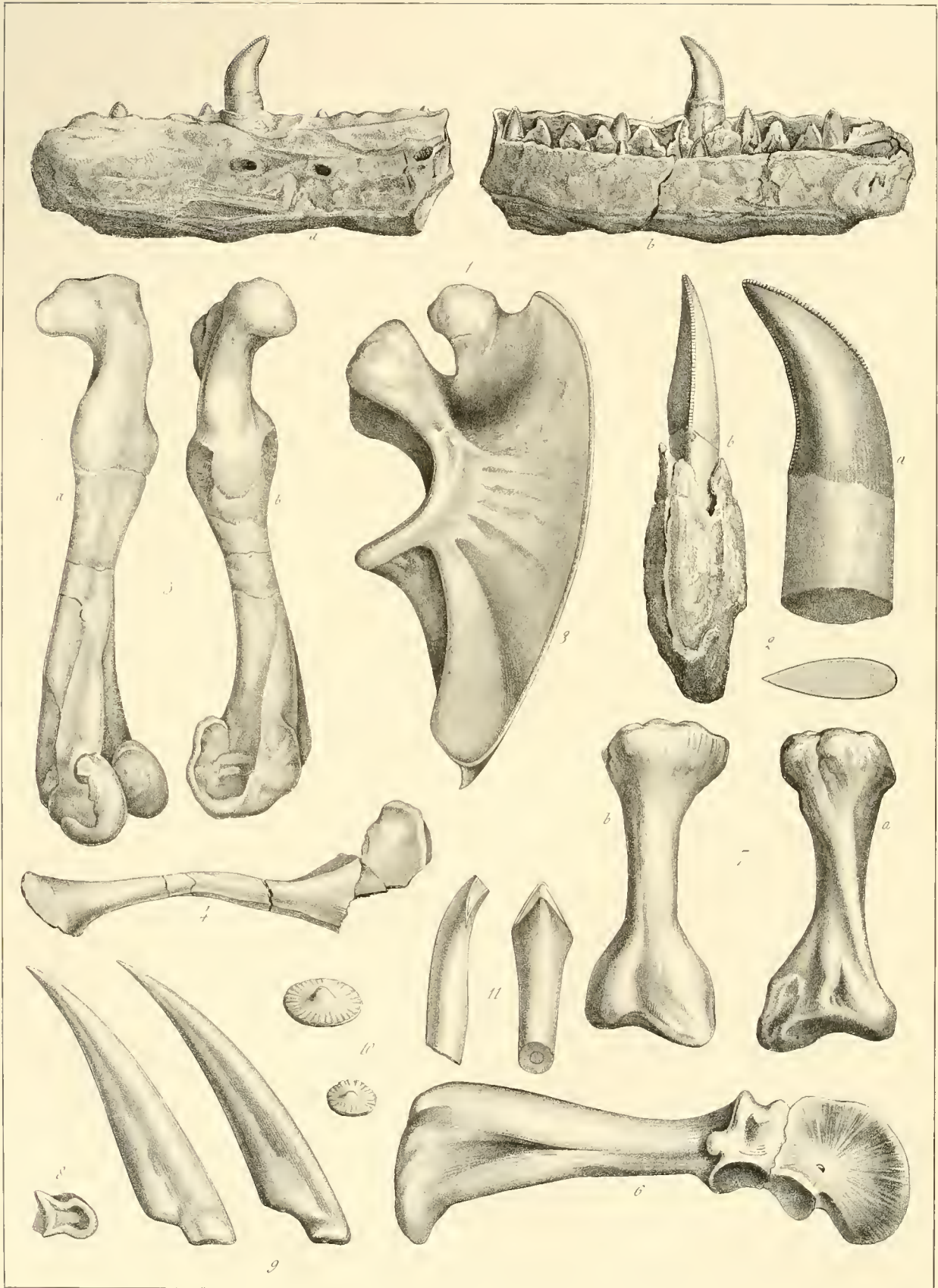
Échelle par J.B. Baillière, Libraire à Paris



Ressenzhth

Imp. Lem. rev. Paris

Tortues .



Recherches sur les

Imp Lemercier Paris

Megalosaurus et Hylosaurus

PLANCHE XXII.

REPTILES CHÉLONIENS.

- Fig. 1. — Carapace de la *Testudo antiqua*, Bronn, p. 443, comme type des tortues de terre. Un quart de la grandeur naturelle. — *a*, vue en dessus; *b*, vue de profil. Les lignes doubles représentent les sillons d'impressions formés par le bord des écailles, les lignes dentées les séparations des pièces osseuses.
- Fig. 2. — Plastron de la même espèce. Même réduction.
- Fig. 3. — Carapace de l'*Emys lavis*, Owen, p. 449, des terrains éocènes d'Angleterre, vue en dessus. Moitié de la grandeur naturelle.
- Fig. 4. — Plastron de la *Chelydra Murchisoni*, Bell, p. 454, des schistes tertiaires d'Oëningen. Un sixième de la grandeur naturelle.
- Fig. 5. — Carapace du *Trionyx Barbara*, Owen, p. 457, des terrains éocènes d'Angleterre. Un sixième de la grandeur naturelle.
- Fig. 6. — Deux pièces costales du *Trionyx rivusos*, Owen, p. 457, des mêmes gisements. Moitié de la grandeur naturelle. — *a*, face externe; *b*, face interne.
- Fig. 7. — Squelette d'une tortue de mer vivante, comme type des Chélonées (*Chelone caouane*): *a*, squelette vu en dessous, le plastron ayant été enlevé; *b*, le plastron.
- Fig. 8. — Tête, vue de profil, de la *Chelone longiceps*, Owen, p. 461, des terrains éocènes d'Angleterre. Un tiers de la grandeur naturelle.
- Fig. 9. — Tête, vue de profil, de la *Chelone breviceps*, Owen, p. 461, des mêmes gisements. Un tiers de la grandeur naturelle.
- Fig. 10. — Portion de la carapace et fragments des pattes postérieures de l'*Idiochelys Wagneri*, H. de Meyer, p. 463, des schistes lithographiques de Kelheim. Un tiers de la grandeur naturelle.
-

PLANCHE XXIII.

REPTILES DINOSAURIENS. — MEGALOSAURUS ET HYLEOSAURUS.

- Fig. 1. — Mâchoire inférieure du *Megalosaurus Bucklandi*, Cuvier, p. 467, de l'oolithe de Stonesfield. Un quart de la grandeur naturelle. — *a*, vue en dedans; *b*, vue en dehors.
- Fig. 2. — Dent du même animal: *a*, vue parallèlement à son diamètre antéro-postérieur; *b*, vue transversalement. Deux tiers de la grandeur naturelle.
- Fig. 3. — Os du même animal, qui est considéré comme un coracoïdien. Un huitième de la grandeur naturelle.
- Fig. 4. — Clavicule probable de la même espèce. Même réduction.
- Fig. 5. *a, b*. — Fémur de la même espèce. Même réduction.
- Fig. 6. — Omoplate et os coracoïdien de l'*Hylosaurus Mantelli*, p. 469, du terrain wealdien d'Angleterre. Un sixième de la grandeur naturelle.
- Fig. 7. *a, b*. — Humérus de la même espèce. Même réduction.
- Fig. 8. — Phalange des doigts de la même espèce. Même réduction.
- Fig. 9. — Épines dorsales formant probablement dans le même animal une crête dorsale semblable à celle des iguanes. Même réduction.
- Fig. 10. — Écusson osseux de la peau du même animal. Même réduction.
- Fig. 11. — Dents attribuées à la même espèce. De grandeur naturelle.
-

PLANCHE XXIV.

REPTILES DINOSAURIENS. — IGUANODON ET PELOROSAURUS.

- Fig. 1. — Mâchoire inférieure de l'*Iguanodon Mantelli*, p. 470, du terrain wealdien d'Angleterre; d'après le bel exemplaire figuré par M. Mantell, vue en dehors. Un quart de la grandeur naturelle.
- Fig. 2. — La même, vue du côté interne.
- Fig. 3 à 7. — Dents de l'*Iguanodon Mantelli*. Moitié de la grandeur naturelle. — Fig. 3. Dent de la mâchoire supérieure, côté gauche: *a*, vue en dehors; *b*, vue de côté; *c*, surface triturrante. — Fig. 4. La même, plus usée. — Fig. 5. Dent de la mâchoire inférieure, côté gauche, vue en dedans, usée. — Fig. 6. Dent de la mâchoire inférieure, côté droit, non usée: *a*, vue en dedans; *b*, vue en dehors. — Fig. 7. Dent de la même mâchoire, côté gauche, commençant à s'user, vue en dehors.
- Fig. 8. — Section d'une dent non usée, grossie quatre fois.
- Fig. 9. — Vertèbre dorsale de l'*Iguanodon du Kentish rag*, p. 472. Un sixième de la grandeur naturelle.
- Fig. 10. — Vertèbre caudale. A la même réduction.
- Fig. 11. — Clavicule de la même espèce. Même réduction.
- Fig. 12. — Humérus de la même espèce. Même réduction.
- Fig. 13. — Fémur de la même espèce. Même réduction. Le fémur et l'humérus appartiennent au même individu et montrent la singulière disproportion qui existe entre ces deux os.
- Fig. 14. — Phalanges des doigts des pieds postérieurs. Même réduction.
- Fig. 15. — Phalanges unguéales des mêmes pieds. Même réduction.
- Fig. 16. — Vertèbres du *Pelorosaurus Conybeari*, Mantell, p. 473. Un huitième de la grandeur naturelle.
- Fig. 17. — Os en V, ou arc hæmal d'une vertèbre caudale du même animal. Même réduction.
- Fig. 18. — Humérus de la même espèce, vu par sa face antérieure. Un douzième de la grandeur naturelle.

PLANCHE XXV.

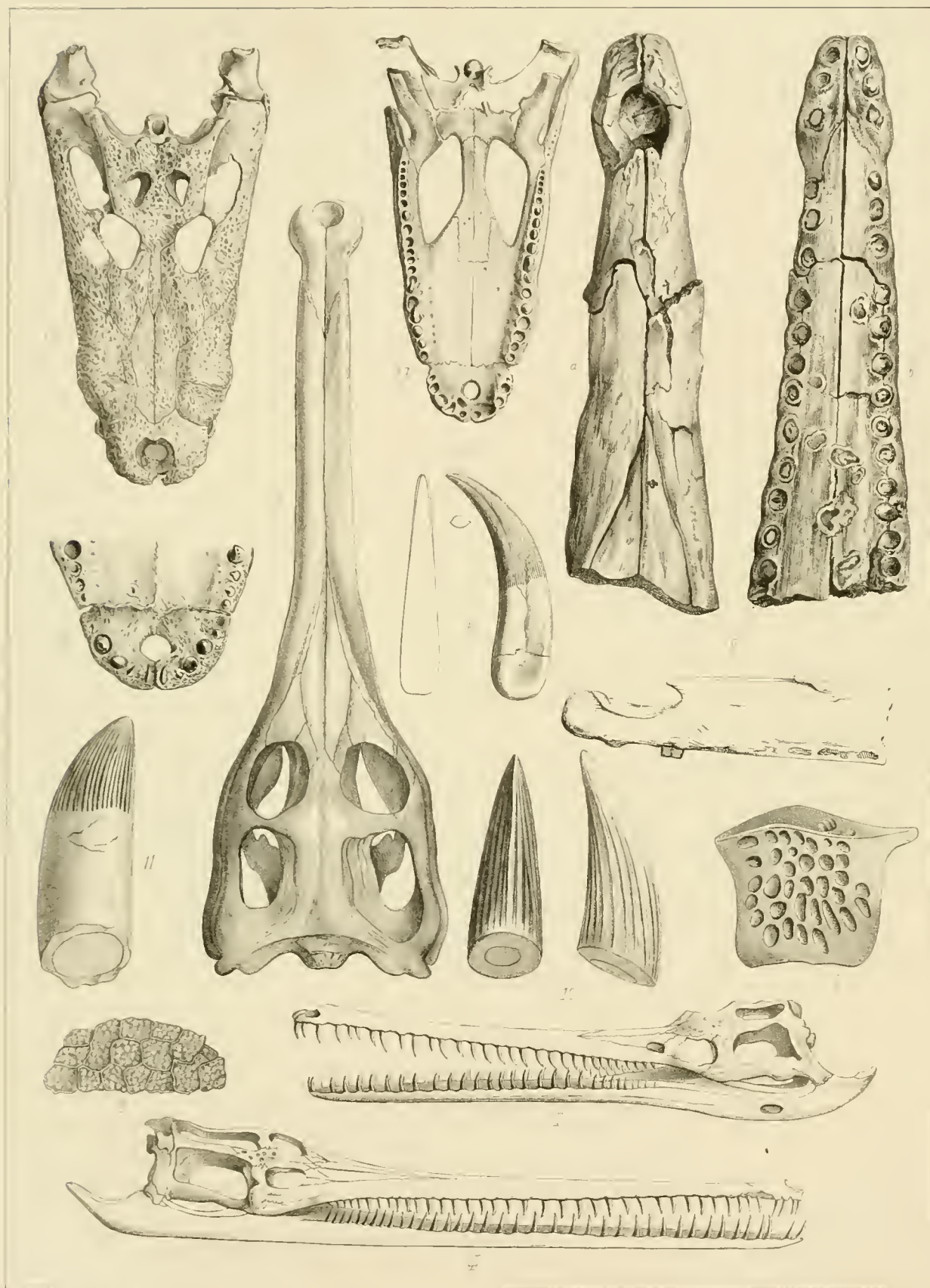
REPTILES SAURIENS. — CROCODYLIENS.

- Fig. 1. — Tête du *Crocodylus Hastingsiae*, Owen, p. 479, des terrains éocènes d'Angleterre. Un sixième de la grandeur naturelle. — *a*, vue en dessus; *b*, vue en dessous.
- Fig. 2. — Extrémité du museau du *Crocodylus Hantoniensis*, Owen, p. 480 (sous-genre des Caïmans), des terrains éocènes d'Angleterre, vu en dessous. Un quart de la grandeur naturelle.
- Fig. 3. — Tête du *Teleosaurus minimus*, Quenstedt, p. 486, du lias supérieur d'Allemagne. De grandeur naturelle.
- Fig. 4. — Tête restaurée, vue de profil, du *Teleosaurus* (*Mystriosaurus* *Laurillardii*, Kaup), p. 484, du lias supérieur d'Allemagne. Deux septièmes de la grandeur naturelle.
- Fig. 5. — Dents du *Teleosaurus Mandelslohi*, Kaup, p. 485, du lias supérieur d'Allemagne. Grandeur naturelle.
- Fig. 6. — Écusson dermal du *Teleosaurus bollensis*, Jaeger, (*Macrospodylus*), p. 486, du lias supérieur d'Allemagne. Moitié de la grandeur naturelle.
- Fig. 7. — Tête restaurée, vue de profil, du *Teleosaurus* (*Pelagosaurus*) *typus*, Bronn, p. 487, du lias supérieur d'Allemagne. Un tiers de la grandeur naturelle.

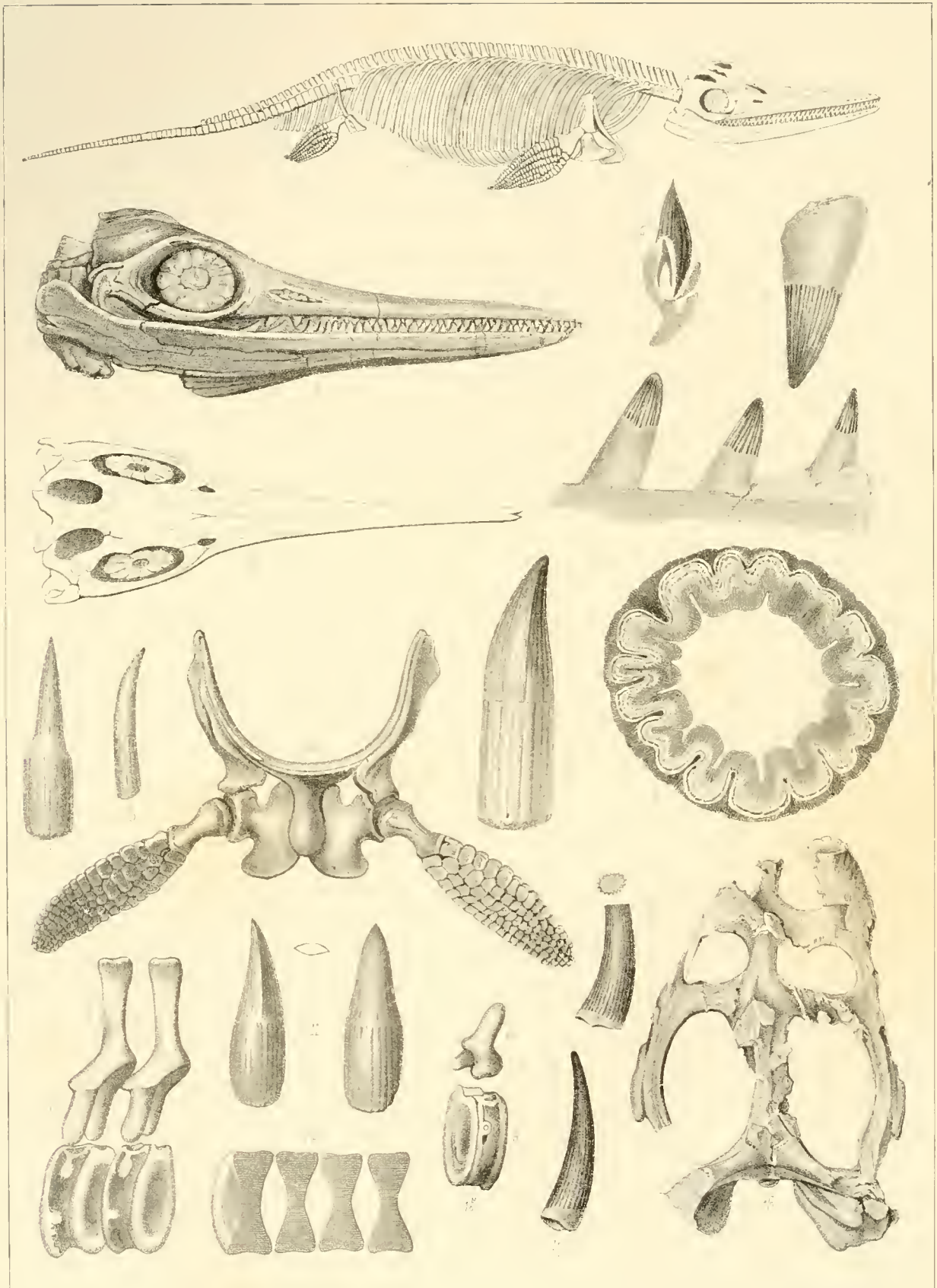


Imp. Lemercier Par.

Iguanodon et Pelorosaurus.



Crocodyliens.



Leveillé lith.

Deshayes gravé par.

Ichthyosaurus et Simosaurus

Deshayes lith. — M. de la Roche gravé par.

- Fig. 8. — Disposition des écailles ou ceussons dermaux de l'abdomen, dans la même espèce. Même réduction.
- Fig. 9. — Extrémité du museau du *Stenosaurus rostrominor*, Geoffr., p. 492, d'après l'exemplaire original du musée de Genève, provenant des marnes kimméridgiennes de Normandie. Un tiers de la grandeur naturelle. — *a*, vu en dessus; *b*, vu en dessous; *c*, de profil.
- Fig. 10. — Dents du *Suechiosaurus cultridens*, Owen, p. 494, du terrain wealdien d'Angleterre. De grandeur naturelle.
- Fig. 11. — Dent du *Goniopholis crassidens*, Owen, p. 495, du même terrain. Grandeur naturelle.

PLANCHE XXVI.

REPTILES. — LACERTIFORMES ET PTÉRODACTYLIENS.

- Fig. 1. — Dent du *Palaeosaurus platyodon*, Riley et Stutch., p. 503, du terrain péncéen. De grandeur naturelle.
- Fig. 2. — Dent du *Cladyodon Lloydii*, Owen, p. 503, du terrain triasique. De grandeur naturelle.
- Fig. 3. — Tête du *Mosasaurus Camperi*, p. 504, du terrain crétacé supérieur de Maëstricht. Un douzième de la grandeur naturelle.
- Fig. 4. — Tête du *Gecosaurus Sæmmeringii*, p. 506, des schistes lithographiques de Bavière. Deux neuvièmes de la grandeur naturelle.
- Fig. 5. — Dents du *Leiodon anceps*, Owen, p. 507, de la craie. Moitié de la grandeur naturelle.
- Fig. 6. — Coupe d'une des mêmes dents pour montrer la cavité centrale.
- Fig. 7. — Mâchoire inférieure du *Raphiosaurus subulidens*, Owen, p. 507, de la craie. De grandeur naturelle. — *a*, vue de profil; *b*, vue par sa face dentaire.
- Fig. 8. — Dent du *Coniosaurus crassidens*, Owen, p. 508, de la craie. Grossie cinq fois.
- Fig. 9. — Dents du *Phytosaurus cylindricodon*, Jaeger, p. 514, du Keuper; *a*, la vraie dent de grandeur naturelle; *b*, remplissage des alvéoles que l'on avait anciennement confondu avec les dents.
- Fig. 10. — Mâchoire inférieure du *Menodon plicatus*, H. de Meyer, p. 515, du grès bigarré. De grandeur naturelle. — *a*, une dent grossie.
- Fig. 11. — Deux dents du *Termatosaurus Alberti*, Plieninger, p. 515, du Keuper. De grandeur naturelle.
- Fig. 12. — Dents du *Brachytænius perennis*, H. de Meyer, p. 519, du terrain jurassique. Moitié de la grandeur naturelle.
- Fig. 13. — Dent du *Polyptychodon interruptus*, Owen, p. 522, de la craie. De grandeur naturelle.
- Fig. 14. — Squelette restauré du *Pterodactylus crassirostris*, Goldf., p. 525, des schistes lithographiques de Bavière. Moitié de la grandeur naturelle.
- Fig. 15. — Tête du *Pterodactylus longirostris*, Oken, p. 525, de Pappenheim.
- Fig. 16. — Tête et cou du *Pterodactylus brevirostris*, Cuvier, p. 525, d'Eichstaedt. De grandeur naturelle.
- Fig. 17. — Dent du *Pterodactylus compressirostris*, Owen, p. 527, de la craie. De grandeur naturelle.
- Fig. 18. — Tête du *Ramphorhynchus Gemmingii*, H. de Meyer, p. 528, des schistes lithographiques de Bavière. Moitié de la grandeur naturelle.

PLANCHE XXVII.

REPTILES EXALIOSAURIENS. — ICHTHYOSAURUS ET SIMOSAURUS.

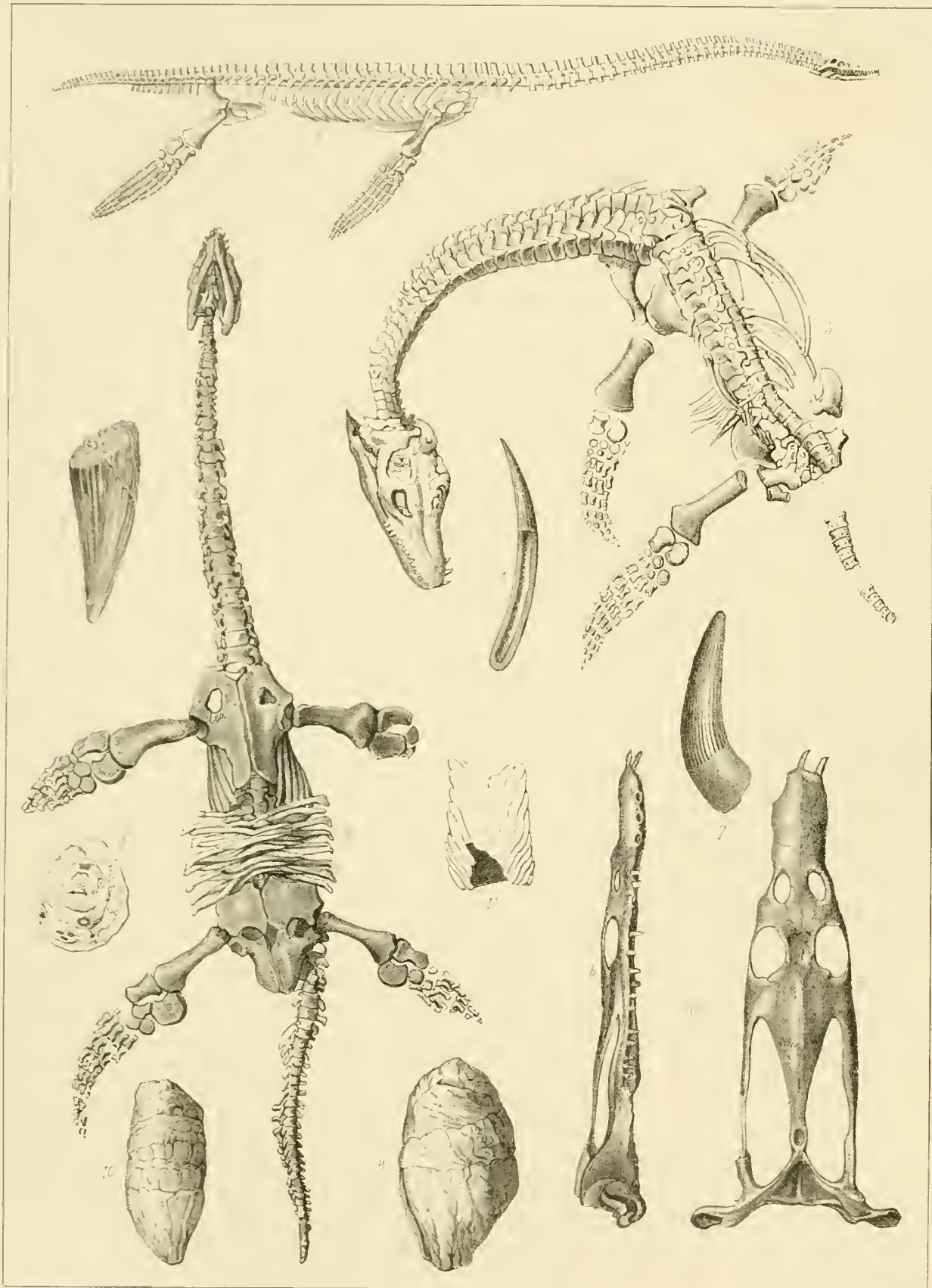
- Fig. 1. — Squelette restauré de l'*Ichthyosaurus communis*, De la Bèche et Conyb., p. 531, d'après Conybeare.

- Fig. 2. — Tête de l'*Ichthyosaurus platyodon*, De la Bèche et Conyb., p. 531, du lias de Lyme Regis; d'après sir Everard Home.
- Fig. 3. — La même, vue en dessus, d'après Conybeare.
- Fig. 4. — Coupe théorique destinée à montrer le mode de remplacement et de réabsorption des dents: *a*, l'ancienne dent; *b*, la nouvelle; *c*, coupe de la mâchoire.
- Fig. 5. — Coupe horizontale d'une dent de l'*Ichthyosaurus communis*, faite près de la base, grossie au microscope, d'après Owen.
- Fig. 6. — Dent de la même espèce. De grandeur naturelle.
- Fig. 7. — Dent de l'*Ichthyosaurus intermedius*, De la Bèche et Conyb., p. 533. De grandeur naturelle.
- Fig. 8. — Dent de l'*Ichthyosaurus tenuirostris*, *Id.*, p. 533. *Id.*
- Fig. 9. — Dent de la mâchoire supérieure de l'*Ichthyosaurus campylodon*, Carter, p. 534, de la craie. De grandeur naturelle.
- Fig. 10. — Dents de la mâchoire inférieure de la même espèce.
- Fig. 11. — Dent de l'*Ichthyosaurus platyodon*, De la Bèche et Conyb., p. 533. Moitié de la grandeur naturelle.
- Fig. 12. — Appareil sternal restauré d'un ichthyosaure, avec les pattes ou nageoires antérieures.
- Fig. 13. — Vertèbres dorsales d'un ichthyosaure, figurées de manière à montrer la forme des corps et la manière dont ils s'unissent aux arcs neuraux; *a*, les corps; *b*, les arcs neuraux.
- Fig. 14. — Coupe théorique, pour montrer le mode d'articulation des corps entre eux et les cavités qui les séparent.
- Fig. 15. — Vertèbre caudale, disposée comme la figure 13.
- Fig. 16. — Tête du *Simosaurus Gaillardoti*, p. 541, du terrain triasique. Un quart de la grandeur naturelle, d'après MM. H. de Meyer et Plieninger.
- Fig. 17. — Dent de la même espèce de grandeur naturelle.
- Fig. 18. — La même dent coupée, et sa tranche.

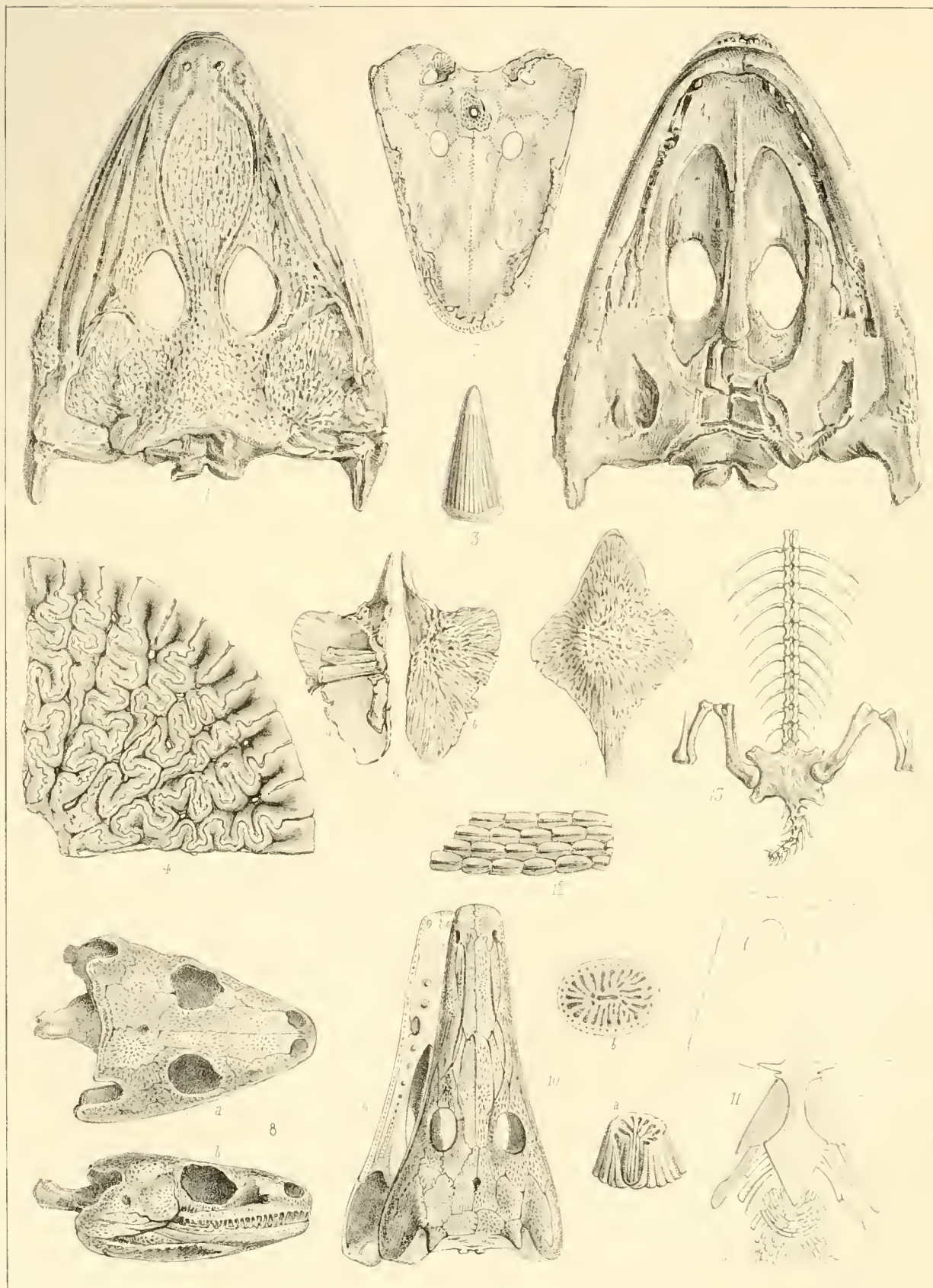
PLANCHE XXVIII.

REPTILES ENALIOSAURIENS. — PLESIOSAURUS ET NOTHOSAURUS.

- Fig. 1. — Squelette restauré du *Plesiosaurus dolichodirus*, Conyb., p. 534, d'après Conybeare.
- Fig. 2. — Squelette de la même espèce, vu du côté du ventre. L'exemplaire original est long de 5 pieds 7 pouces anglais.
- Fig. 3. — Squelette du *Plesiosaurus macrocephalus*, p. 535, d'après M. Buckland.
- Fig. 4. — Dent de Plésiosaure, fortement grossie, d'après Conybeare.
- Fig. 5. — Dent de Pliosaure, p. 537. Moitié de la grandeur naturelle.
- Fig. 6. — Tête du *Nothosaurus mirabilis*, Münster, p. 539, du terrain triasique d'Allemagne: *a*, vue en dessus; *b*, vue de profil. Un quart de la grandeur naturelle.
- Fig. 7. — Dent d'une espèce du même genre, de grandeur naturelle.
- Fig. 8. — Coprolite du lias de Lyme Regis, p. 542, d'après M. Buckland.
- Fig. 9. — Coupe transversale d'un autre coprolite du même gisement, montrant l'enroulement spiral.
- Fig. 10. — Coprolite de la craie marneuse de Lewes.
- Fig. 11. — Coupe longitudinale d'un coprolite du même gisement.



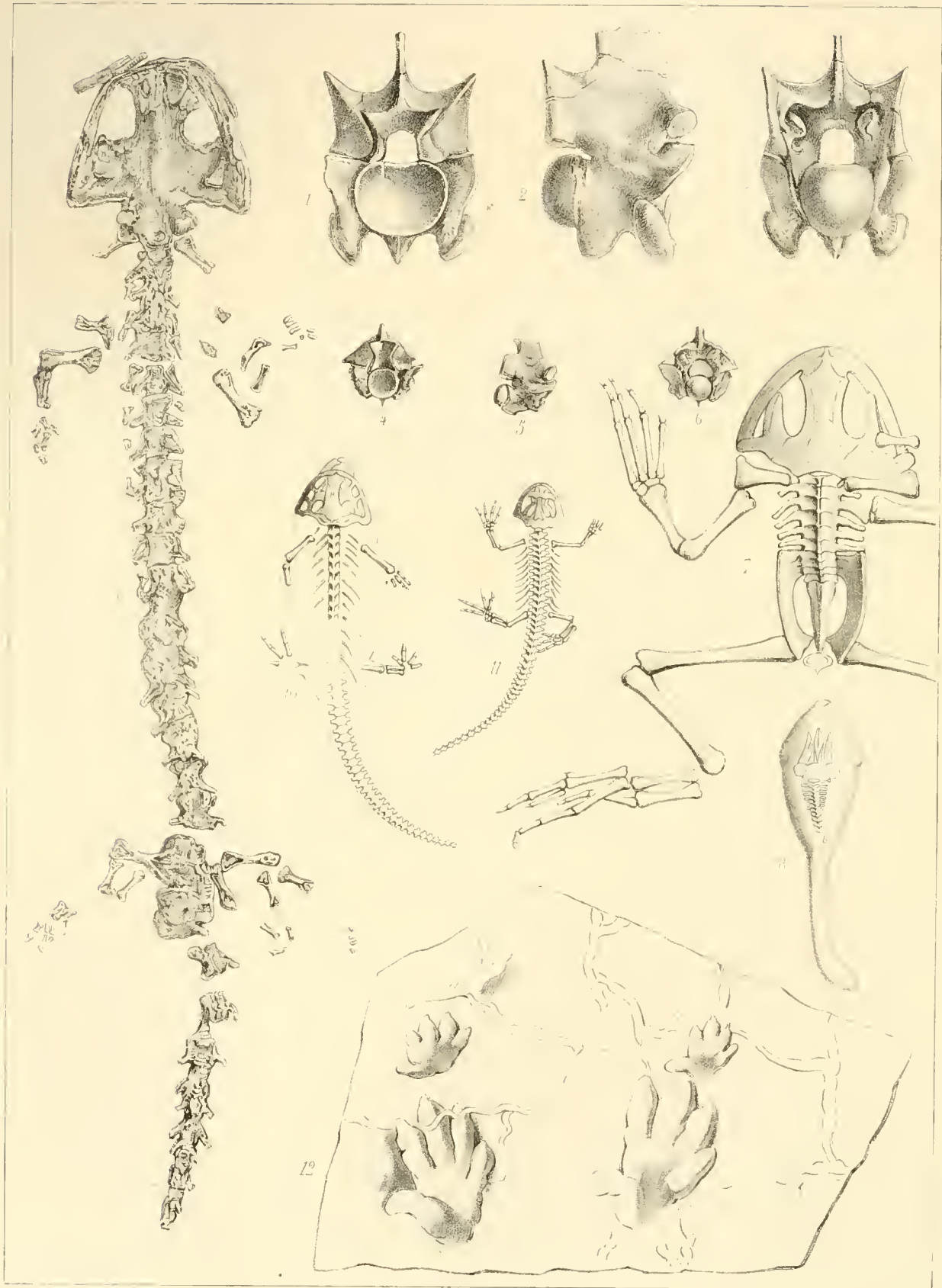
Plesiosaurus et Nothosaurus.



Placodon 14

Archegosaurus 15

Mastodonsaurus Archegosaurus, & C.



Figures III

sur l'enc. sur Paris

Serpents, Grenouilles, Salamandres et Traces de pas

PLANCHE XXIX.

REPTILES. — LABYRINTHODONTES.

- Fig. 1. — Tête du *Mastodonsaurus Jaegeri*, Alberti, du keuper inférieur du Wurtemberg, vue en dessus, tome I, p. 547. Un douzième de la grandeur naturelle.
- Fig. 2. — La même, vue en dessous.
- Fig. 3. — Dent de la même espèce.
- Fig. 4. — Coupe transversale de cette même dent, grossie.
- Fig. 5. — Bouclier pectoral d'un *Mastodonsaurus* de Saildorf. Un douzième de la grandeur naturelle.
- Fig. 6. — Pièces scapulaires de la même espèce; même réduction.
- Fig. 7. — Tête vue en dessous du *Capitosaurus robustus*, H. de Meyer, du keuper de Stuttgart, tome I, p. 548. Un douzième de la grandeur naturelle.
- Fig. 8. — Tête du *Rhinosaurus Jasikowii*, Fischer, tome I, p. 552, du lias de Russie. Moitié de la grandeur naturelle.
- Fig. 9. — Tête de l'*Archegosaurus Dechenii*, Goldfuss, tome I, p. 551; du terrain carbonifère. Un tiers de la grandeur naturelle.
- Fig. 10. — Coupe d'une dent : *a*, dent tronquée, *b*, coupe.
- Fig. 11. — Restauration des écailles du tronc d'un *Archegosaurus*, d'après M. Goldfuss.
- Fig. 12. — Quelques écailles grossies.
- Fig. 13. — Tronc du *Telerpeton elginense*, Mantell, tome I, p. 554, des terrains dévonien d'Écosse. De grandeur naturelle.
-

PLANCHE XXX.

REPTILES OPHIDIENS ET BATRACIENS, ET TRACES DE PAS.

- Fig. 1. — Vertèbre du milieu du corps du *Palaeophis typheus*, Owen, tome I, p. 557; de l'argile éocène de Braklesham (Sussex), vue par la face antérieure. De grandeur naturelle.
- Fig. 2. — La même, vue de profil.
- Fig. 3. — La même, vue par sa face postérieure.
- Fig. 4. — Vertèbre du milieu du corps du *Paleryx rhombifer*, Owen, tome I, p. 557, du terrain éocène d'Hordwell-Cliff.
- Fig. 5. — La même, vue de profil.
- Fig. 6. — La même, vue par sa face postérieure.
- Fig. 7. — Squelette du *Palaeobatrachus Goldfussii*, Tschudi (*Rana diluviana*, Goldfuss), tome I, p. 562, des lignites des Siebengebirge. De grandeur naturelle.
- Fig. 8. — Têtard probable de la même espèce. De grandeur naturelle.
- Fig. 9. — Squelette de l'*Andrias Scheuchzeri*, Tschudi (*Uromyza diluvii testis*, Scheuchzer), tome I, p. 565, des schistes d'Oeningen. Un tiers de la grandeur naturelle.
- Fig. 10. — Squelette de la *Salamandra Ogygia*, Goldfuss, tome I, p. 566, des lignites des Siebengebirge. De grandeur naturelle.
- Fig. 11. — Squelette du *Triton Noachicus*, Goldfuss, tome I, p. 566, du même gisement. De grandeur naturelle.
- Fig. 12. — Empreintes de pas attribuées au genre *Cheiorotherium*, tome I, p. 569, du grès rouge de Hildburghausen. Un huitième de la grandeur naturelle.
-

PLANCHE XXXI.

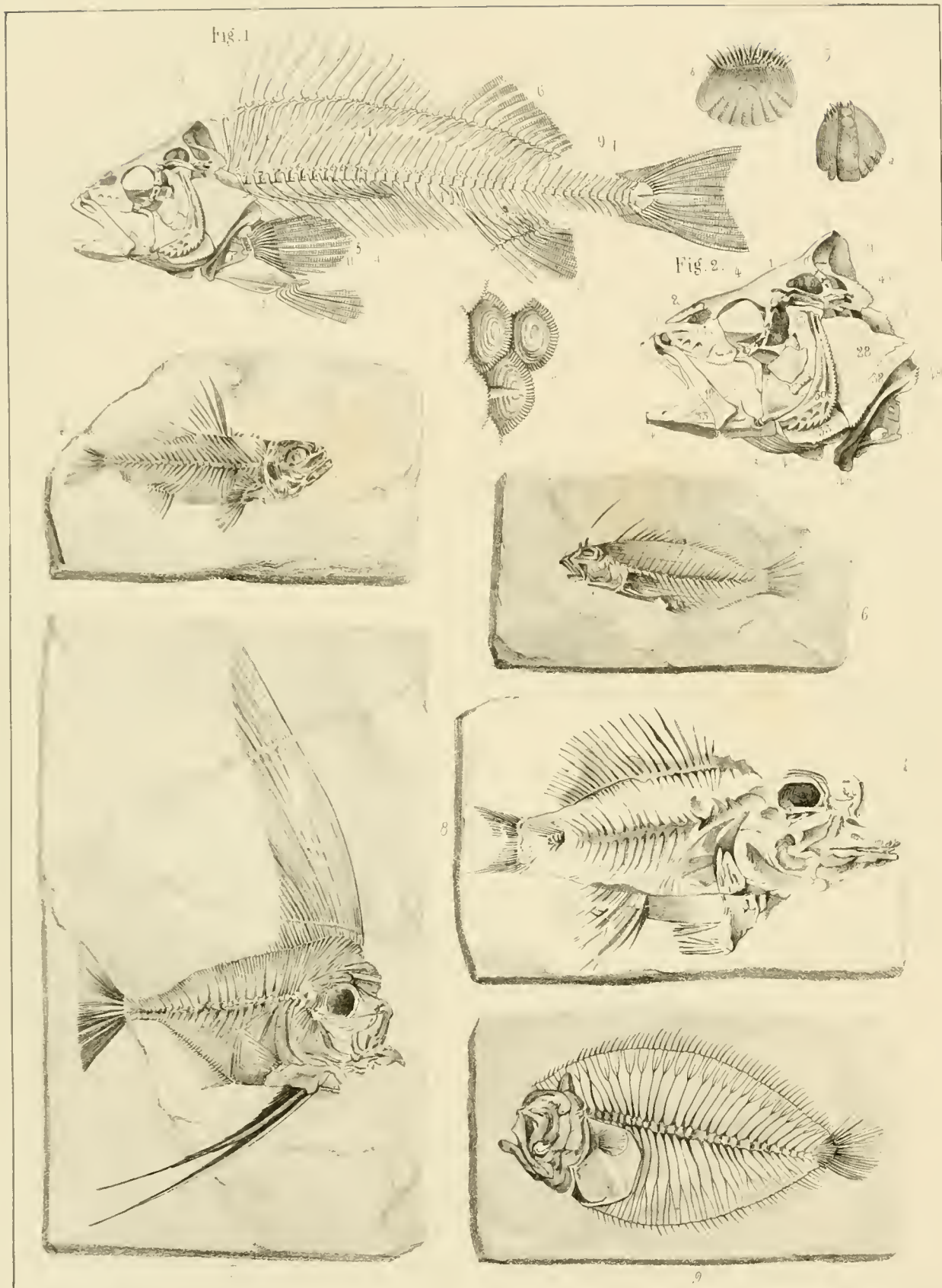
POISSONS TÉLÉOSTÉENS. — CTÉNOIDES ET PLEURONECTES.

- Fig. 1. — Squelette de la Perche commune, (*Perca fluviatilis*, Linné).—1, colonne épinière et ares neuraux; 2, ares hémaux; 3, côtes; 4, apophyses des côtes; 5, première nageoire dorsale, soutenue par des rayons épineux; 6, seconde dorsale, soutenue par des rayons mous; 7, nageoire caudale; 8, nageoire anale; 9, rayons porte-nageoires ou osselets interapophysaires supérieurs; 10, les mêmes, inférieurs; 11, nageoire pectorale; 12, nageoire ventrale.
- Fig. 2. — Tête de la même espèce, dans laquelle les os sont numérotés par les mêmes chiffres qui ont été employés par MM. Cuvier, Meckel, Agassiz, etc. — 1, frontaux principaux; 2, frontaux antérieurs; 3, nasaux; 4, frontaux postérieurs; 7, pariétaux; 8, occipitaux supérieurs; 9, occipitaux externes; 12, écailles du temporal; 17, intermaxillaires; 18, maxillaires supérieurs; 19, jugaux ou sous-orbitaires; 20, os mobiles du nez; 21, surtemporaux; 23, mastoïdiens; 24, transverses; 26, os carrés; 27, caisse; 28, opercule; 30, préopercule; 31, tympanomalléal ou symplectique; 32, sous-opercule; 33, interopercule; 34, dentaire; 35, articulaire; 36, angulaire; 43, rayons branchiostéges; 46 et 47, scapulaires; 48, clavicule; 51 et 52, bras et avant-bras. Les numéros qui manquent correspondent à des os qui ne sont pas visibles dans la tête, telle que nous l'avons disposée.
- Fig. 3. — Écailles d'une jeune perche. 3 a, une écaille de la ligne latérale avec le canal muqueux; 3 b, écaille ordinaire.
- Fig. 4. — *Smerdis minutus*, Agass., tome II, p. 45, d'Aix en Provence. De grandeur naturelle.
- Fig. 5. — Écailles du *Beryx microcephalus*, Agass., tome II, p. 49, de la craie blanche du Sussex.
- Fig. 6. — *Cristiceps paradoxus*, Müller (*Pterygocephalus paradoxus*, Agass.), tome II, p. 61, du Monte Bolca. De grandeur naturelle.
- Fig. 7. — *Semiophorus velicans*, Agass., tome II, p. 68, du Monte Bolca. De grandeur naturelle.
- Fig. 8. — *Pygæus nobilis*, Agass., tome II, p. 68, du Monte Bolca. De grandeur naturelle.
- Fig. 9. — *Rhombus minimus*, Agass., tome II, p. 76, du Monte Bolca. De grandeur naturelle.

PLANCHE XXXII.

POISSONS TÉLÉOSTÉENS ET GANOÏDES. — CYCLOIDES ET HOPLOPLEURIDES.

- Fig. 1. — Tête de truite (*Salmo trutta*, Linné). Les os du crâne sont marqués des mêmes numéros que dans la figure 2 de la planche XXXI.
- Fig. 2-4. — Écailles de différents poissons cycloïdes : 2, *Osmeroides Lewesiensis*, Agassiz; 3, Brochet, *Esox lucius*, Linné; 4, *Tinca leptosoma*, Agassiz.
- Fig. 5. — Mâchoire inférieure de l'*Enchodus halocyon*, Agass., tome II, p. 84, de la craie de Lewes.
- Fig. 6. — Portion de la mâchoire du *Saurodon leanus*, Agass., tome II, p. 94, de la craie de Lewes. De grandeur naturelle.
- Fig. 7. — Dents isolées du *Saurocephalus lanciformis*, Agass., tome II, p. 93, de la craie de New Jersey. De grandeur naturelle.
- Fig. 8. — Portion d'une plaque calcaire contenant une accumulation de *Lcbias cephalotes*, Agass., tome II, p. 107, des plâtrières d'Aix en Provence. De grandeur naturelle.
- Fig. 9. — Tête du *Spaniodon Blondelii*, Pietet, tome II, p. 115, des terrains crétacés du Liban (calcaire tendre de Sach-el-Aalma). De grandeur naturelle.
- Fig. 10. — Squelette de l'*Anguilla brevicula*, Agass., tome II, p. 118, du Monte Bolca. De grandeur naturelle.

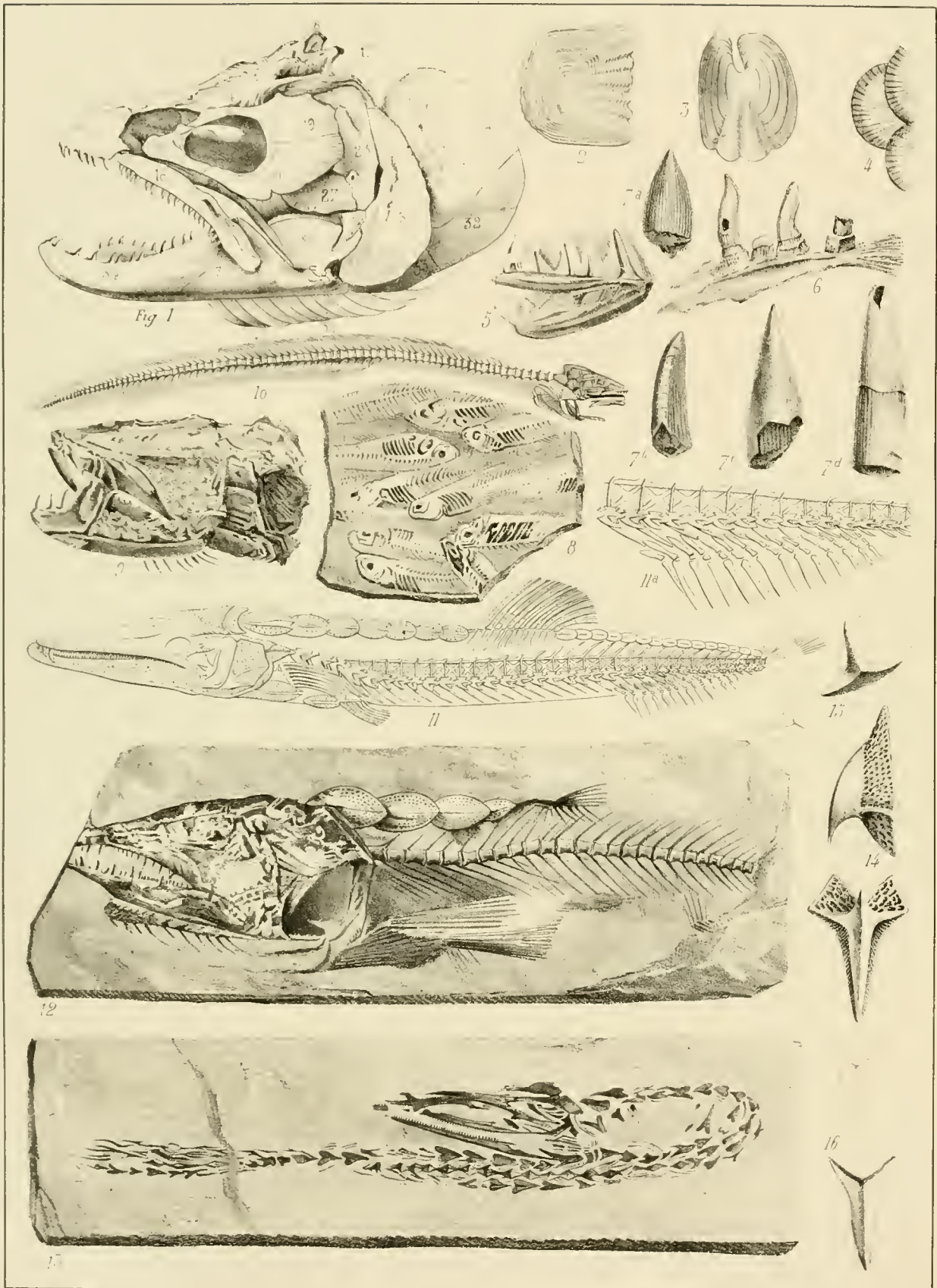


— Kerueyer del.

Imp. J. Leveque Paris

Cténoides et Pleuronectes.

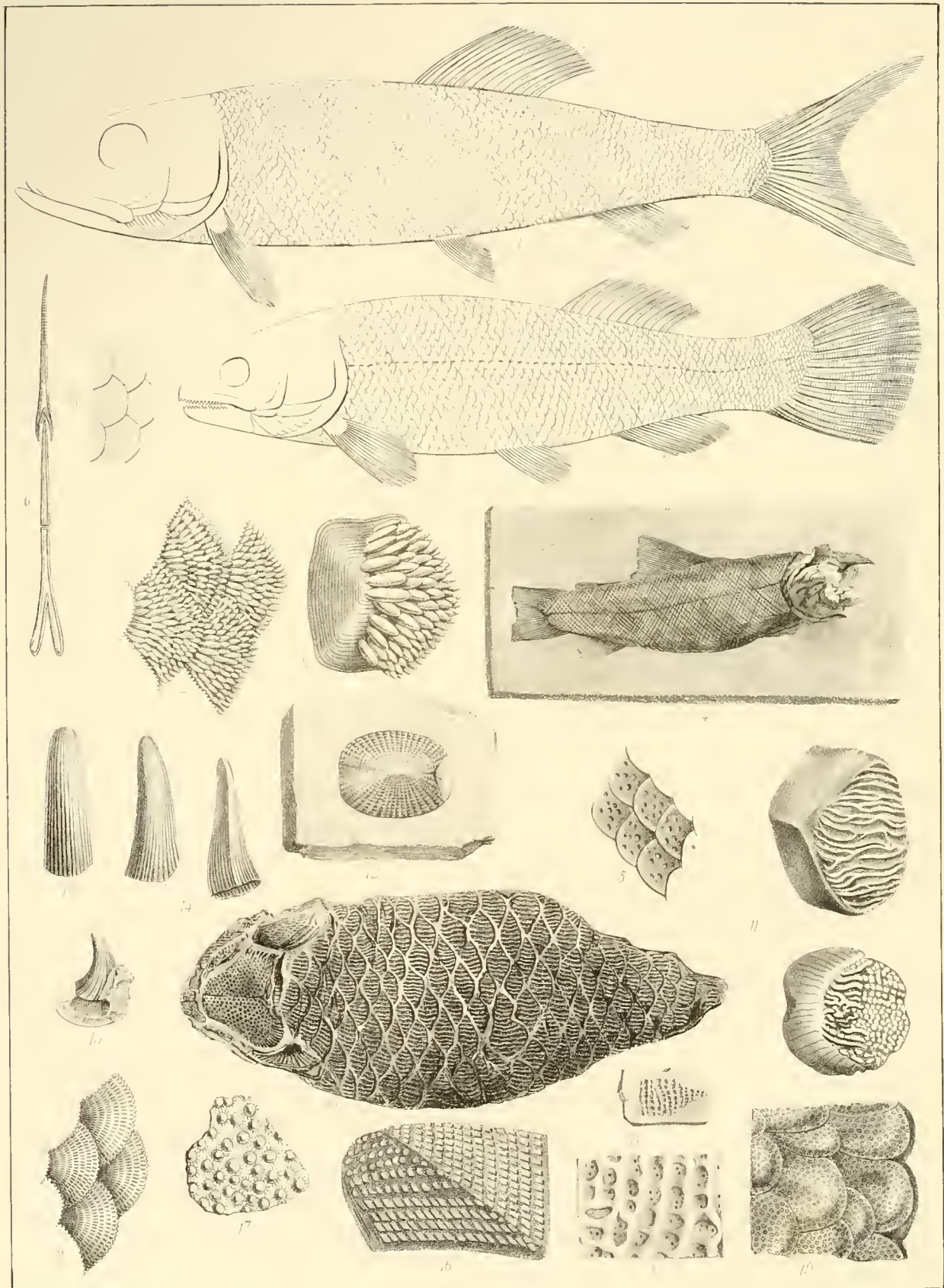
Publié par J. B. Baillière Libraire à Paris



2000 22 2

Imp. Lemeray, Paris.

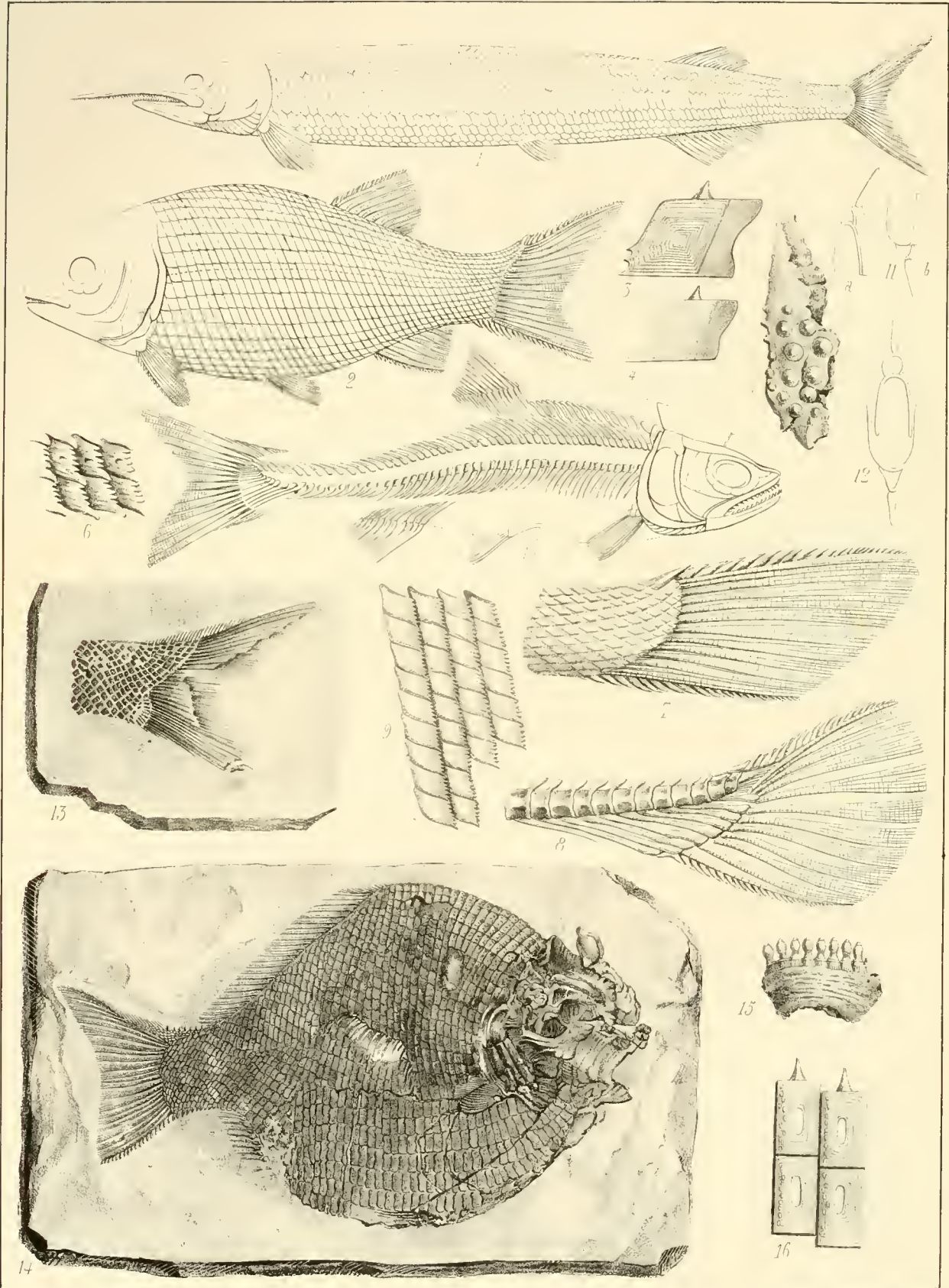
Cycloides et Hoplopleurides



écrit par M.

Imp. Lemercier Paris

Ganoïdes Cyclifères.



lackerbaue: 11h

Lépidostéides homocerques.

- Fig. 11. — Squelette du *Saurorampus Freyeri*, Heckel, tome II, p. 215, du terrain crétacé de Comen. Un peu plus petit que nature. *a*, nageoire anale un peu grossie, pour montrer les osselets surapophysaires.
- Fig. 12. — *Eurypholis Boissieri*, Pictet, tome II, p. 216, des terrains crétacés du mont Liban (calcaire de Hakel). De grandeur naturelle.
- Fig. 13. — *Dercetis elongatus*, Agass., tome II, p. 217, de la craie de Lewes. De grandeur naturelle.
- Fig. 14. — Écussons latéraux de la même espèce, grossis.
- Fig. 15. — Écussons latéraux grossis du *Dercetistriquetus*, Pictet, tome II, p. 217, des calcaires tendres de Sach-el-Aalma.
- Fig. 16. — Écussons latéraux grossis du *Dercetis linguifer*, Pictet, du même gisement.

PLANCHE XXXIII.

POISSONS GANOIDES. — GANOIDES CYCLIFÈRES.

- Fig. 1. — Restauration du genre *Leptolepis*, Agass., tome II, p. 136.
- Fig. 2. — Restauration du genre *Megalurus*, Agass., tome II, p. 139.
- Fig. 3. — Écailles du *Megalurus lepidotus*, Agass.
- Fig. 4. — *Coccolepis Bucklandi*, Agass., tome II, p. 140, de Solenhofen. De grandeur naturelle.
- Fig. 5. — Écailles de la même espèce, grossies.
- Fig. 6. — Coupe théorique d'un rayon de nageoire, d'un rayon porte-nageoire et d'un arc hémal du genre *Cæclacanthus*, Agass., tome II, p. 141.
- Fig. 7-8. — Écailles du *Macropoma Mantelli*, Agass., tome II, p. 142, de la craie blanche d'Angleterre.
- Fig. 9. — Écailles du *Glyptolepis microlepidotus*, Agass., tome II, p. 143, des vieux grès rouges d'Angleterre.
- Fig. 10. — *Holoptychius Andersonii*, Agass., tome II, p. 145, vu par sa face ventrale. Moitié de la grandeur naturelle. Des mêmes grès rouges d'Angleterre.
- Fig. 11. — Écailles de l'*Holoptychius giganteus*, Agass., tome II, p. 146, des mêmes gisements.
- Fig. 12. — Écailles de l'*Actinolepis tuberculatus*, Agass., tome II, p. 146, du terrain dévonien des environs de Saint-Petersbourg.
- Fig. 13. — Dents du *Dendrodus strigatus*, Owen, tome II, p. 147, du terrain dévonien d'Elgin. De grandeur naturelle.
- Fig. 14. — Dent du *Lamnodus biporcatus*, Agass., tome II, p. 148, du même gisement. De grandeur naturelle.
- Fig. 15. — Dent du *Cricodus incurvus*, Agass., tome II, p. 149, des mêmes gisements. De grandeur naturelle.
- Fig. 16. — Écailles de l'*Asterolepis ornata*, Eichwald, tome II, p. 149, des terrains dévoniens de Riga. De grandeur naturelle.
- Fig. 17. — Une portion d'une autre écaille du même poisson, grossie.
- Fig. 18. — Portion d'une écaille osseuse du *Bothriolepis favosa*, Agass., tome II, p. 151, des terrains dévoniens d'Elgin. *a*, de grandeur naturelle.
- Fig. 19. — Écailles du *Psammosteus paradoxus*, Agass., tome II, p. 151, du terrain dévonien de Riga.

PLANCHE XXXIV.

POISSONS GANOIDES. — LÉPIDOSTÉIDÉS NOMOCERQUES.

- Fig. 1. — Figure restaurée du genre *Aspidorhynchus*, Agass., tome II, p. 154.
- Fig. 2. — Figure restaurée du genre *Lepidotus*, Agass., tome II, p. 160.
- Fig. 3-4. — Écailles du *Lepidotus semiserratus*, Agass., grossie, du lias de Whitby.
- Fig. 5. — Dents du *Lepidotus Mantelli*, Agass., des sables d'Hastings.

- Fig. 6. — Écailles du *Pholidophorus limbatus*, Agass., tome II, p. 164, du Lias de Lyme-Regis.
Fig. 7. — Queue du *Lepidosteus osseus*, tome II, p. 170, vivant; pour montrer le mode de terminaison des écailles dans une queue hétérocerque et la disposition des fulcres sur la nageoire caudale.
Fig. 8. — Squelette de la même queue, représenté comme type de la terminaison la plus fréquente de la colonne épinière dans les ganoïdes homocerques.
Fig. 9. — Disposition des écailles dans la même espèce, prise comme type des Ganoïdes rhombifères.
Fig. 10. — Squelette restauré du genre *Caturus*, Agass., tome II, p. 170, comme type d'un Lépidostéide homocerque à corde dorsale persistante.
Fig. 11. — Demi-vertèbres (supérieure et inférieure) qui enveloppent la corde dorsale dans plusieurs Ganoïdes, tome II, p. 6.
Fig. 12. — Ces mêmes pièces dans leur position relative.
Fig. 13. — Queue de l'*Eugnathus orthostomus*, Agass., tome II, p. 176, du lias de Lyme-Regis. Un tiers de la grandeur naturelle.
Fig. 14. — *Dapedius Colei*, Agass., tome II, p. 168 du lias de Lyme-Regis. Un tiers de la grandeur naturelle.
Fig. 15. — Mâchoire du *Tetragonolepis mastodonteus*, Agass., tome II, p. 166, des sables d'Hastings.
Fig. 16. — Écailles du *Tetragonolepis monilifer*, Agass., du lias d'Angleterre.
-

PLANCHE XXXV.

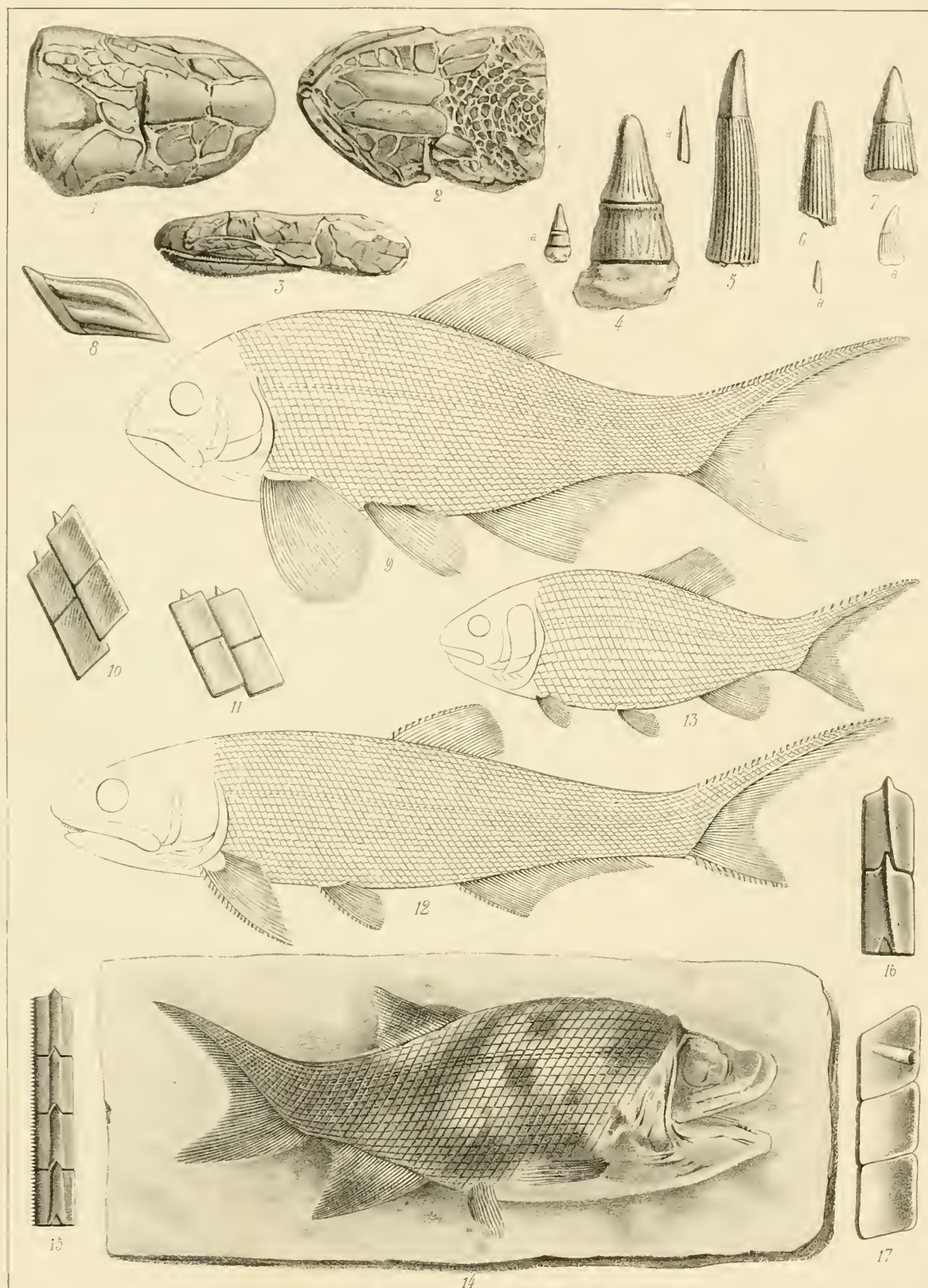
POISSONS GANOIDES. — LÉPIDOSTÉIDES HÉTÉROCERQUES.

- Fig. 1. — Tête du *Megalichthys Hibberti*, Agass., tome II, p. 179, du terrain carbonifère de Glasgow, vue en dessus. Un huitième de la grandeur naturelle.
Fig. 2. — La même, vue en dessous.
Fig. 3. — La même, vue de profil.
Fig. 4. — Dent du *Saurichthys acuminatus*, Agass., tome II, p. 178, du muschelkalk d'Austelift.
Fig. 5. — Dent du *Saurichthys longidens*, Agass., id.
Fig. 6. — Dent du *Saurichthys apicalis*, Agass., du muschelkalk de Bayreuth.
Fig. 7. — *Saurichthys Mougeoti*, Agass., du muschelkalk de Lunéville. — Dans les figures 4, 5, 6 et 7, les petites dents figurées sous la lettre *a* indiquent la grandeur naturelle.
Fig. 8. — Écailles de l'*Acrolepis Sedgwicki*, Agass., tome II, p. 180, du terrain magnésien d'Angleterre.
Fig. 9. — Forme probable des poissons du genre *Amblypterus*, Agass., tome II, p. 181.
Fig. 10. — Écailles de l'*Amblypterus striatus*, Agass., du terrain carbonifère de New-Haven.
Fig. 11. — Écailles de l'*Amblypterus nemopterus*, Agass., du même gisement.
Fig. 12. — Forme d'une espèce allongée appartenant au genre *Palæoniscus*, Agass., tome II, p. 184.
Fig. 13. — Forme d'une espèce courte du même genre.
Fig. 14. — *Palæoniscus Vratislaviensis*, Agass., des schistes de Ruppersdorf en Bohême. De grandeur naturelle.
Fig. 15. — Écailles du *Palæoniscus glaphyrus*, Agass., du calcaire magnésien d'Angleterre.
Fig. 16. — Écailles du *Palæoniscus carinatus*, Agass., du terrain carbonifère de New-Haven.
Fig. 17. — Écailles du *Palæoniscus angustus*, Agass., des schistes carbonifères de Muse, près Autun.
-

PLANCHE XXXVI.

POISSONS GANOIDES. — ACANTHODIENS ET PYCNODONTES.

- Fig. 1. — *Acanthodes* restauré, tome II, p. 189.
Fig. 2. — Écailles de l'*Acanthodes sulcatus*, Agass., du terrain carbonifère de New-Haven.

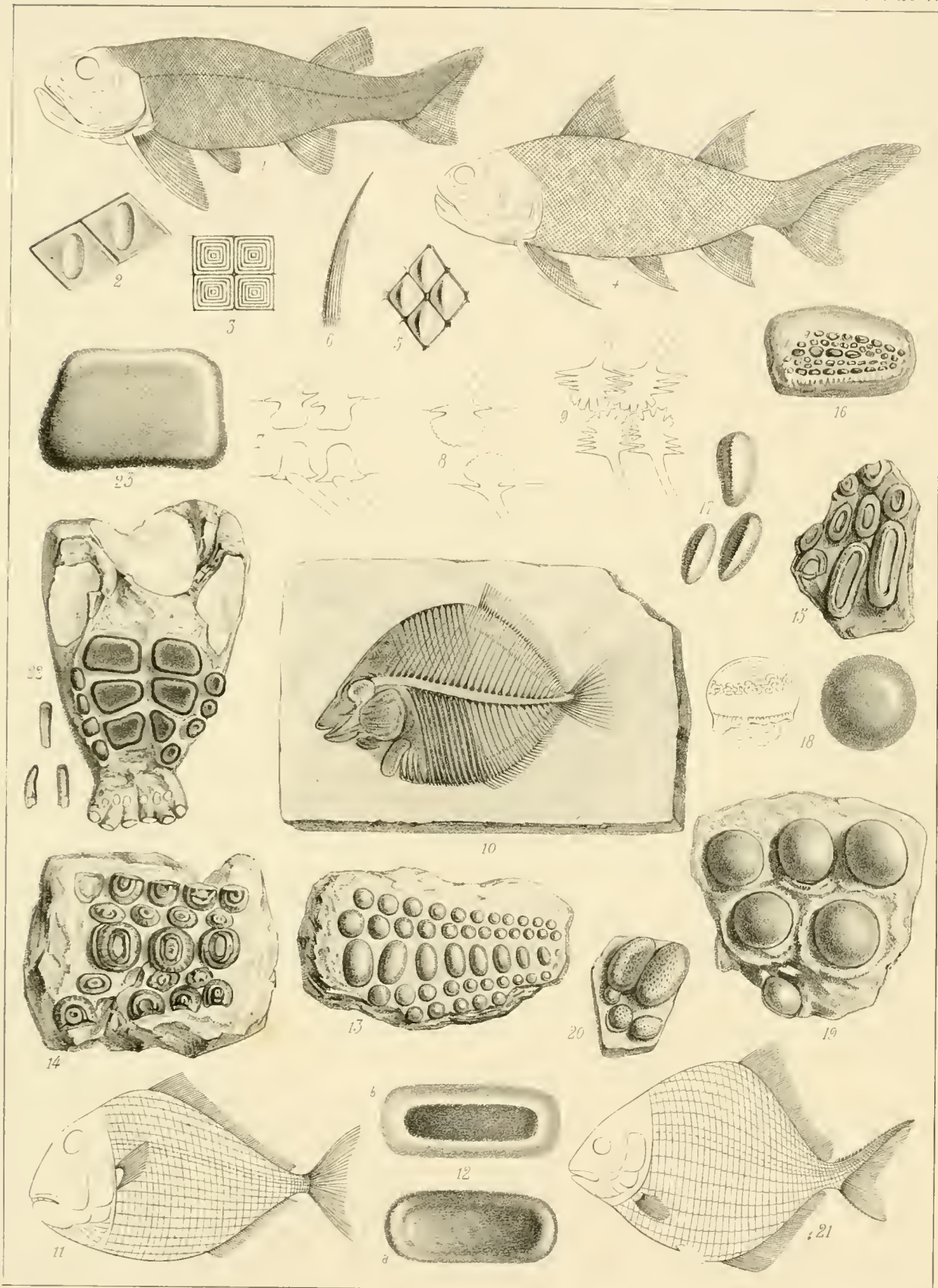


Rocreaux del.

Im. Lemerzier Par.

Lépidostéides hétérocerques.

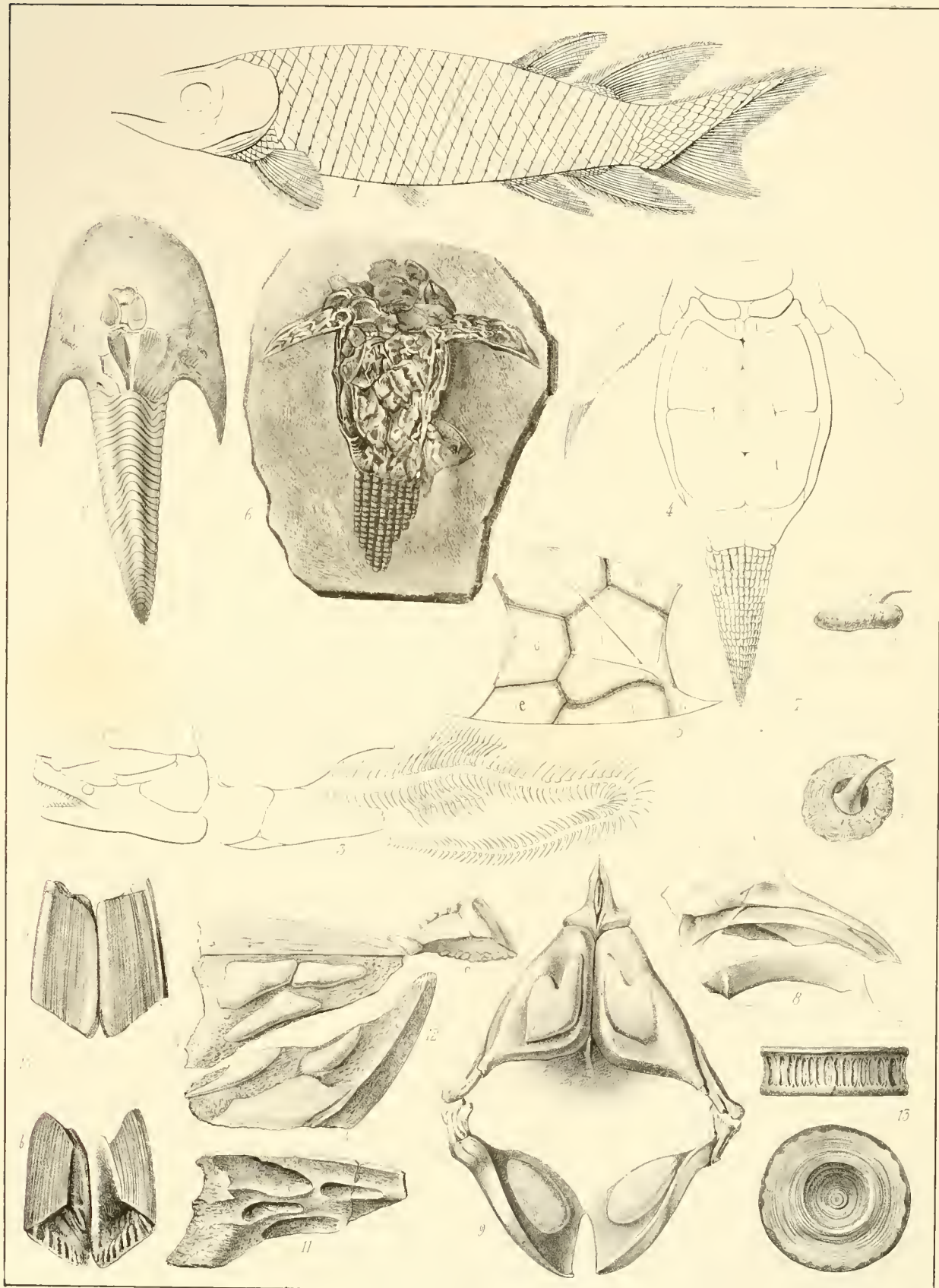
Publ. par J. B. Baillière Libraire à Paris



Figures 1-10

Imp. Lemercier à Paris

Acanthodiens et Pycnodontes.



Diptériens, Céphalaspides, Chimérides

- Fig. 3. — Écailles de l'*Acanthodes Bronni*, Agass., de la houille de Saarbruck.
- Fig. 4. — *Diplacanthus* restauré, tome II, p. 190.
- Fig. 5. — Écailles du *Diplacanthus striatus*, Agass., du vieux grès rouge d'Angleterre.
- Fig. 6. — Rayon qui soutient la nageoire dorsale dans la même espèce.
- Fig. 7. — Manière dont les arcs neuraux et hémaux s'épatent à leur base pour protéger la corde dorsale, en formant ce que M. Heckel appelle des demi-vertèbres, tome II, p. 6 et 195.
- Fig. 8. — Les mêmes demi-vertèbres dans une espèce où elles ont le bord dentelé.
- Fig. 9. — Forme des mêmes demi-vertèbres dans les Pycnodontes tertiaires. Ces organes s'engrènent ensemble par une sorte de dentelure.
- Fig. 10. — *Pycnodus rhombus*, Agass., tome II, p. 199, de Torre d'Orlando, près Naples. De grandeur naturelle, dessiné d'après un échantillon du musée de Genève.
- Fig. 11. — *Pycnodus* restauré, tome II, p. 197.
- Fig. 12. — Dent molaire d'un poisson du même genre. *a*, vue en dessus; *b*, vue en dessous. De grandeur naturelle.
- Fig. 13. — Dents du *Pycnodus rugulosus*, Agass., tome II, p. 198, de l'oolithe sableuse du Northamptonshire. De grandeur naturelle.
- Fig. 14. — Dents du *Gyrodon umbilicus*, Agass., tome II, p. 201, de l'oolithe de Durheim (grand-duché de Bade). De grandeur naturelle.
- Fig. 15. — Dents du *Periodus Konigii*, Agass., tome II, p. 204, de l'argile de Sheppy. De grandeur naturelle.
- Fig. 16. — Dents du *Gyronechus oblongus*, Agass., tome II, p. 204, du calcaire de Stonesfield. De grandeur naturelle.
- Fig. 17. — Trois dents de l'*Acrotomus fuba*, Agass., tome II, p. 204, de la craie de Kent. De grandeur naturelle.
- Fig. 18. — Dent du *Sphaerodus gigas*, Agass., tome II, p. 205, des terrains kimméridgiens. De grandeur naturelle.
- Fig. 19. — Portion de mâchoire du même genre, figuré, mais non décrit par M. Gervais. De grandeur naturelle.
- Fig. 20. — Dent du *Phacodus punctatus*, Dixon, tome II, p. 208, de la craie de Lewes. De grandeur naturelle.
- Fig. 21. — *Platysomus* restauré, tome II, p. 208.
- Fig. 22. — Dentition de la mâchoire supérieure du *Placodus Andryani*, Münster, tome II, p. 210, du terrain triasique. Un tiers de la grandeur naturelle.
- Fig. 23. — Une des dents de la même espèce, de grandeur naturelle.

PLANCHE XXXVII.

POISSONS GANOIDES ET PLACOIDES. — DIPTÉRIENS, CÉPHALASPIDES ET CUIMÉRIDES.

- Fig. 1. — Restauration du genre *Dipterus*, tome II, p. 192.
- Fig. 2. — *Cephalaspis Lyelli*, Agass., tome II, p. 219, du vieux grès rouge du pays de Galles. Moitié de la grandeur naturelle.
- Fig. 3. — Restauration du genre *Coccosteus*, Agass., tome II, p. 220.
- Fig. 4. — Restauration du genre *Pterichthys*, Agass., tome II, p. 221 (face ventrale). — *i*, première paire de plaques du bouclier ventral; *e*, seconde paire; *f*, troisième paire; *h*, quatrième paire; *g*, pièce impaire, désignée par M. Agassiz sous le nom de plaque centrale.
- Fig. 5. — Restauration du profil de la région thoracique du même genre. *a*, plaque dorsale antérieure; *b*, plaque dorsale postérieure; *c*, plaque latérale antérieure; *d*, plaque latérale postérieure; *i*, *e*, *f* et *h*, les quatre paires de plaques ventrales, comme dans la figure précédente.

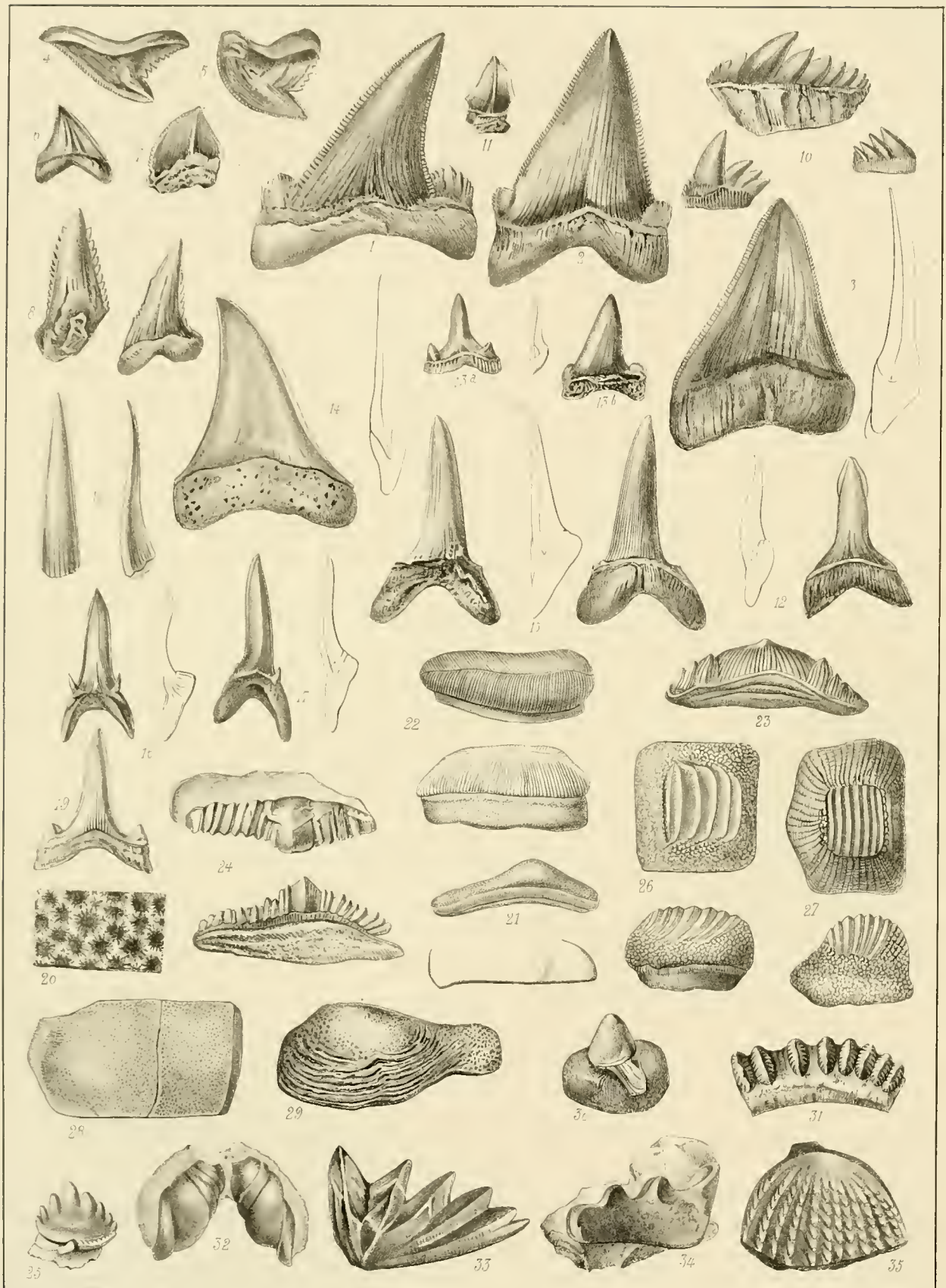
- Fig. 6. — *Pterichthys productus*, Agass., du vieux grès rouge d'Angleterre. Moitié de la grandeur naturelle.
- Fig. 7. — Boucle de *Raie* vivante, prise comme type des téguments de la sous-classe des Placoides : *a*, vue en dessus, *b*, vue de profil.
- Fig. 8. — Mâchoire d'une *Chimère* vivante, prise comme type de l'organisation de la famille des Chimérides, tome II, p. 230.
- Fig. 9. — La même bouche, vue de face et largement ouverte.
- Fig. 10. — Maxillaire antérieur de l'*Ischyodon Egertoni*, Buckland, tome II, p. 231, du terrain kimméridgien de Shotover : *a*, vue en dehors ; *b*, vue en dedans.
- Fig. 11. — Surface de trituration de la plaque principale de la mâchoire supérieure dans le même genre.
- Fig. 12. — Appareil maxillaire du genre *Edaphodon*, Egerton, tome II, p. 232 (*E. gigas*). *a*, maxillaire supérieur principal ; *b*, maxillaire inférieur ; *c*, maxillaire supérieur antérieur, qui a été décrit comme type du genre *Passalodon*, Buckland.
- Fig. 13. — Vertèbre appartenant au genre des *Lamna*, tome II, p. 249.

PLANCHE XXXVIII.

POISSONS PLACOIDES. — SQUALIDES ET CESTRACIONTES.

(Toutes les figures de cette planche ont été dessinées de grandeur naturelle).

- Fig. 1. — Dent du *Carcharodon heterodon*, Agass., du terrain tertiaire de Normandie, tome II, p. 237.
- Fig. 2. — Dent du *Carcharodon auriculatus*, Agass., du terrain miocène de Dax.
- Fig. 3. — Dent du *Carcharodon sulcidens*, Agass., de Soissons.
- Fig. 4. — Dent du *Galeocерdo latidens*, Agass., tome II, p. 241, du terrain tertiaire du bassin de Vienne.
- Fig. 5. — Dent du *Galeocерdo aduncus*, Agass., du terrain tertiaire miocène.
- Fig. 6. — Dent du *Corax falcatus*, Agass., tome II, p. 240, de la craie blanche.
- Fig. 7. — Dent du *Corax Kaupii*, Agass., des mêmes gisements.
- Fig. 8. — Dent de l'*Hemipristis serro*, Agass., tome II, p. 242, des terrains miocènes.
- Fig. 9. — Dent de l'*Hemipristis paucidens*, Agass., de la mollasse du Wurtemberg.
- Fig. 10. — Dents du *Notidanus primigenius*, Agass., tome II, p. 243, de la mollasse suisse.
- Fig. 11. — Dent du *Sphyrna lata*, Agass., tome II, p. 244, de la mollasse.
- Fig. 12. — Dent de la *Glyphis hastalis*, Agass., tome II, p. 236, de l'argile de Londres.
- Fig. 13. — *a* et *b*. Dents de l'*Otodus appendiculatus*, Agass., tome II, p. 245, de la craie blanche.
- Fig. 14. — Dent de l'*Oxyrhina xiphodon*, Agass., tome II, p. 247, des gypses de Paris.
- Fig. 15. — Dent de la *Lamna elegans*, Agass., tome II, p. 249, des terrains tertiaires éocènes d'Angleterre.
- Fig. 16 et 17. — Dents de l'*Odontaspis Hopei*, Agass., tome II, p. 251, de l'argile de Sheppy.
- Fig. 18. — Dent du *Sphenodus longidens*, Agass., tome II, p. 252, des marnes oxfordiennes d'Allemagne.
- Fig. 19. — Dent du *Scylliodus antiquus*, Agass., tome II, p. 254, de la craie d'Angleterre.
- Fig. 20. — Portion de la peau de la même espèce.
- Fig. 21. — Dent du *Strophodus tenuis*, Agass., tome II, p. 260, de l'oolithe de Stonesfield.
- Fig. 22. — Dent de l'*Aerodus nobilis*, Agass., tome II, p. 261, du lias de Lyme-Regis.
- Fig. 23. — Dent de l'*Aerodus minimus*, Agass., des terrains triasiques supérieurs d'Angleterre.
- Fig. 24. — Dent de l'*Orodus cinctus*, Agass., tome II, p. 263, des terrains carbonifères des environs de Bristol.
- Fig. 25. — Dent du *Ctenoptychius apicalis*, Agass., tome II, p. 264, des schistes houillers de Stafford.
- Fig. 26. — Dent du *Ptychodus latissimus*, Agass., tome II, p. 264, de la craie blanche.
- Fig. 27. — Dent du *Ptychodus mamillaris*, Agass., du même gisement.

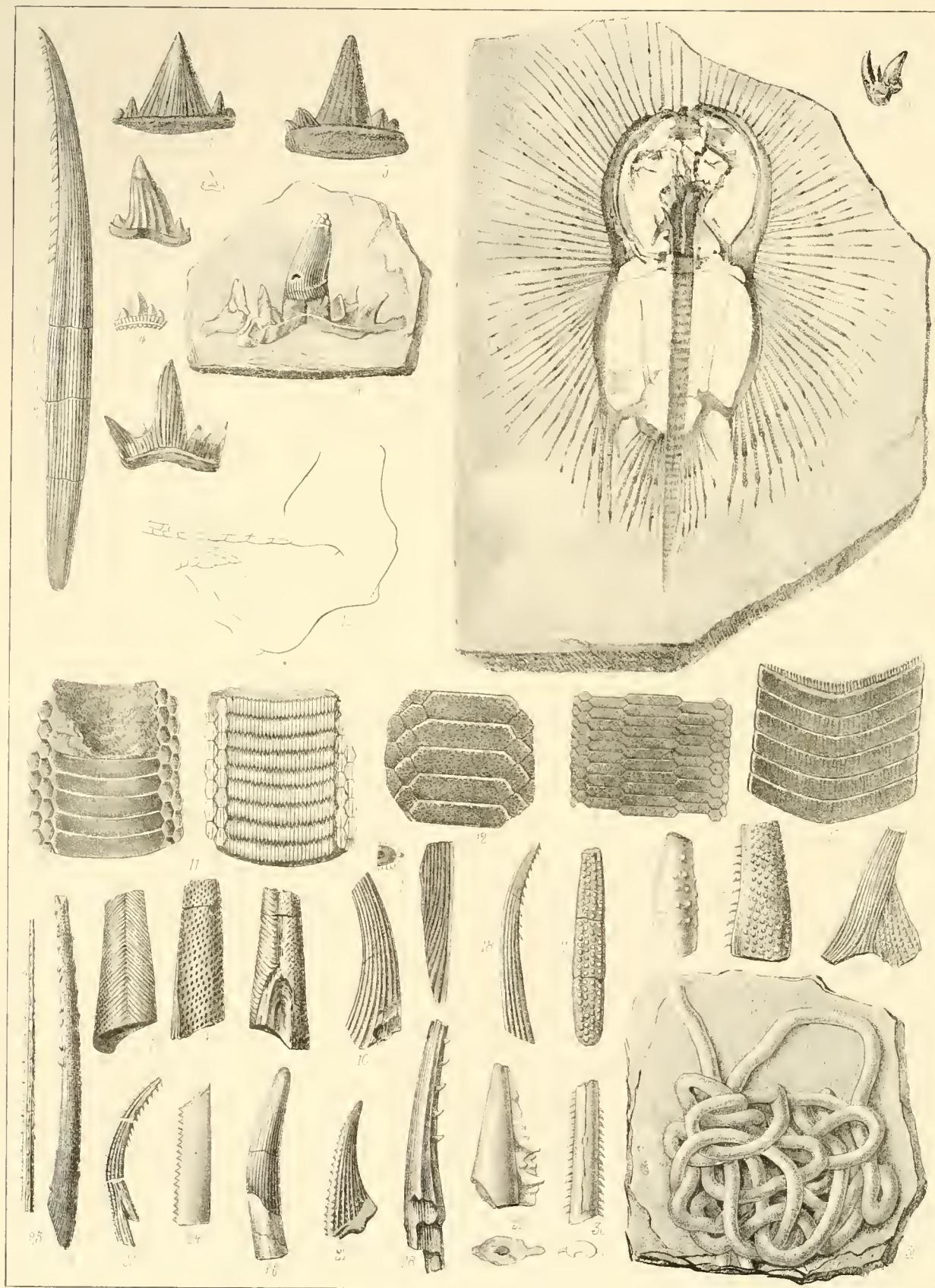


Lacourbaud del.

Imp. Lemercier Paris

Squalides et Cestraciontes.

Publié par J. B. Baillière Libraire à Paris



1-30 Hybodontes, Rajidiens et Ichthyodorulites. 31 Cololithe.

- Fig. 28. — Dent du *Psammodus porosus*, Agass., tome II, p. 266, du calcaire carbonifère de Bristol.
 Fig. 29. — Dent du *Chomatodus cinctus*, Agass., tome II, p. 266, du même gisement.
 Fig. 30. — Dent de l'*Helodus simplex*, Agass., tome II, p. 266, des schistes houillers d'Angleterre.
 Fig. 31. — Dent du *Campodus Agassizianus*, de Koninek, tome II, p. 267, des terrains houillers de Belgique.
 Fig. 32. — Dent du *Cochliodus contortus*, Agass., tome II, p. 267, des calcaires carbonifères d'Angleterre et d'Irlande.
 Fig. 33. — Dent du *Ceratodus serratus*, Agass., tome II, p. 267, du grès supérieur d'Argovie.
 Fig. 34. — Dent du *Ceratodus altus*, Agass., du terrain triasique supérieur d'Angleterre.
 Fig. 35. — Dent du *Ctenodus cristatus*, Agass., tome II, p. 269, des terrains houillers d'Angleterre.

PLANCHE XXXIX.

POISSONS PLACOIDES. — HYBODONTES, RAJIDIENS ET ICHTHYODORULITES.

- Fig. 1-2. — Dents de l'*Hybodus apicalis*, Agass., tome II, p. 255, grossies; du terrain triasique de Hildesheim.
 Fig. 3. — Dent de l'*Hybodus minor*, Agass., grossie; du lias de Lyme-Regis.
 Fig. 4. — Dent de l'*Hybodus polyprion*, Agass., de l'oolithe de Stonesfield. De grandeur naturelle.
 Fig. 5. — Epine dorsale de l'*Hybodus subcarinatus*, Agass., du terrain wealdien de la forêt de Tilgate. De grandeur naturelle.
 Fig. 6. — Dent du *Cladodus Milleri*, Agass., tome II, p. 258, du terrain carbonifère de Bristol. De grandeur naturelle.
 Fig. 7. — Dent du *Cladodus mirabilis*, Agass., du calcaire carbonifère d'Armagh.
 Fig. 8. — Dent du *Diplodus gibbosus* Agass., tome II, p. 259, de la houille de Carlisle.
 Fig. 9. — Squelette complet de *Cyclobatis otygodactylus*, Egerton, tome II, p. 278, des terrains crétacés du mont Liban. De grandeur naturelle.
 Fig. 10. — Profil de la tête d'une *Myliobate* vivante, tome II, p. 279, pour montrer la disposition des plaques dentaires.
 Fig. 11. — Plaque dentaire du *Myliobates toliapicus*, Agass., tome II, p. 280, de l'argile de Londres. *a*, vue par sa surface triturante; *b*, vue par la racine. Moitié de la grandeur naturelle.
 Fig. 12. — Plaque dentaire du *Myliobates suturalis*, Agass., des terrains tertiaires des environs de Maëstricht. De grandeur naturelle.
 Fig. 13. — Plaque dentaire de l'*Ætobatis irregularis*, Agass., tome II, p. 284, de l'argile de Londres. Moitié de la grandeur naturelle.
 Fig. 14. — Restauration d'une plaque dentaire du genre *Zygobates*, Agass., tome II, p. 282.
 Fig. 15. — Ichthyodorulite du *Gyracanthus tuberculatus*, Agass., tome II, p. 284, du terrain carbonifère d'Angleterre. *a*, vue par sa face antérieure; *b*, vue de profil; *c*, vue par la face postérieure. Environ un tiers de la grandeur naturelle.
 Fig. 16. — Ichthyodorulite de l'*Onchus sulcatus*, Agass., tome II, p. 283, du calcaire carbonifère de Bristol.
 Fig. 17. — Ichthyodorulite de l'*Onchus heterogyrus*, Agass., du terrain dévonien des environs de Saint-Petersbourg. De grandeur naturelle.
 Fig. 18. — Ichthyodorulite de l'*Haplacanthus marginalis*, Agass., tome II, p. 286, du même gisement. De grandeur naturelle.
 Fig. 19. — Ichthyodorulite du *Narcodes pustulifer*, Agass., tome II, p. 286, du même gisement. De grandeur naturelle.
 Fig. 20. — Ichthyodorulite du *Byssacanthus crenulatus*, Agass., tome II, p. 287, du même gisement. De grandeur naturelle.
 Fig. 21. — Ichthyodorulite du *Cosmacanthus Malcolmsonii*, Agass., tome II, p. 287, du terrain dévonien des environs d'Elgin. De grandeur naturelle.

- Fig. 22. — Ichthyodorulite de l'*Homacanthus arcuatus*, Agass., tome II, p. 288, du terrain dévonien des environs de Saint-Petersbourg. De grandeur naturelle.
- Fig. 23. — Ichthyodorulite de l'*Asteracanthus ornatissimus*, Agass., tome II, p. 288, du terrain kiméridgien. Environ moitié de la grandeur naturelle.
- Fig. 24. — Ichthyodorulite du *Pristacanthus securis*, Agass., tome II, p. 289, de la grande oolithe. Moitié de la grandeur naturelle.
- Fig. 25. — Ichthyodorulite du *Myriacanthus paradoxus*, tome II, p. 289, du lias de Lyme-Regis. Réduit à peu près au tiers de sa grandeur naturelle. *a*, face postérieure ; *b*, face latérale.
- Fig. 26. — Ichthyodorulite du *Ptychacanthus dubius*, Agass., tome II, p. 291, du vieux grès rouge d'Obergavenny. De grandeur naturelle.
- Fig. 27. — Ichthyodorulite du *Climacanthus reticulatus*, Agass., tome II, p. 293, du vieux grès rouge d'Angleterre. De grandeur naturelle.
- Fig. 28. — Ichthyodorulite du *Parexus recurvus*, Agass., tome II, p. 293, des mêmes gisements. De grandeur naturelle.
- Fig. 29. — Ichthyodorulite de l'*Odontacanthus heterodon*, Agass., tome II, p. 293, du vieux grès rouge de Riga. De grandeur naturelle.
- Fig. 30. — Ichthyodorulite du *Pleuracanthus lavissinus*, Agass., tome II, p. 294, des terrains carbonifères de Dudley. Moitié de la grandeur naturelle.
- Fig. 31. — Cololite ou intestin de poisson pétrifié. Cette espèce est celle qui a été désignée par le comte de Münster sous le nom de *Lumbricaria intestinum*, tome II, p. 295.

PLANCHE XL.

ARTICULÉS. — INSECTES.

(Toutes les figures de cette planche sont de grandeur naturelle, à l'exception de quelques-uns des insectes de l'ambre, figures 23 à 28).

- Fig. 1. — Aile trouvée dans le terrain carbonifère de Coalbrook-Dale et rapportée par M. Audouin à une *Corydale*, tome II, p. 377.
- Fig. 2. — Aile de la *Blattina didyma*, Germar, tome II, p. 362, des terrains carbonifères de Wettin.
- Fig. 3-6. — Insectes du lias d'Argovie décrits par M. Heer. — Fig. 3, *Euchroma liasina*, Heer, tome II, p. 331. — Fig. 4, *Hydrophilus Acherontis*, Heer, tome II, p. 344. — Fig. 5, *Gomphocerites Bucklandi*, Heer, tome II, p. 365. — Fig. 6, *Blattina formoso*, Heer, tome II, p. 362.
- Fig. 7. — Libelluline du lias de Cheltenham, décrite par M. Brodie sous le nom de *Heterophlebia dislocata*, Brodie, tome II, p. 374.
- Fig. 8-10. — Insectes des schistes lithographiques de Bavière (terrain corallien). — Fig. 8, *Cerambycinus dubius*, Münster, tome II, p. 355. — Fig. 9, *Asilicus lithophilus*, Germar, tome II, p. 400. — Fig. 10, *Phaneroptera Germari*, Münster, tome II, p. 366.
- Fig. 11. — Lépidoptère fossile trouvé dans les marnes insectifères d'Aix en Provence et décrit par M. Boisduval, sous le nom de *Cyllo sepulta*, tome II, p. 393.
- Fig. 12-20. — Insectes d'Oëningen décrits par M. Heer. — Fig. 12, *Hydrophilus spectabilis*, Heer, tome II, p. 344. — Fig. 13, *Protactes Erichsoni*, Heer, tome II, p. 327. — Fig. 14, *Capnodis antiqua*, Heer, tome II, p. 331. — Fig. 15, *Clerus Adonis*, tome II, p. 335. — Fig. 16, *Gomphocerus femoralis*, Heer, tome II, p. 364. — Fig. 17, *Inhoffia nigra*, Heer, tome II, p. 383. — Fig. 18, *Formica primordialis*, Heer, tome II, p. 383. — Fig. 19, larve de *Libellula Calypso*, Heer, tome II, p. 374. — Fig. 20, *Cephites fragilis*, Heer, tome II, p. 381.
- Fig. 21 et 22. — Insectes de Radoboj en Croatie, décrits par M. Heer. — Fig. 21, *Vanessa Pluto*, Heer, tome II, p. 393. — Fig. 22, *Attopsis longipennis*, Heer, tome II, p. 383.
- Fig. 23-28. — Insectes névroptères de l'ambre décrits par MM. Pictet et Berendt. — Fig. 23, *Termes Picteti*, Berendt, de grandeur naturelle avec son aile grossie, tome II, p. 369. — Fig. 24, *Chauliodes prisca*, P. et B., de grandeur naturelle avec son antenne grossie, tome II,